



**UNIVERSIDAD AUTÓNOMA METROPOLITANA**  
Unidad Iztapalapa

**UNIDAD IZTAPALAPA  
DIVISIÓN DE CIENCIAS BIOLÓGICAS Y DE LA SALUD  
POSGRADO EN BIOLOGÍA**

**TESIS**

**“ESCENARIO EVOLUTIVO DE LA MORFOLOGÍA DEL POLINARIO EN EL  
GÉNERO *RHYNCHOSTELE* (ORCHIDACEAE) A PARTIR DE CARACTERES  
MORFOLÓGICOS Y MOLECULARES”**

**PARA OBTENER EL GRADO DE  
MAESTRA EN BIOLOGÍA**

**PRESENTA:**  
**BIOL. ASTRID ITZEL MENA PERDOMO**  
Matrícula: 2173801433  
[astriditzelmenaperdomo@gmail.com](mailto:astriditzelmenaperdomo@gmail.com)

**DIRECTOR: DR. CARLOS JAVIER GARCÍA CRUZ  
JURADO**

**PRESIDENTE: DRA. CLAUDIA BARBOSA MARTÍNEZ  
SECRETARIA: M. EN B. ANA TERESA JARAMILLO PÉREZ  
VOCAL: DRA. ESTELA SANDOVAL ZAPOTITLA  
VOCAL: DR. EDUARDO ALBERTO PÉREZ GARCÍA**

IZTAPALAPA, CIUDAD DE MÉXICO A 13 DE SEPTIEMBRE, 2024

La Maestría en Biología de la  
Universidad Autónoma Metropolitana  
Pertenece al Padrón de  
Posgrados de Calidad del CONACyT.

El jurado designado por la  
**División de Ciencias Biológicas y de la Salud**  
de la Unidad Iztapalapa aprobó la tesis que presentó  
Astrid Itzel Mena Perdomo

El día 13 de Septiembre del año 2024

*Comité Tutora/ y Jurado*

Tutor: Dr. Javier García Cruz



Asesora: Dra. Claudia Barbosa Martínez

o

(!),,.rbo8'

Asesora: Mtra. Ana Teresa Jaramillo Pérez



Sinodal: Dra. Estela Sandoval Zapotitla



Sinodal: Dr. Eduardo Alberto Pérez García



El jurado designado por la  
**División de Ciencias Biológicas y de la Salud**  
de la Unidad Iztapalapa aprobó la tesis que presentó  
Astrid Itzel Mena Perdomo

El día 13 de Septiembre del año 2024

*Comité Tutorial y Jurado*

Tutor: Dr. Javier García Cruz

Asesora: Dra. Claudia Barbosa Martínez

Asesora: Mtra. Ana Teresa Jaramillo Pérez

Sinodal: Dra. Estela Sandoval Zapotitla

Sinodal: Dr. Eduardo Alberto Pérez García

*A mi hija, Elena Astrid. Los sueños sí se cumplen.*

"Blackbird singing in the dead of night, take these broken wings and learn to fly. All your life, you were only waiting for this moment to arise."

(The Beatles).

## AGRADECIMIENTOS

A la Universidad Autónoma Metropolitana Unidad Iztapalapa, por ser mi segundo hogar.

A mis padres por su amor incondicional, gracias papá por tu apoyo, tu cariño, tus consejos y sobre todo porque tu presencia ha sido fundamental para cumplir mis objetivos, siempre serás mi héroe. Gracias por tu paciencia y comprensión en este proceso, este logro también es tuyo. Te quiero.

A mi Director de Tesis, el Dr. Javier García Cruz, quien con su valiosa orientación y guía me ha acompañado en este crecimiento académico y personal. Su dedicación y apoyo incondicional, sobre todo su infinita paciencia, han sido mi principal fuente de apoyo para el logro de este sueño. Gracias por ser un ejemplo a seguir y sobre todo por creer en mí. Mi gratitud hacia usted es eterna.

A mis Asesoras y Sinodales: la Dra. Claudia Barbosa Martínez, la Dra. Estela Sandoval Zapotitla, la Maestra Ana Teresa Jaramillo Pérez y el Dr. Eduardo Alberto Pérez García, por su apoyo y disposición a responder todas mis dudas, por sus valiosos comentarios y correcciones que fortalecieron la elaboración de esta tesis.

Un abrazo al cielo a la Dra. Alejandra Serrato Díaz, por sus valiosas aportaciones en la realización de esta tesis, (Q.E.P.D).

Al Biol. Felipe Reyes Rivera, por tu apoyo incondicional sin el cual no hubiera podido ingresar a la Maestría, te admiro y aprecio.

Agradezco al Consejo Nacional de Humanidades, Ciencias y Tecnologías (CONAHCYT) por el apoyo económico otorgado durante la realización de mi Maestría.

A los curadores del Herbario Metropolitano Ramón Riba y Nava Esparza de la UAM-I (UAMIZ), del Instituto Chinoín, A.C (AMO) y del Herbario Nacional del Instituto de Biología, UNAM (MEXU), por las facilidades otorgadas en la revisión de ejemplares, así como a los cultivadores que me permitieron obtener muestras de ejemplares frescos.

Gracias a Dios, por iluminar mi camino y brindarme la fortaleza y sabiduría necesarias para alcanzar esta meta.

## RESUMEN

Las orquídeas son ampliamente reconocidas por la gran complejidad de su morfología floral y la alta especialización en su polinización. El género *Rhynchostele* se incluye en la subtribu Oncidiinae, comprende 18 especies y presenta una distribución neotropical. En México está bien representado con 15 especies. El polinario, tradicionalmente, ha sido considerado como un carácter importante en la clasificación de la familia Orchidaceae, ya que la variación en su morfología es un buen indicador de las relaciones filogenéticas. Sin embargo, mientras que en varios grupos no hay diferencias claras entre los caracteres morfológicos del polinario, en la subtribu Oncidiinae sí se ha reportado variación. Por tanto, el objetivo del presente estudio es proponer un escenario evolutivo de la morfología del polinario con base en una filogenia obtenida a partir de datos morfológicos y moleculares en el género *Rhynchostele*. En los análisis cladísticos se incluyó una especie de *Tolumnia* y dos de *Erycina* como grupos externos y 17 especies de *Rhynchostele*. La matriz de datos morfológicos se obtuvo a partir de ejemplares de herbario y de plantas vivas. Para la matriz de datos moleculares, las secuencias de las regiones 18S, psbA y Ycf1 se obtuvieron del GenBank y se alinearon con el programa Clustal-W. Se obtuvo una matriz de evidencia total combinando ambos juegos de datos. Las tres matrices fueron analizadas con el programa TNT, utilizando el criterio de parsimonia. En la filogenia, se pueden reconocer cinco grupos: el clado A conformado por *R. aptera* y *R. candidula*; el clado B conformado por *R. cordata*, *R. hortensiae*, *R. maculata* y *R. madrensis*; el clado C conformado por *R. cervantesii*, *R. galeottiana*, *R. ehrenbergii* y *R. rossii*; el clado D conformado por *R. beloglossa* y *R. bictoniensis* y finalmente el clado E conformado por *R. majalis*, *R. pygmaea* y *R. stellata*. Los polinarios de 15 especies se obtuvieron de ejemplares de herbario, así como de material vivo;

fueron preparados y observados en un microscopio electrónico de barrido. Se obtuvieron diez caracteres que fueron mapeados en las filogenias obtenidas utilizando el programa Mesquite, sólo cuatro caracteres mostraron un patrón evolutivo. En términos generales, el escenario evolutivo del polinario en *Rhynchosstelae* indica que este presenta dos tendencias: a aumentar su tamaño y a reducirse, así como a cambiar de forma y a desarrollar una ornamentación en las tétradas. Asimismo, se realizó un análisis de correlación, en donde el sépalo dorsal presentó un valor significativo con los siguientes caracteres: forma y ancho de las tétradas, tamaño del polinario y forma del polinio, por lo que se infiere que en los síndromes de polinización los caracteres florales juegan un papel importante en la atracción de los polinizadores. Nuestros resultados sugieren que este trabajo podría ser pionero en mencionar la importancia del sépalo dorsal y su correlación con otras estructuras en orquídeas. De ahí la necesidad de abrir paso a futuras investigaciones de correlación entre la morfología floral y la morfología del polinario.

## ABSTRACT

Orchids are widely recognized for the great complexity of their floral morphology and the high specialization in their pollination. The genus *Rhynchostele* is included in the subtribe Oncidiinae, includes 18 species, and has a neotropical distribution. In Mexico it is well represented with 15 species. The pollinary, traditionally, has been considered an important character in the classification of the Orchidaceae family, since the variation in its morphology is a good indicator of phylogenetic relationships. However, while in several groups there are no clear differences between the morphological characters of the pollinaria, in others, such as the subtribe Oncidiinae, variation has been reported. Therefore, the objective of the present study is to propose an evolutionary scenario of pollinarian morphology based on a phylogeny obtained from morphological and molecular data in the genus *Rhynchostele*. In the cladistic analyzes one species of *Tolumnia* and two of *Erycina* were included as outgroups and 17 species of *Rhynchostele*. The morphological data matrix was obtained from herbarium specimens and live plants. For the molecular data array, the sequences of the 18S, psbA, and Ycf1 regions were obtained from GenBank and aligned with the Clustal-W program. A total evidence matrix was obtained by combining both sets of data. The three matrices were analyzed with the TNT program, using the parsimony criterion. In the phylogeny, five groups can be recognized: clade A made up of *R. aptera* and *R. candidula*; clade B made up of *R. cordata*, *R. hortensiae*, *R. maculata* and *R. madrensis*; clade C made up of *R. cervantesii*, *R. galeottiana*, *R. ehrenbergii* and *R. rossii*; clade D made up of *R. beloglissa* and *R. bictoniensis* and finally clade E made up of *R. majalis*, *R. pygmaea* and *R. stellata*. The pollinaria of 15 species were obtained from herbarium specimens, as well as from living

material; were prepared and observed in a scanning electron microscope. Ten characters were obtained that were mapped in the phylogenies obtained using the Mesquite program, of which only four showed an evolutionary pattern. In general terms, the evolutionary scenario of the pollinaria in *Rhynchosstelae* indicates that the pollinaria presents two tendencies: to increase in size and to reduce, as well as to change shape and develop ornamentation in the tetrads. Likewise, a correlation analysis was carried out, where the dorsal sepal presented a significant value with the following characters: shape and width of the tetrads, size of the pollinaria and shape of the pollinium, so it is inferred that in pollination syndromes the floral characters play an important role in attracting pollinators. Our results suggest that this work could be a pioneer in mentioning the importance of the dorsal sepal and its correlation with other structures in orchids. Hence the need to open the way to future correlation research between floral morphology and pollinaria morphology.

## ÍNDICE

RESUMEN.....	III
ABSTRACT .....	V
ÍNDICE .....	VII
ÍNDICE DE FIGURAS.....	X
ÍNDICE DE TABLAS.....	XII
CAPITULO 1. INTRODUCCIÓN .....	1
ANTECEDENTES.....	5
Taxonomía de <i>Rhynchostele</i> .....	5
Morfología del polinario .....	7
Estudios sistemáticos en <i>Rhynchostele</i> .....	10
CAPITULO 2. JUSTIFICACIÓN.....	12
PREGUNTA DE INVESTIGACIÓN .....	12
HIPÓTESIS .....	13
OBJETIVO GENERAL.....	13
OBJETIVOS PARTICULARES .....	13
CAPITULO 3. MÉTODOS.....	13
Obtención de los datos morfológicos.....	14
Obtención de los datos moleculares .....	18
Obtención de los polinarios.....	19
Obtención de los caracteres del polinario .....	21
Análisis cladístico.....	24
Análisis de evolución de caracteres .....	24
CAPITULO 4. RESULTADOS.....	26
Análisis filogenético con caracteres morfológicos.....	26
Análisis filogenético con caracteres moleculares .....	30
Análisis filogenético de evidencia total .....	32
Relaciones filogenéticas de las especies.....	34

<b>Caracteres morfológicos compartidos entre las especies .....</b>	35
<b>Morfología del polinario .....</b>	37
<i>Longitud del polinario .....</i>	37
<i>Forma del polinio.....</i>	38
<i>Vista dorsiventral del polinio .....</i>	39
<i>Forma del sulco de los polinios.....</i>	39
<i>Forma de la tétrada.....</i>	40
<i>Ornamentación en la superficie de las tétradas .....</i>	40
<b>Descripción de la Morfología del polinario de las especies de Rhynchostele .....</b>	42
<b>Evolución de caracteres .....</b>	58
<b>Tamaño del polinario .....</b>	58
Análisis morfológico .....	58
Análisis molecular y de evidencia total. ....	59
<b>Tamaño del polinio.....</b>	61
Análisis morfológico .....	61
Análisis molecular y de evidencia total. ....	61
<b>Forma del polinio .....</b>	63
Análisis morfológico .....	63
Análisis molecular y de evidencia total. ....	63
<b>Ornamentación en la superficie de las tétradas .....</b>	65
Análisis morfológico .....	65
Análisis molecular y de evidencia total. ....	65
<b>Correlación entre caracteres florales y caracteres del polinario.....</b>	67
<i>Sépalo dorsal y la relación forma de las tétradas.....</i>	67
<i>Sépalo dorsal y ancho de las tétradas .....</i>	68
<i>Sépalo dorsal y tamaño del polinario.....</i>	69
<i>Sépalo dorsal y forma del polinio.....</i>	70
<b>CAPITULO 5. DISCUSIÓN Y CONCLUSIONES .....</b>	71
<b>Relaciones filogenéticas en Rhynchostele .....</b>	71
<b>Morfología del polinario .....</b>	72

<b>Evolución de caracteres del polinario.....</b>	<b>74</b>
<b>Correlación entre el sépalo dorsal y caracteres del polinario.....</b>	<b>76</b>
<b>CAPITULO 6. REFERENCIAS .....</b>	<b>80</b>
<b>CAPITULO 7. APÉNDICE 1 .....</b>	<b>84</b>
<b>Caracteres morfológicos cuantitativos .....</b>	<b>84</b>
<b>Caracteres morfológicos cualitativos .....</b>	<b>84</b>
<b>Caracteres moleculares .....</b>	<b>85</b>

## ÍNDICE DE FIGURAS

<b>Figura 1.</b> Especies del género <i>Rhynchostele</i> .....	7
<b>Figura 2.</b> <i>Rhynchostele maculata</i> .....	16
<b>Figura 3.</b> Polinarios del género <i>Rhynchostele</i> .....	20
<b>Figura 4.</b> Polinarios en porta muestra y cubiertos con oro.....	23
<b>Figura 5.</b> Árbol dos de dos obtenido del análisis cladístico con la matriz de caracteres morfológicos.....	29
<b>Figura 6.</b> Árbol dos de dos obtenido del análisis cladístico con la matriz de caracteres moleculares con los marcadores 18S, <i>psbA</i> y <i>ycf1</i> .....	31
<b>Figura 7.</b> Único árbol obtenido del análisis cladístico con la matriz de evidencia total .....	33
<b>Figura 8.</b> Vista completa del polinario. ....	38
<b>Figura 9.</b> Variación de la forma del polinio .....	38
<b>Figura 10.</b> Variación en la vista dorsiventral de los polinios.....	39
<b>Figura 11</b> Forma del sulco. ....	39
<b>Figura 12.</b> Forma de las tétradas. ....	40
<b>Figura 13.</b> Ornamentación de la superficie de las tétradas .....	41
<b>Figura 14.</b> <i>Rhynchostele aptera</i> .....	42
<b>Figura 15.</b> <i>Rhynchostele beloglossa</i> .....	43
<b>Figura 16.</b> <i>Rhynchostele biconiensis</i> .....	44
<b>Figura 17.</b> <i>Rhynchostele candidula</i> . ....	45
<b>Figura 18.</b> <i>Rhynchostele cervantesii</i> .....	46
<b>Figura 19.</b> <i>Rhynchostele cordata</i> .....	47
<b>Figura 20.</b> <i>Rhynchostele ehrenbergii</i> .....	48
<b>Figura 21.</b> <i>Rhynchostele galeottiana</i> .....	49
<b>Figura 22.</b> <i>Rhynchostele hortensiae</i> .....	50
<b>Figura 23.</b> <i>Rhynchostele londesboroughiana</i> .....	51
<b>Figura 24.</b> <i>Rhynchostele maculata</i> .....	52
<b>Figura 25.</b> <i>Rhynchostele madrensis</i> .....	53
<b>Figura 26.</b> <i>Rhynchostele majalis</i> .....	54
<b>Figura 27.</b> <i>Rhynchostele pygmaea</i> .....	55
<b>Figura 28.</b> <i>Rhynchostele rossii</i> .....	56
<b>Figura 29.</b> <i>Rhynchostele stellata</i> .....	57

<b>Figura 30.</b> <i>Rhynchosstele uroskinneri</i> .....	58
<b>Figura 31.</b> Optimización del tamaño del polinario en los árboles morfológico, molecular y de evidencia total .....	60
<b>Figura 32.</b> Optimización del tamaño del polinio en los árboles morfológico, molecular y de evidencia total .....	62
<b>Figura 33.</b> Optimización de la forma del polinio en los árboles morfológico, molecular y de evidencia total .....	64
<b>Figura 34.</b> Optimización de la ornamentación de las tétradas en los árboles morfológico, molecular y de evidencia total.....	66
<b>Figura 35.</b> Correlación entre la forma del sépalo dorsal y la forma de las tétradas .....	67
<b>Figura 36.</b> Correlación entre la forma del sépalo dorsal y el ancho de las tétradas.....	68
<b>Figura 37.</b> Correlación entre la forma del sépalo dorsal y el tamaño del polinario.....	69
<b>Figura 38.</b> Correlación entre la forma del sépalo dorsal y la forma del polinio. ....	70

## ÍNDICE DE TABLAS

<b>Tabla 1.</b> Número de ejemplares revisados por especie.....	15
<b>Tabla 2.</b> Carácteres cuantitativos que se tomaron en cuenta para realizar la matriz con datos morfológicos.....	17
<b>Tabla 3.</b> Carácteres morfológicos cualitativos y estados de carácter que se tomaron en cuenta para realizar la matriz.....	17
<b>Tabla 4.</b> Códigos de acceso del GenBank de cada secuencia utilizada para cada especie. ....	19
<b>Tabla 5.</b> Datos de los ejemplares de herbario de donde se obtuvo la muestra del polinario.....	20
<b>Tabla 6.</b> Carácteres cuantitativos y cualitativos que se tomaron en cuenta para realizar la matriz con datos morfológicos del polinario.....	22
<b>Tabla 7.</b> Descripción de cómo se tomaron las medidas en algunos caracteres del polinario.....	23
<b>Tabla 8.</b> Carácteres florales utilizados en el análisis de Pairwise Comparisons. ....	26
<b>Tabla 9.</b> Matriz de datos con caracteres morfológicos cuantitativos (previamente codificados) y cualitativos. ....	28

## CAPITULO 1. INTRODUCCIÓN

Las orquídeas son ampliamente reconocidas por la gran complejidad de su morfología floral y la alta especialización en su polinización (Téllez y Flores, 2007). La familia constituye uno de los grupos de plantas más diversos, con alrededor de 25 mil especies conocidas a nivel mundial, se distribuyen en todos los continentes, excepto en la Antártida, pero su mayor diversidad se concentra en las regiones tropicales del mundo (Salazar, 2009).

México, situado en el límite norte del trópico americano, alberga una notable riqueza de orquídeas con alrededor de 1,260 especies, que representan a 170 géneros (Salazar, 2009). Este número de taxones continúa aumentando por el descubrimiento de especies nuevas y conocidas de otros países, pero que no se habían reportado para nuestro país. Se estima que alrededor del 40% de las orquídeas mexicanas son endémicas. La familia Orchidaceae ocupa el tercer lugar en diversidad de especies a nivel nacional siendo superadas sólo por Asteraceae y Fabaceae (Salazar, 2009).

Las orquídeas presentan cuatro tipos de hábitos de crecimiento: epífitas, que viven sobre otras plantas; litófilas o rupícolas, que viven sobre las rocas; terrestres, que viven directamente sobre el suelo y, saprófitas, que no realizan fotosíntesis, por lo que se alimentan de materia orgánica en descomposición. La mayoría de las orquídeas se han adaptado a vivir como epífitas, por lo que su estructura responde a este hábitat. Las orquídeas presentan un sistema radical modificado por medio de una cubierta de células esponjosas llamado "velamen", que le permite absorber nutrientes del aire, del agua de lluvia y los dispuestos en los troncos de los árboles. Presentan además un avanzado sistema de almacenamiento de agua y nutrientes llamados "pseudobulbos", lo cual ha

contribuido a su éxito en la lucha por la supervivencia; estos órganos también son importantes para reproducir vegetativamente ciertos géneros. Las especies terrestres producen tubérculos, rizomas o cormos como órganos de reserva para almacenar agua y sustancias elaboradas que les permiten sobrevivir en períodos críticos (Rivera, 1993).

Las orquídeas epífitas juegan un papel importante en el ecosistema en el que se encuentran, su hábitat es muy particular, pues requieren de árboles hospederos en un ambiente forestal, por ello algunas especies se pueden utilizar como especies indicadoras de las condiciones de su hábitat. Algunas especies de orquídeas forman microhábitats en las que algunos insectos depositan sus huevecillos y cumplen su ciclo vital, muchos de los cuales se alimentan de sus hojas o pseudobulbos, además, aportan una gran cantidad de materia orgánica a los suelos de los bosques tropicales y retienen una considerable cantidad de agua de lluvia y partículas de suelo, que permite el establecimiento de otras familias como aráceas, bromeliáceas, piperáceas y crasuláceas, dando lugar al exuberante epifitismo. Entre los aspectos de la complejidad ecológica de las orquídeas epífitas se encuentran: el mecanismo de polinización, ya que muchas especies han coevolucionado con sus polinizadores, y la asociación simbiótica-micorrícica que es de suma importancia para la germinación de semillas y el buen desarrollo de las plantas (Almeida, 2008).

Una de las características que delimita a esta familia es que el polen se aglutina en pequeños paquetes compactados formando varias estructuras sólidas llamadas polinios. En las subfamilias Epidendroideae y Orchidoideae éstos forman estructuras bien definidas. El número de polinios y su disposición dentro de la flor puede utilizarse para la identificación de subfamilias, géneros y especies; las orquídeas epífitas, de

acuerdo con el género, pueden tener de 2 hasta 12 polinios (Almeida, 2008), conectados por estructuras adicionales a la antera, estas estructuras pueden ser caudículas y/o estípites, o en algunos casos, una sustancia simple y pegajosa que conecta el polinio al viscidio y los une a la antera, todas estas estructuras forman un solo complejo llamado polinario (Nieto y Damon, 2008).

El género *Rhynchostele*, es un grupo de plantas pertenecientes a la familia Orchidaceae, dentro de la subfamilia Epidendriodeae, ubicado en la subtribu Oncidiinae de la tribu Cymbidieae; está constituido por 18 especies, cuyo centro de riqueza se encuentra en México. Algunas especies extienden su distribución hasta Centro y Sudamérica (Pridgeon *et al.*, 2009) y una especie es endémica de Costa Rica, (Halbinger, 1982).

La mayoría de las especies son epífitas salvo *R. bictoniensis* (Bateman) Soto Arenas & Salazar, *R. londesboroughiana* (Rchb. f.) Soto Arenas & Salazar y *R. uroskinnerii* (Lindl.) Soto Arenas & Salazar, las cuales son semiterrestres. El género se caracteriza por presentar plantas de tamaño mediano, tallo engrosado formando un pseudobulbo; dos a tres hojas apicales, en ocasiones una, linear-lanceoladas; inflorescencia lateral, racemosa, generalmente del mismo tamaño que las hojas; flores de 4 a 5 cm de diámetro, vistosas, generalmente con manchas de tonos pardos; sépalos y pétalos, generalmente similares, labelo trilobado, los lóbulos laterales carnosos, suberectos, lóbulo medio delgado; callo engrosado o carnoso; columna delgada, dilatada a la altura del estigma; polinios dos, ovoides, sulcados, estípite laminar y viscidio pardo (Halbinger, 1982).

Las especies del género *Rhynchosetele* se distribuyen desde los 1,500 a los 3,000 metros de altitud; habitan principalmente en bosques de pino-encino, aunque también se pueden encontrar en bosques mesófilos de montaña y en otros tipos de vegetación con un nivel de humedad relativamente alto.

La estructura y la morfología del polinario ha jugado un papel de suma importancia en la clasificación de las orquídeas, se han utilizado, en la clasificación de la familia, a diferentes niveles taxonómicos, como subfamilias, tribus y subtribus (Dressler, 1981; 1993; Stenzel, 2000).

Una herramienta importante para comprender la evolución de cualquier grupo de organismos es estudiar la evolución de aquellos caracteres que podrían ser innovaciones clave o que se suponga que puedan tener alguna importancia evolutiva (Leopardi-Verde y Escobedo-Sarti, 2021). La evolución de un carácter es el proceso por el cual un atributo cambia a lo largo de las ramas de una filogenia, y una de las vías para reconstruir la historia evolutiva de un carácter es el uso de máxima parsimonia, un método utilizado que sugiere una buena explicación de los datos e involucra una menor cantidad de cambios evolutivos (Leopardi-Verde y Escobedo-Sarti, 2021).

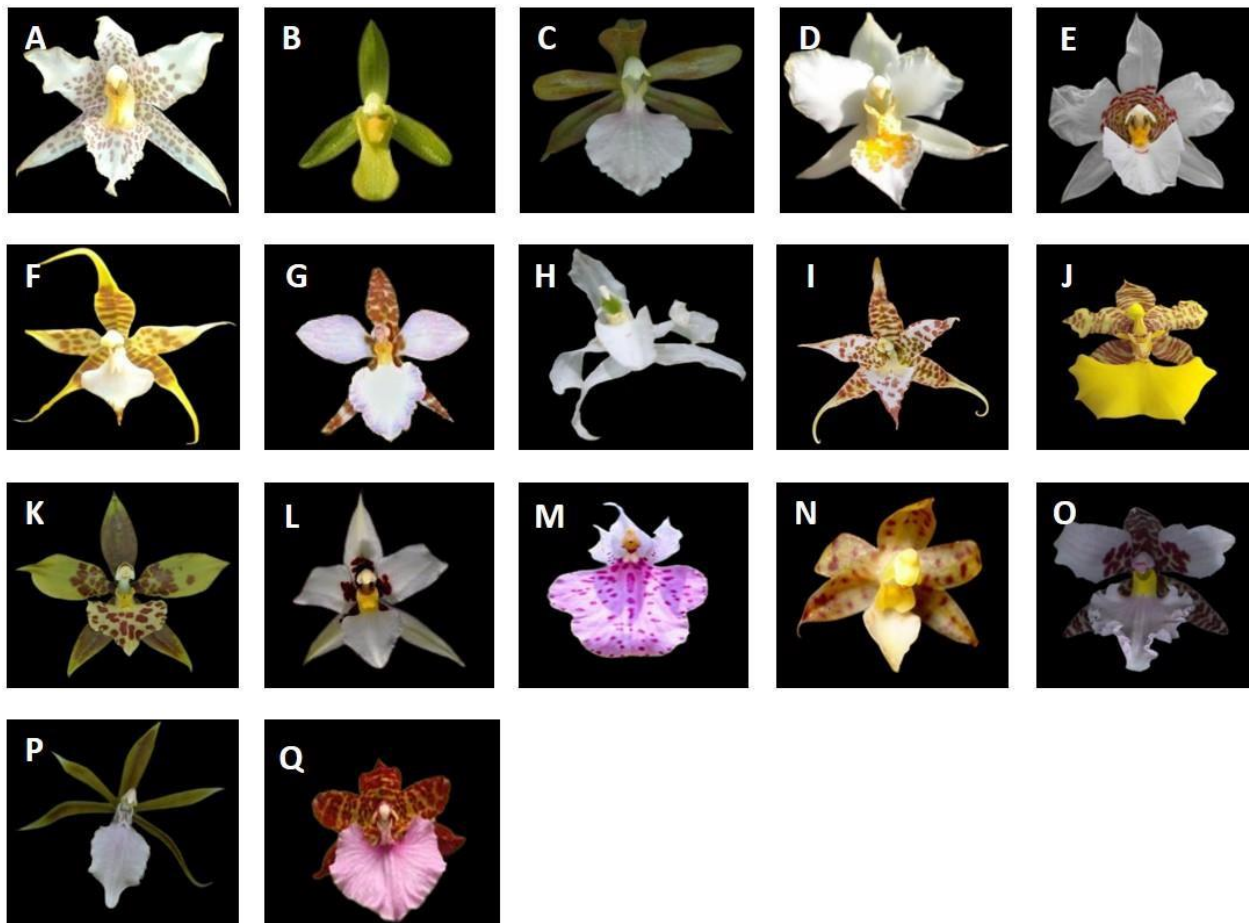
## ANTECEDENTES

**Taxonomía de *Rhynchostele*.** Originalmente, la mayoría de las especies fueron tratadas como miembros de *Odontoglossum* Kunth. durante muchos años (Halbinger, 1982). Sin embargo, el género *Rhynchostele* fue establecido por H. G. Reichenbach en 1852 para incluir una pequeña orquídea descrita como *Odontoglossum pygmaeum* Lindl. Reichenbach separó a *Rhynchostele* de *Odontoglossum* por el polinio no sulcado, la forma de la columna, el labelo y la peculiar cobertura del estigma (Soto *et al.*, 1993). Posteriormente, Halbinger (1983) publicó un nuevo nombre genérico para un grupo de *Odontoglossum* mexicanos emparentados con *O. cervantesii* Lex., dándoles el nombre de *Cymbiglossum* Halb., sin embargo, se presentaron dificultades con la ortografía del nombre y, en consecuencia, con la prioridad de su uso, por lo que el nombre perdió validez. Por otra parte, Brieger (1981) propuso el nombre de *Cymboglossum* Brieger, para un par de especies asiáticas de *Dendrobium* Sw., pero al ser fácilmente confundible con *Cymbiglossum*, Halbinger (1983), propuso un nuevo nombre para el grupo de especies inicialmente mencionadas llamado *Lemboglossum* Halb.

No obstante, toda esta confusión y publicación de nombres nuevos fue en vano, debido a que todos pasaron por alto a una pequeña especie peculiar, *Rhynchostele pygmaea* (Lindl.) Rchb. f., con base en un estudio morfológico y anatómico, Soto *et al.* (1993), se dieron cuenta, de que esta especie era morfo-anatómicamente muy similar a los miembros de *Lemboglossum*, por lo que procedieron a transferir a todas las especies a *Rhynchostele*, un nombre mucho más antiguo.

Posteriormente, los análisis de ADN corroboraron esta relación. No sólo las especies de *Lemboglossum* estaban relacionadas con *Rhynchostele*, sino que también especies de los géneros: *Amparoa* Schltr. y *Mesoglossum* Halb. (Pridgeon et. al., 2009).

Actualmente, *Rhynchostele* se conforma de 18 especies, 3 subespecies y una forma: *Rhynchostele aptera* (Lex.) Soto Arenas & Salazar, *R. beloglossa* (Rchb. f.) Dressler & N. H. Williams, *R. bictoniensis* (Bateman) Soto Arenas & Salazar, *R. candidula* (Rchb. f.) Halb., *R. cervantesii* (Lex.) Soto Arenas & Salazar, *R. cervantesii* subsp. *halbingeriana* Soto Arenas & Hágster, *R. cervantesii* subsp. *membranacea* (Lindl.) Soto Arenas & Salazar, *R. cordata* (Lindl.) Soto Arenas & Salazar, *R. ehrenbergii* (Link, Klotzsch & Otto) Soto Arenas & Salazar, *R. galeottiana* (A. Rich. & Galeotti) Soto Arenas & Salazar, *R. hortensiae* (Rodríguez) Soto Arenas & Salazar, *R. londesboroughiana* (Rchb. f.) Soto Arenas & Salazar, *R. maculata* (L. O. Williams) Soto Arenas & R. Jiménez, *R. maculata* subsp. *oestlundiana* (L. O. Williams) Soto Arenas & Salazar, *R. maculata* subsp. *oestlundiana* fo. *perotensis* (L. O. Williams) Soto Arenas & Salazar, *R. madrensis* (Rchb. f.) Soto Arenas & Salazar, *R. majalis* (Rchb. f) Soto Arenas & Salazar, *R. oscarii* Archila, *R. pygmaea* (Lindl.) Rchb. f, *R. rossii* (Lindl.) Soto Arenas & Salazar, *R. stellata* (Lindl.) Soto Arenas & Salazar y *R. uroskinneri* (Lindl.) Soto Arenas & Salazar (Fig. 1).



**Figura 1.** Especies del género *Rhynchostele*. A) *R. aptera*; B) *R. beloglossa*; C) *R. bictoniensis*; D) *R. candidula*; E) *R. cervantesii*; F) *R. cordata*; G) *R. ehrenbergii*; H) *R. galeottiana*; I) *R. hortensiæ*; J) *R. londesboroughiana*; K) *R. maculata*; L) *R. madrensis*; M) *R. majalis*; N) *R. pygmaea*; O) *R. rossii*; P) *R. stellata* y Q) *R. uroskinneri*. (Nota: las imágenes B, E, G, L y N fueron tomadas de la página <https://mexico.inaturalist.org/photos>).

**Morfología del polinario.** Las subfamilias Orchidoideae y Epidendroideae son las únicas, de las cinco subfamilias de orquídeas, que presentan polinios verdaderos (Singer *et al.*, 2008), siendo con mucho, las dos subfamilias más ricas en especies, con el 98% de las especies descritas hasta la fecha (Chase *et al.*, 2003).

El polinario de estas dos subfamilias, en general, puede separarse morfológicamente (Singer *et al.*, 2008). Los polinios de la subfamilia Orchidoideae son

divisibles de alguna manera. Pueden ser granulares o suaves y divisibles en subunidades, llamadas masas (Dressler, 1981). Por el contrario, los polinios de la gran mayoría de las Epidendroide son enteros, globosos e indivisibles. Estos son los llamados polinios “cerosos” o “duros” que se representan comúnmente. A su vez, pueden estar desnudos o formar una estructura compleja, con caudículas, estípite y viscidio, incluso hay algunos polinios sectiles (Singer *et al.*, 2008).

Se han realizado diversos estudios basados en la morfología del polinario con fines de clasificación (Williams, 1970; Williams y Broome, 1976; Burns-Balogh, 1982; Burns-Balogh y Funk, 1983; Chase, 1987; Burns-Balogh *et al.*, 1987; García-Cruz y Sosa, 2005; Hidayat *et al.*, 2006 y Barone *et al.*, 2006). Lindley (1830), fundó la sistemática de orquídeas moderna cuando utilizó la consistencia del polinario y el tipo de estructuras accesorias (caudículas, viscidio y estípite) para separar tribus. Unos años después, Reichenbach (1852), dedicó su tesis doctoral al polinario de las orquídeas. Williams (1970), describió el polinario de varios géneros de la subtribu Oncidiinae y sugirió que existe marcada variación entre ellos. Williams y Broome (1976), realizaron un estudio para examinar la morfología del polinario con ayuda del Microscopio Electrónico de Barrido, y mostraron la variedad de texturas en la superficie de las tétradas, siendo un carácter con alto valor taxonómico. Burns-Balogh (1982), analizó 43 géneros de la subtribu Laeliinae y encontró que éstos se distinguen por el número de polinios en cada polinario, además de otras características del labelo y de la columna, igualmente que el polinario puede servir para identificar los diferentes grupos y géneros de la subtribu. Burns-Balogh y Funk (1983), describieron la morfología del polinario y determinaron que el número de polinios está relacionado con géneros de orquídeas basales, ya que los

polinarios más primitivos son los que presentan de 4 a 12 polinios mientras que los más derivados sólo presentan dos.

Chase (1987), reconoció 14 tipos de morfología del polinario para los subgéneros y secciones de *Odontoglossum* y *Oncidium*, lo que permitió desarrollar un esquema hipotético del desarrollo evolutivo del polinario en estos grupos para esclarecer sus relaciones filogenéticas. Burns-Balogh *et al.* (1987), utilizaron la morfología del polinario para conocer la evolución y polinización de la tribu Neottieae, sugiriendo dos tipos de polinización, uno primitivo donde se produce néctar y otro avanzado que involucra el mimetismo. García-Cruz y Sosa (2005), investigaron las relaciones filogenéticas entre las especies del género *Govenia* basados en caracteres morfológicos florales, vegetativos y del polinario y discutieron las implicaciones de la evolución de caracteres morfológicos en los síndromes de polinización, encontrando varias tendencias evolutivas que incluyen un cambio de polinizador de abejorros pequeños a más grandes. Hidayat *et al.*, (2006), realizaron un análisis cladístico basado en la morfología del polinario, principalmente del viscidio y del estípite para conocer las relaciones filogenéticas de la subtribu Aeridinae. Barone *et al.*, (2006), con base en una filogenia molecular, analizaron si la variación de la micromorfología del polen reflejaba las relaciones filogenéticas o bien, si ésta podía verse influenciada significativamente por la notable diferencia en los síndromes de polinización encontrados entre especies estrechamente relacionadas dentro de la subtribu Orchidinae.

Stenzel (1967), analizó la morfología del polinario de las especies del género *Pleurothallis*, encontrando que es posible reconocer grupos de especies utilizando caracteres como el tamaño y la forma de las caudículas, así como la ornamentación de

la superficie de las tétradas. En otro estudio, Stenzel (2000), correlacionó la morfología floral con la morfología del polinario de los géneros de la subtribu Pleurothallidinae y encontró que la mayor diversidad morfológica de especies se encuentra en los géneros que presentan dos polinios. Por lo tanto, la estructura y forma de los polinios se han utilizado con frecuencia para la clasificación de las orquídeas (Barone *et al.*, 2006).

Mosquera-Mosquera *et al.* (2019), describieron la variabilidad del polinario y del pistilo para reconstruir el estado ancestral del polinario en la subfamilia Epidendroideae, con el fin de contribuir al entendimiento de la función de estas estructuras en el proceso de polinización y su implicación en la enorme radiación de la subfamilia.

**Estudios sistemáticos en *Rhynchostele*.** Actualmente, el único antecedente enfocado al género *Rhynchostele* es el trabajo realizado por Halbinger (1982), donde divide el género *Odontoglossum* en secciones y coloca a *Rhynchostele* en la sección *Leucoglossum*, además realiza un esquema estableciendo relaciones de parentesco entre las 15 especies hasta ese entonces descritas.

La mayoría de los estudios sistemáticos basados tradicionalmente en caracteres florales incluyen a los géneros de la subtribu Oncidiinae, lo que ha generado sistemas de clasificación artificiales que revelan poco sobre sus relaciones filogenéticas (Sandoval-Zapotitla *et al.*, 2010).

Varios trabajos han demostrado la utilidad que tienen los caracteres moleculares en la sistemática y en el establecimiento de las relaciones filogenéticas (Williams *et al.*, 2001; Chase *et al.*, 2005; Sandoval-Zapotitla *et al.*, 2010; Neubig *et al.*, 2012; Bateman *et al.*, 2018). Entre los trabajos realizados, con marcadores filogenéticos, a nivel de la

subtribu Oncidiinae que han incluido solo algunas especies de *Rhynchostele* son: Williams *et al.* (2001), quienes realizaron una filogenia con datos moleculares combinados para esclarecer la relación filogenética entre *Cyrtochilum* y los géneros cercanamente relacionados; los autores encontraron diferencias en los polinarios de dichos géneros y recuperaron nueve clados, a pesar de que sólo utilizaron tres especies de *Rhynchostele* (*R. beloglossa*, *R. bictoniensis* y *R. londesboroughiana*), éstas formaron un clado con los géneros *Tolumnia* y *Erycina* como grupos hermanos de éste. Chase *et al.* (2005), realizaron una filogenia para conocer la relación entre el tamaño del genoma y el hábito de vida de varias especies de la subtribu Oncidiinae, encontraron que el tamaño del genoma es más pequeño en especies epífitas que en especies terrestres, sin embargo, concluyen que no existe una correlación entre el tamaño del genoma y el número de cromosomas; en este estudio, incluyeron dos especies de *Rhynchostele* (*R. cervantesii* y *R. cordata*). Damon y Nieto (2013) analizaron la morfología del polinario de 56 especies, entre ellos *R. cordata*, *R. pygmaea*, *R. stellata* y *R. uroskinneri* y establecieron un método de clasificación basado en caracteres tales como el tamaño y la forma del polinio, así como el tamaño, forma, textura y superficie de las tétradas ya que estos caracteres demostraron ser taxonómica y ecológicamente informativos. Neubig *et al.* (2012) realizaron un análisis de máxima verosimilitud basado en datos moleculares, reconociendo 61 géneros en Oncidiinae, ellos realizaron una clasificación para facilitar el entendimiento de la evolución de los rasgos morfológicos y bioquímicos de esta subtribu tan diversa e incluyeron 15 especies de *Rhynchostele*, recuperándolo como monofilético con el género *Erycina* como grupo hermano.

El clado que conforman los géneros *Rhynchostele*, *Erycina* y *Tolumnia* se ha considerado como uno de los más derivados dentro de la subtribu Oncidiinae (Sandoval-Zapotitla *et al.*, 2010).

## CAPITULO 2. JUSTIFICACIÓN

En la clasificación taxonómica de la familia Orchidaceae con frecuencia se han utilizado estructuras del polinario con alto valor taxonómico, tales como el estípite, la caudícula, el viscidio, el número de polinios, entre otras. En los grupos vandoides es posible determinar hasta el nivel de género con base, exclusivamente, en la morfología de los polinarios. Lo mismo sucede en los grupos de Oncidiinae en donde el estípite y el viscidio presentan variación morfológica. En cambio, a nivel específico, en los grupos vandoides no hay diferencias claras entre los caracteres morfológicos del polinario en tanto que en los grupos de Oncidiinae no hay antecedentes. A nivel específico, son escasos los trabajos con este enfoque, de ahí que haya una gran necesidad de nuevos estudios sistemáticos sobre la morfología del polinario (Dressler, 1977). Además, a pesar de que hay trabajos que describen la morfología del polinario de algunas especies de *Rhynchostele*, no se ha mencionado un escenario evolutivo de los caracteres morfológicos del polinario en donde se incluyan todas las especies del género, a partir de una hipótesis filogenética de caracteres morfológicos y moleculares para poder determinar la historia evolutiva del polinario.

## PREGUNTA DE INVESTIGACIÓN

Se ha establecido que la variación morfológica del polinario ha sido útil para reconocer grupos en rangos taxonómicos superiores a la especie, entonces, ¿la variación

morfológica del polinario entre las especies de *Rhynchostele*, será suficiente para que nos permita inferir un escenario evolutivo?

## HIPÓTESIS

Si proponemos una hipótesis filogenética de *Rhynchostele* basada en el análisis simultáneo de caracteres morfológicos y moleculares y si existe variación en los caracteres morfológicos del polinario entre las especies, entonces, podremos proponer una historia evolutiva del polinario dentro de *Rhynchostele*.

## OBJETIVO GENERAL

Proponer un escenario evolutivo de la morfología del polinario con base en una filogenia obtenida a partir de datos morfológicos y moleculares en el género *Rhynchostele*.

## OBJETIVOS PARTICULARES

- Describir la morfología del polinario de cada una de las especies del género.
- Comparar tres filogenias de las especies del género, una con datos morfológicos, otra con datos moleculares y una de evidencia total.
- Mapear los caracteres del polinario en las filogenias obtenidas para inferir su escenario evolutivo.

## CAPITULO 3. MÉTODOS

Durante el desarrollo de este proyecto se llevó a cabo una revisión bibliográfica constante y se consultó información sobre las 18 especies que conforman el género *Rhynchostele*,

con el fin de obtener la mayor cantidad de información acerca de las especies de *Rhynchosetele*. De acuerdo con Neubig *et al.* (2012), se utilizó a *Tolumnia pulchella* (Hook.) Raf. como grupo externo y a las especies *Erycina echinata* (Kunth) Lindl., y a *E. pusilla* (L.) N. H. Williams & M. W. Chase, como grupo hermano.

Cabe mencionar que, de las 18 especies, 3 subespecies y una forma que conforman al género, *R. oscarii*, las subespecies *R. cervantesii* subsp. *halbingeriana*, *R. cervantesii* subsp. *membranacea* y *R. maculata* subsp. *oestlundiana* y la forma *R. maculata* subsp. *oestlundiana* fo. *perotensis*, no fueron incluidas en este trabajo debido a que, en el primer caso, no hay información de los marcadores moleculares seleccionados en el GenBank y para el resto de los casos, los datos taxonómicos incluidos en la base de datos de secuencias genéticas (GenBank) no nos permitió hacer una determinación precisa. Por lo tanto, en el presente trabajo únicamente se incluyeron 17 especies.

**Obtención de los datos morfológicos.** Se revisaron los ejemplares correspondientes al género *Rhynchosetele* depositados en las siguientes colecciones nacionales: Instituto Chinoín, A.C (AMO); Herbario-Hortorio del Colegio de Postgraduados en Ciencias (CHAPA); Herbario del Departamento de Botánica de la Escuela Nacional de Ciencias Biológicas, IPN (ENCB); Herbario Agustina Batalla de la Facultad de Ciencias, UNAM (FCME); Herbario del Instituto de Botánica, Depto. de Botánica y Zoología, Universidad de Guadalajara, (IBUG); Instituto de Ecología, A.C. Centro Regional del Bajío, (IEB); Herbario Nacional del Instituto de Biología, UNAM (MEXU); Herbario Metropolitano Ramón Riba y Nava Esparza de la UAM-I (UAMIZ) y Herbario del Instituto de Ecología,

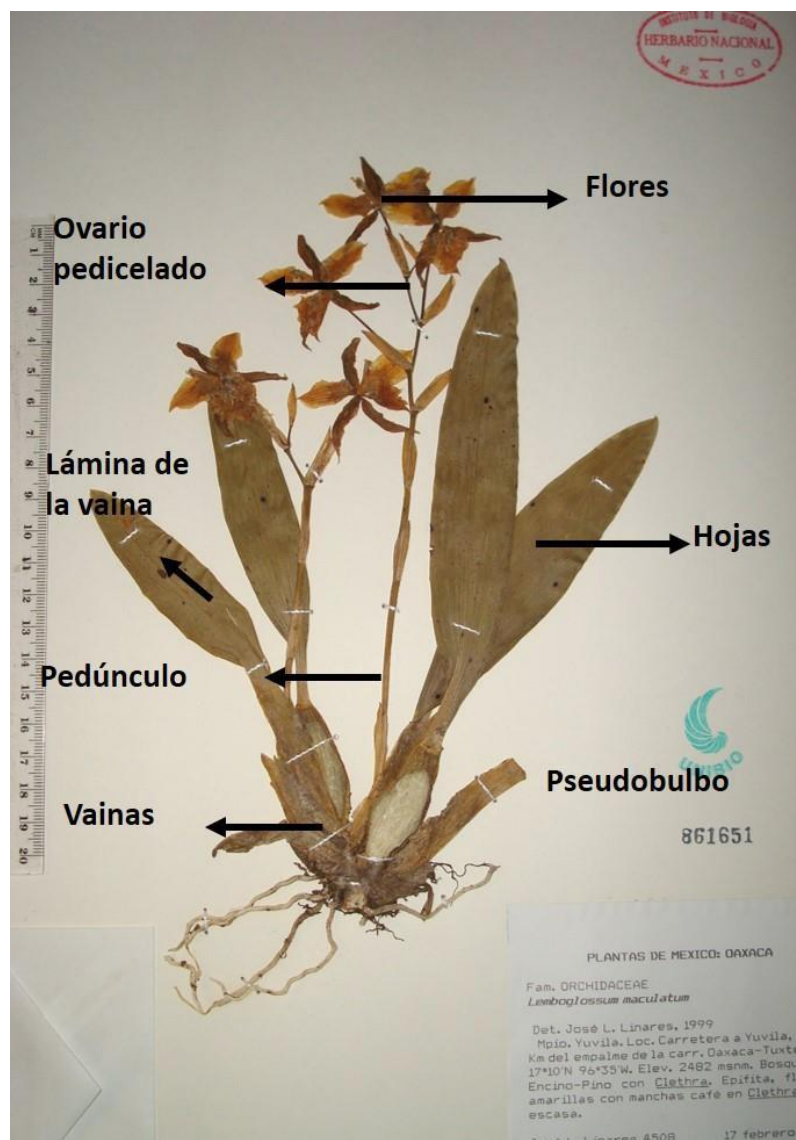
A. C. (XAL). De cada ejemplar revisado se obtuvieron fotografías digitales para su cotejo y posterior descripción y toma de datos ecológicos y taxonómicos (Tabla 1).

**Tabla 1.** Número de ejemplares revisados por especie. Se incluyen las especies de los grupos externo y hermano.

ID	ESPECIE	NÚMERO DE EJEMPLARES REVISADOS Y MEDIDOS
1	<i>T. pulchella</i>	Tomado de Pridgeon <i>et al.</i> (2009)
2	<i>E. echinata</i>	26
3	<i>E. pusilla</i>	14
4	<i>R. aptera</i>	68
5	<i>R. beloglossa</i>	2
6	<i>R. bictoniensis</i>	105
7	<i>R. candidula</i>	39
8	<i>R. cervantesii</i>	209
9	<i>R. cordata</i>	82
10	<i>R. ehrenbergii</i>	28
11	<i>R. galeottiana</i>	3
12	<i>R. londesboroughiana</i>	8
13	<i>R. maculata</i>	83
14	<i>R. madrensis</i>	20
15	<i>R. majalis</i>	6
16	<i>R. pygmaea</i>	15
17	<i>R. rossii</i>	74
18	<i>R. stellata</i>	62
19	<i>R. uroskinneri</i>	11
20	<i>R. hortensiae</i>	Tomado de Halbinger (1982)

De los especímenes revisados y analizados, se obtuvo un listado de 32 caracteres morfológicos vegetativos y florales, con sus respectivos estados de carácter, de los cuales nueve fueron cuantitativos (Tabla 2) y 23 cualitativos (Fig. 2, Tabla 3). Se tomaron caracteres tales como el largo de las hojas, de la inflorescencia, del pedúnculo, de las flores, forma y color de los sépalos, pétalos y del labelo, forma de la columna y del callo. Con esta información se obtuvo una matriz de datos morfológica, la cual se utilizó para

inferir una hipótesis filogenética con base en datos morfológicos. En el caso de los caracteres cuantitativos, para homogeneizar las medidas, se obtuvo el logaritmo base 10 y se les sumó 1 para eliminar las cantidades negativas. Los valores así obtenidos fueron incluidos en el apéndice 1 al final de este trabajo y codificados en la matriz de datos que se pueden observar en la tabla 9 de la sección de resultados.



**Figura 2.** *Rhynchostele maculata*. Las flechas indican las estructuras vegetativas y florales de las cuales se obtuvieron los caracteres para la filogenia con datos morfológicos.

**Tabla 2.** Carácteres cuantitativos que se tomaron en cuenta para realizar la matriz con datos morfológicos.

ID	CARÁCTER	CONSIDERACIONES
1	Alto de la planta (cm)	Desde el rizoma hasta el ápice de la inflorescencia
2	Largo de la hoja (cm)	Desde la base del pecíolo hasta el ápice de la lámina
3	Largo de la inflorescencia (cm)	Desde la base del pseudobulbo hasta el ápice de la inflorescencia
4	Largo del pedúnculo (cm)	Desde la base de la inflorescencia hasta la base del pedicelo de la primera flor
5	Longitud de las flores (cm)	Del ápice del sépalo dorsal al ápice del sépalo lateral
6	Largo del sépalo dorsal (SD)(cm)	De la base al ápice del SD
7	Largo de los sépalos laterales (SL) (cm)	De la base al ápice del SL
8	Largo de los pétalos (cm)	De la base al ápice del pétalo
9	Largo del labelo (cm)	De la base al ápice del labelo

**Tabla 3.** Carácteres morfológicos cualitativos y estados de carácter que se tomaron en cuenta para realizar la matriz.

ID	CARÁCTER	ESTADOS DE CARÁCTER
10	Posición de las hojas	0: basal; 1: apical
11	Disposición de las hojas	0: sigmoide; 1: solitaria; 2: opuestas
12	Forma de la hoja en sección transversal	0: triangular; 1: extendida; 2: conduplicada
13	Lámina de la vaina del pseudobulbo	0: ausente; 1: presente
14	Pseudobulbo	0: ausente; 1: presente
15	Forma de las hojas	0: lanceolada; 1: elíptica; 2: angostamente elíptica
16	Tipo de Inflorescencia	0: panícula; 1: racimo; 2: simple
17	Color de los sépalos	0: rosa; 1: amarillo; 2: blanco; 3: café; 4: verde
18	Ornamentación de los sépalos	0: ausente; 1: manchas; 2: rayas
19	Forma del sépalo dorsal	0: oblanceolada; 1: obovada; 2: ovada; 3: elíptica; 4: lanceolada; 5: angostamente elíptica; 6: angostamente ovada; 7: linealmente lanceolada

20	Ápice del sépalo dorsal	0: agudo; 1: acuminado
21	Fusión de los sépalos laterales	0: completa; 1: mitad basal; 2: ausente
22	Forma de los sépalos laterales	0: oblonga; 1: ovada; 2: lanceolada; 3: oblanceolada; 4: angostamente elíptica; 5: angostamente lanceolada;
23	Ápice de los sépalos laterales	0: agudo; 1: acuminado
24	Color de los pétalos	0: rosa; 1: amarillo; 2: blanco; 3: café; 4: verde
25	Ornamentación de los pétalos	0: ausente; 1: manchas; 2: rayas
26	Forma de los pétalos	0: muy ampliamente obovada; 1: elíptica; 2: deltoide; 3: ovada; 4: lanceolada; 5: obovada; 6: angostamente oblanceolada; 7: angostamente oblonga; 8: angostamente ovada; 9: linealmente lanceolada
27	Ápice de los pétalos	0: redondeado; 1: agudo; 2: acuminado
28	Color del labelo	0: rosa; 1: amarillo; 2: blanco
29	Labelo	0: bilobado; 1: entero
30	Alas en la columna	0: ausentes; 1: presentes
31	Forma del callo	0: laminar; 1: cimbiforme; 2: tricalloso
32	Ápice del callo	0: bifido; 1: hendido; 2: obtuso; 3: truncado

**Obtención de los datos moleculares.** Para obtener la matriz con datos moleculares, se utilizaron un marcador de RNA ribosomal (18S) y dos marcadores de cloroplasto *psbA* y *ycf1*. Las secuencias de los tres marcadores moleculares se obtuvieron de la base de datos pública GenBank (<http://www.ncbi.nlm.nih.gov/GenBank/>; Tabla 4). Las secuencias de ADN se ensamblaron con el programa BioEdit (ver. 7.0.5.3) y se alinearon con la opción “ClustalW Multiple alignment”, con las opciones por defecto, en el mismo programa. En el caso de los marcadores moleculares *psbA* y *ycf1*, para las especies *R. aptera* y *R. hortensiae*, se codificaron como datos faltantes (?) en todos los análisis.

**Tabla 4.** Códigos de acceso del GenBank de cada secuencia utilizada para cada especie. Se indica el gen correspondiente.

ID	Especies	18S	psbA	ycf1
1	<i>T. pulchella</i>	FJ565327.1	FJ564265.1	FJ563411.1
2	<i>E. echinata</i>	AF350537.1	FJ564434.1	FJ563581.1
3	<i>E. pusilla</i>	FJ565542.1	FJ564021.1	FJ563164.1
4	<i>R. aptera</i>	KF146337.1		
5	<i>R. beloglossa</i>	FJ565228.1	FJ564093.1	FJ563232.1
6	<i>R. bictoniensis</i>	AF350529.1	FJ564004.1	FJ563147.1
7	<i>R. candidula</i>	FJ565290.1	FJ564208.1	FJ563349.1
8	<i>R. cervantesii</i>	FJ565272.1	FJ564161.1	FJ563302.1
9	<i>R. cordata</i>	FJ565653.1	FJ564666.1	FJ563813.1
10	<i>R. ehrenbergii</i>	FJ565284.1	FJ564200.1	FJ563341.1
11	<i>R. galeottiana</i>	FJ565288.1	FJ564205.1	FJ563346.1
12	<i>R. hortensiae</i>	KF146338.1		
13	<i>R. londesborougiana</i>	AF350530.1	FJ564084.1	FJ563224.1
14	<i>R. maculata</i>	FJ565274.1	FJ564167.1	FJ563308.1
15	<i>R. madrensis</i>	FJ565289.1	FJ564206.1	FJ563347.1
16	<i>R. majalis</i>	FJ565281.1	FJ564194.1	FJ563335.1
17	<i>R. pygmaea</i>	FJ565269.1	FJ564157.1	FJ563298.1
18	<i>R. rossii</i>	FJ565271.1	FJ564160.1	FJ563301.1
19	<i>R. stellata</i>	FJ565268.1	FJ564156.1	FJ563297.1
20	<i>R. uroskineri</i>	FJ565287.1	FJ564204.1	FJ563345.1

**Obtención de los polinarios.** De las 17 especies incluidas en este estudio, sólo de 15 se colectó un polinario (Fig. 3, Tabla 5). De las especies *R. beloglossa*, y *R. hortensiae* no se obtuvieron muestras debido a la falta tanto de material vivo como herborizado. En el caso de *R. maculata*, *R. londesboroughiana* y *R. majalis*, los polinarios se obtuvieron de material fresco, mientras que del resto de las especies se obtuvo de material herborizado. En ambos casos, los polinarios fueron almacenados en cápsulas de gelatina hasta su procesamiento para su observación en el microscopio electrónico de barrido.



**Figura 3.** Polinarios del género *Rhynchososteles*. A) *R. aptera*, B) *R. bictoniensis*, C) *R. candidula*, D) *R. cervantesii*, E) *R. cordata*, F) *R. ehrenbergii*, G) *R. galeottiana*, H) *R. londesboroughiana*, I) *R. maculata*, J) *R. madrensis*, K) *R. majalis*, L) *R. pygmaea*, M) *R. rossii*, N) *R. stellata* y O) *R. uroskinneri*.

**Tabla 5.** Datos de los ejemplares de herbario de donde se obtuvo la muestra del polinario.

Especie	Herbario	No. de herbario	Colector y no. de colecta
<i>R. aptera</i>	UAMIZ	42602	A. Espejo 5636
<i>R. bictoniensis</i>	AMO	10692	M. A. Soto A. 4875
<i>R. candidula</i>	AMO	19723	J. García C. 607
<i>R. cervantesii</i>	AMO	8016	G. Salazar 1802
<i>R. cordata</i>	MEXU	447618	R. Torres 8747
<i>R. ehrenbergii</i>	MEXU	473430	R. Torres 462
<i>R. galeottiana</i>	AMO	372	F. Halbinger 117
<i>R. londesboroughiana</i>	MEXU	1313387	C. Figueroa 313
<i>R. maculata</i>	FCME	086817	H. Kruse 19740222-260
<i>R. madrensis</i>	AMO	24816	M. A. Soto A. 1438
<i>R. majalis</i>	AMO	21542	M. A. Soto A. 5899

<i>R. pygmaea</i>	AMO	680	E. Hágster 4524
<i>R. rossii</i>	ENCB	-	F. Ventura A. 4881
<i>R. stellata</i>	ENCB	-	C. Santiz R. 881
<i>R. uroskinneri</i>	AMO	12528	F. Halbinger 7049

**Obtención de los caracteres del polinario.** Los polinarios fueron montados con grafito en porta muestras de aluminio, posteriormente, fueron recubiertos con una película de oro (60 nm), en el equipo ionizador de metales marca Denot Vaccum Desk III® (Fig. 4); las observaciones se realizaron con un Microscopio Electrónico de Barrido (MEB) (modelo Zeiss DMS940®), ambos equipos ubicados en el laboratorio de la división de Microscopía Electrónica de Barrido, de la División de Ciencias Biológicas y de la Salud de la UAM-I, se obtuvieron fotomicrografías de las muestras en aumentos de X20 y X2000. Se puso especial atención a la superficie del polinio, procurando mantener la misma vista en todas las muestras para una mejor comparación.

Con base en el análisis y en las observaciones de las fotomicrografías de cada una de las especies, se obtuvo un listado de 10 caracteres morfológicos, con sus respectivos estados de carácter, de los cuales cinco fueron cuantitativos y cinco fueron cualitativos (Tabla 6). Con esta información se obtuvo una matriz de datos morfológica de los polinarios, la cual se utilizó para inferir el posible escenario evolutivo del polinario. Los criterios para la toma de datos de los caracteres del polinario se indican en la Tabla 7.

**Tabla 6.** Caracteres cuantitativos y cualitativos que se tomaron en cuenta para realizar la matriz con datos morfológicos del polinario. Las letras en la forma de las tétradas corresponden a los estados de carácter descritos en la Tabla 7. (nota: los símbolos “\*” indican la ausencia de datos).

Especie	Polinario (mm)	Polinio (mm)					Tétradas (μm)			
	Longitud	Largo	Ancho	Forma	Vista dorsiventral	Forma del sulco	Largo	Anch o	Forma (l:a)	Ornamentación en la superficie
<i>R. aptera</i>	6.8	2.4	1.3	obovado	aplanado	amplio	24.4	15.9	c	granulosa
<i>R. beloglossa</i>	2.2	0.7	0.3	obovado	aplanado	amplio	*	*	*	*
<i>R. bictoniensis</i>	3.8	1.2	0.6	obpiriforme	globular	linear	17.29	18.24	a	glabrescente
<i>R. candidula</i>	7.3	2.2	1.3	obovado	globular	amplio	23	14.4	d	glabrescente
<i>R. cervantesii</i>	4.1	1.3	0.6	obpiriforme	globular	linear	16.7	14.9	b	glabrescente
<i>R. cordata</i>	4.9	1.5	0.7	obpiriforme	globular	linear	18.3	11.3	d	glabrescente
<i>R. ehrenbergii</i>	4.3	1.3	0.7	obovado	globular	linear	17.2	14.3	b	glabrescente
<i>R. galeottiana</i>	3.7	1.4	0.8	obpiriforme	globular	linear	16.72	17.7	a	glabrescente
<i>R. hortensiae</i>	3.4	1.7	1.1	obovado	globular	amplio	*	*	*	*
<i>R. londesboroughian a</i>	2.6	1.1	0.8	obovado	aplanado	linear	19.53	17.45	b	foveada
<i>R. maculata</i>	2.8	1.3	0.7	obpiriforme	globular	amplio	16.8	11.2	c	punctulada
<i>R. madrensis</i>	2.8	1.2	0.8	semielíptic o	aplanado	linear	21.6	17.1	b	glabrescente
<i>R. majalis</i>	3.8	1.1	0.7	obovado	aplanado	linear	20.3	21.8	a	foveada
<i>R. pygmaea</i>	1.06	0.5	0.3	obovado	globular	linear	23.3	16.2	c	glabrescente
<i>R. rossii</i>	5.4	1.3	0.8	obovado	globular	linear	14.4	16.7	a	glabrescente
<i>R. stellata</i>	3	0.9	0.5	semielíptic o	globular	linear	16.7	16.5	a	foveada
<i>R. uroskinneri</i>	4	1.8	0.8	obpiriforme	globular	amplio	17.7	12.8	c	glabrescente

**Tabla 7.** Descripción de cómo se tomaron las medidas en algunos caracteres del polinario.

CARÁCTER	DESCRIPCIÓN
<b>TAMAÑO DEL POLINARIO</b>	La medida se tomó desde el ápice del polinio hasta el ápice del viscidio.
<b>TAMAÑO DEL POLINIO</b>	Se midió desde la base hasta el ápice del polinio
<b>ANCHO DEL POLINIO</b>	Se midió en la porción más ancha del polinio
<b>FORMA DEL POLINIO</b>	Se determinó mediante la relación largo:ancho de cada polinio y se definió como: obovado, obpiriforme y semielíptico.
<b>FORMA DE LAS TÉTRADAS</b>	Se determinó mediante la relación largo:ancho de la siguiente manera: a) 0.8-1.07 anchamente poligonal; b) 1.08-1.2 poligonal isodiamétrica; c) 1.3-1.53 poligonal alargada y d) 1.54-1.61 poligonal.



**Figura 4.** Polinarios en porta muestra y cubiertos con oro, listos para su observación en el MEB.

**Análisis cladístico.** De cada una de las matrices, tanto morfológica, molecular como de evidencia total, se realizó un análisis cladístico utilizando el criterio de parsimonia en el programa TNT versión 1.5 (Goloboff y Catalano, 2016). La matriz de evidencia total se obtuvo combinando los juegos de datos morfológicos más los moleculares en una sola matriz de datos. En total, se incluyeron 20 especies, de las cuales 17 son del género *Rhynchostele*, dos del género *Erycina* y una del género *Tolumnia*, estos dos últimos géneros fueron considerados como grupo externo, con base en la filogenia obtenida por Neubig *et al.* (2012).

La matriz de datos morfológica se conformó por 20 especies y 32 caracteres (Apéndice 1, caracteres del 0 al 31), la matriz de datos moleculares se conformó por 20 especies y 3,105 caracteres (Apéndice 1, caracteres del 32 al 3,137) y la matriz de evidencia total se conformó por 20 especies y 3,137 caracteres (Apéndice 1, caracteres del 0 al 3,137). Cada uno de los tres análisis cladísticos se realizó de la siguiente manera: todos los caracteres fueron tratados como no ordenados y se les asignó el mismo peso (Fitch, 1971). Se realizó una búsqueda heurística conservando únicamente los árboles parsimoniosos. El árbol inicial fue generado por “stepwise addition” con 10,000 réplicas aleatorias, conservando un árbol por réplica. Posteriormente, se realizó el intercambio de ramas con la opción TBR+TBR en efecto, salvando no más de 10,000 árboles por réplica. El análisis de soporte de ramas se evaluó con la técnica de remuestreo de bootstrap (Felsenstein, 1985) y los árboles más parsimoniosos (AMPs) se guardaron.

**Análisis de evolución de caracteres.** Para proponer una hipótesis del escenario evolutivo de la morfología del polinario e inferir sus posibles tendencias evolutivas, se utilizó el modelo de reconstrucción de estados ancestrales bajo el criterio de parsimonia,

tal y como se establece en el programa Mesquite (ver. 3.6). Para ello se utilizaron cada una de las hipótesis filogenéticas obtenidas en cada análisis cladístico y, posteriormente, se mapeó la matriz de caracteres del polinario en cada una de ellas.

Por otro lado, con la finalidad de identificar una posible correlación entre la morfología floral y los caracteres del polinario, se realizó el análisis de Pairwise comparisons (Read y Nee, 1995; Maddison, 2000), como está implementado en Mesquite ver. 3.6. Para ello, se compararon cuatro caracteres florales: la forma del sépalo dorsal, el color del labelo, la presencia de alas en la columna y la posición de la columna que, según la literatura, influyen como los más representativos en el proceso de polinización del género *Rhynchosstele* (Tabla 8), con los caracteres del polinario que mostraron una tendencia evolutiva dentro del grupo.

**Tabla 8.** Caracteres florales utilizados en el análisis de Pairwise Comparisons.

ESPECIES	CARACTERES FLORALES			
	Forma del sépalo dorsal	Color del labelo	Presencia de alas en la columna	Posición de la columna
<i>R. aptera</i>	Obovado	blanco	Ausente	arqueada
<i>R. beloglossa</i>	Oblanceolado	amarillo	Ausente	arqueada
<i>R. bictoniensis</i>	Obovado	rosa	Presente	arqueada
<i>R. candidula</i>	Lanceolado	rosa	Presente	recta
<i>R. cervantesii</i>	Elíptico	blanco	Presente	arqueada
<i>R. cordata</i>	Lanceolado	blanco	Ausente	fuertemente arqueada
<i>R. ehrenbergii</i>	Lanceolado	blanco	Ausente	arqueada
<i>R. galeottiana</i>	Ovado	blanco	Presente	recta
<i>R. hortensiae</i>	Elíptico	blanco	Ausente	arqueada
<i>R. londesboroughiana</i>	Ovado	amarillo	Ausente	fuertemente arqueada
<i>R. maculata</i>	Lanceolado	amarillo	Ausente	arqueada
<i>R. madrensis</i>	Lanceolado	blanco	Ausente	arqueada
<i>R. majalis</i>	Ovado	rosa	Ausente	recta
<i>R. pygmaea</i>	Ovado	amarillo	Ausente	recta
<i>R. rossii</i>	Ovado	blanco	Ausente	arqueada
<i>R. stellata</i>	Lanceolado	blanco	Ausente	recta
<i>R. uroskinneri</i>	Elíptico	rosa	Presente	arqueada

## CAPITULO 4. RESULTADOS

### Análisis filogenético con caracteres morfológicos

En total se midieron 855 ejemplares que corresponden a las 17 especies de *Rhynchosstele* y a las 3 especies del grupo externo. Se analizaron 32 caracteres morfológicos y se obtuvo una matriz de datos con 32 caracteres morfológicos para las 20 especies (Tabla 9).

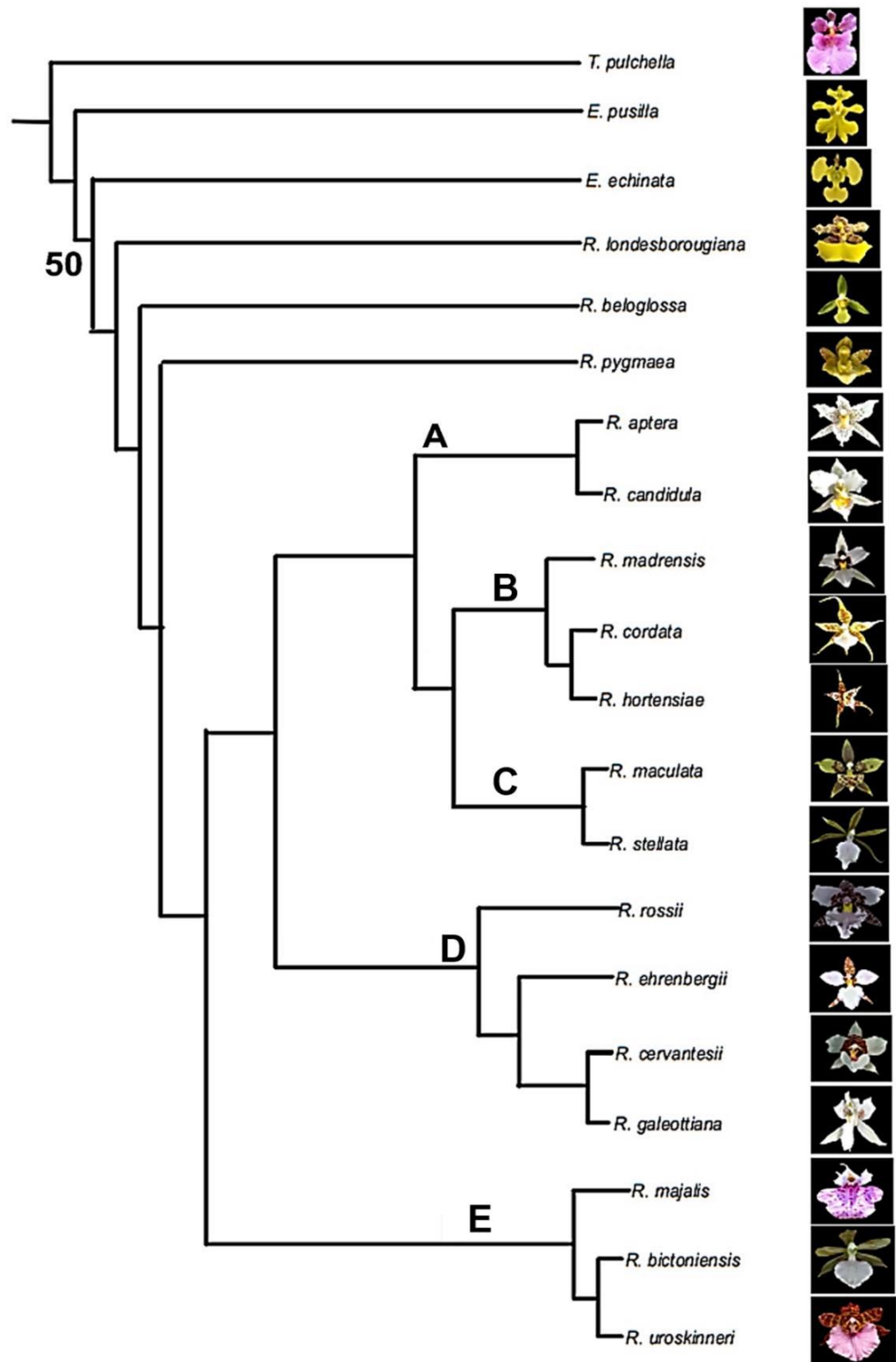
Debido a la falta de material de herbario de las especies *R. hortensiae* y *T. pulchella* los datos se obtuvieron de la bibliografía. En el caso de las especies en las que se contaba con poco material de herbario (*R. beloglossa*, *R. galeottiana*, *R.*

*londesboroughiana* y *R. majalis*) la información se complementó con la bibliografía correspondiente.

En el análisis cladístico con la matriz de datos morfológicos se obtuvieron dos AMPs, con longitud de 114 pasos, índice de consistencia de 0.52 e índice de retención de 0.64. El análisis de Bootstrap únicamente soporta, con 50%, el clado que incluye a todas las especies de *Rhynchososteles* (Fig. 5). El árbol que se muestra se eligió con base en el criterio de congruencia taxonómica entre los árboles obtenidos de los tres análisis realizados (con datos morfológicos, con datos moleculares y el de evidencia total). Dentro del género se observan cinco grupos sin soporte de Bootstrap: el grupo **A** conformado por las especies *R. aptera* y *R. candidula*; el **B** conformado por *R. madrensis*, *R. cordata* y *R. hortensiae*, el grupo **C** conformado por *R. maculata* y *R. stellata*; el **D** está conformado por *R. rossii*, *R. ehrenbergii*, *R. cervantesii* y *R. galeottiana*, mientras que al grupo **E** lo conforman: *R. majalis*, *R. bictoniensis* y *R. uroskinneri*.

**Tabla 9.** Matriz de datos con caracteres morfológicos cuantitativos (previamente codificados) y cualitativos.

ID	ESPECIES	CARACTERES																																	
		1	2	3	4	5	6	7	8	9	0	1	1	1	1	1	1	1	1	1	1	1	1	2	2	2	2	2	2	2	3	3	3		
<b>1</b>	<i>T. pulchella</i>	2	2	2	1	2	1	1	1	2	0	0	0	0	0	0	0	0	0	0	0	0	0	0	0	0	0	0	0	1	0	0			
<b>2</b>	<i>E. echinata</i>	2	2	2	1	1	1	1	0	1	1	1	1	1	1	1	1	0	0	1	0	2	0	1	3	0	1	0	3	1	1	0	2	0	
<b>3</b>	<i>E. pusilla</i>	2	2	2	1	1	1	1	1	1	0	0	2	0	0	0	1	1	0	1	0	1	1	0	1	0	5	1	1	0	1	0	3		
<b>4</b>	<i>R. aptera</i>	2	2	2	2	2	1	2	1	1	1	2	1	1	1	1	0	1	2	1	1	1	2	2	1	2	1	5	1	2	1	0	1	1	
<b>5</b>	<i>R. beloglossa</i>	2	2	2	1	1	1	1	1	1	1	1	1	1	1	1	1	2	1	4	0	0	0	2	3	0	4	1	6	1	1	1	0	0	3
<b>6</b>	<i>R. bictoniensis</i>	3	3	3	1	2	1	1	1	1	1	2	1	1	1	1	1	0	1	4	1	1	0	2	2	1	4	1	4	1	0	1	1	0	2
<b>7</b>	<i>R. candidula</i>	2	2	2	1	2	2	2	2	1	1	2	1	1	1	1	2	1	2	0	4	1	2	2	1	2	0	5	1	0	1	1	0	2	
<b>8</b>	<i>R. cervantesii</i>	2	2	2	1	2	1	1	1	1	1	1	0	1	2	1	2	2	5	0	2	4	1	2	2	5	0	2	1	1	1	1	1		
<b>9</b>	<i>R. cordata</i>	3	2	3	1	2	2	2	1	1	1	1	1	1	1	1	0	1	1	2	4	1	2	5	1	1	1	4	2	2	1	0	0	1	
<b>10</b>	<i>R. ehrenbergii</i>	2	2	2	1	2	1	1	1	1	1	1	0	1	2	1	2	2	4	0	2	2	0	2	1	7	1	2	1	0	1	1			
<b>11</b>	<i>R. galeottiana</i>	2	2	2	1	2	1	1	1	1	1	1	0	1	2	1	2	0	6	0	2	2	0	2	1	8	1	2	1	1	1	1			
<b>12</b>	<i>R. hortensiae</i>	3	2	3	2	2	2	2	2	2	1	1	1	1	1	1	1	2	3	1	2	4	1	2	1	2	2	2	1	0	0	1			
<b>13</b>	<i>R. londesboroughiana</i>	3	2	3	1	1	1	1	1	1	1	2	1	1	1	0	1	1	2	2	0	2	1	0	1	2	5	0	1	0	0	1	2		
<b>14</b>	<i>R. maculata</i>	2	2	2	1	2	1	1	1	1	1	1	1	1	1	1	1	1	3	1	4	1	2	2	1	1	1	7	2	1	1	0	0	1	
<b>15</b>	<i>R. madrensis</i>	2	2	2	1	2	1	1	1	1	1	2	1	1	1	1	2	1	2	1	4	1	2	5	1	2	1	7	2	2	1	0	0	1	
<b>16</b>	<i>R. majalis</i>	2	2	2	2	2	1	1	1	1	1	1	1	1	1	1	1	2	1	0	1	6	0	2	2	1	0	1	6	1	0	1	0	0	1
<b>17</b>	<i>R. pygmaea</i>	2	2	2	1	1	1	0	1	1	1	1	1	0	1	0	1	4	1	6	0	2	1	0	4	1	7	1	1	1	0	0	3		
<b>18</b>	<i>R. rossii</i>	2	2	2	1	2	2	2	2	2	1	1	1	1	0	1	0	1	2	1	6	0	2	2	1	2	1	7	1	2	1	0	1	1	
<b>19</b>	<i>R. stellata</i>	2	2	2	1	2	1	1	1	1	1	1	0	1	0	2	3	1	7	1	2	4	1	3	1	9	2	2	1	0	0	1			
<b>20</b>	<i>R. uroskinneri</i>	2	2	3	2	2	1	1	1	1	1	1	1	1	1	1	0	1	4	2	3	0	2	4	0	4	1	3	1	0	1	1	0	1	

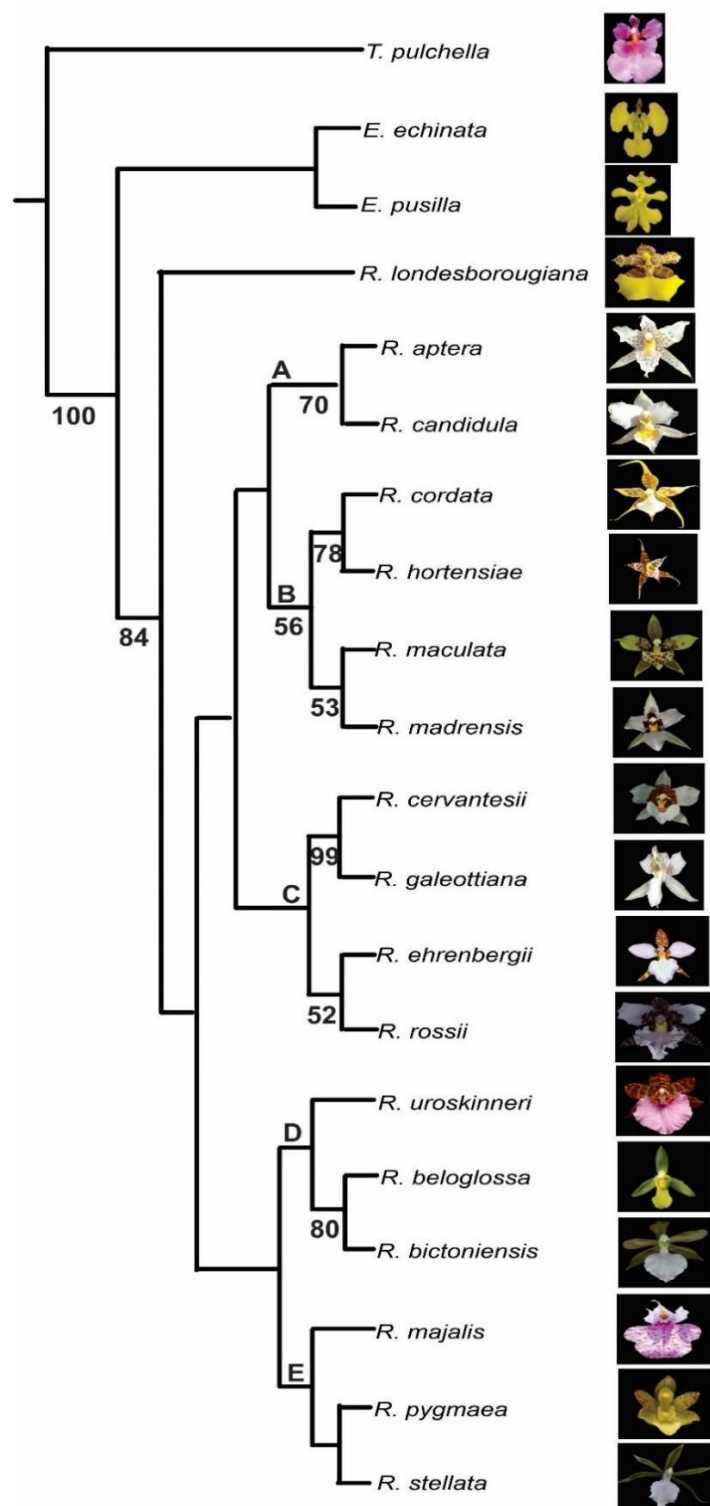


**Figura 5.** Árbol dos de dos obtenido del análisis cladístico con la matriz de caracteres morfológicos. El número, debajo de la línea, indica el valor de soporte de Bootstrap.

## Análisis filogenético con caracteres moleculares

Para las 20 especies incluidas se obtuvieron, del GenBank, las secuencias de las regiones 18S con 767 pb, *psbA* con 746 pb y *ycf1* con 1515 pb. En el caso de *R. aptera* y de *R. hortensiae* sólo se obtuvieron las secuencias del marcador 18S.

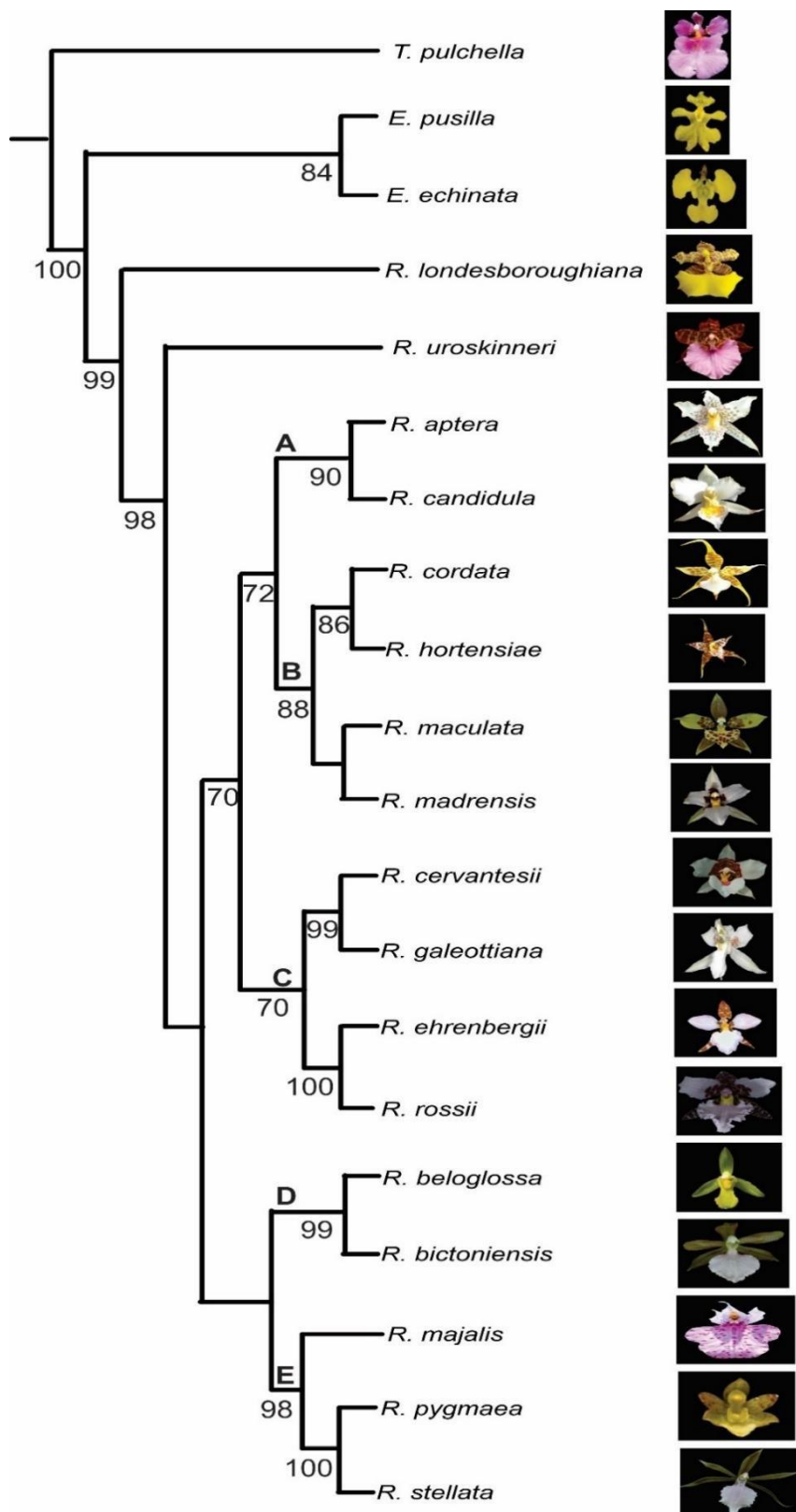
Se obtuvo una matriz de 3,105 caracteres moleculares para las 20 especies (Apéndice 1, del carácter 32 al carácter 3,137). El análisis cladístico con este juego de datos recuperó dos AMPs, con longitud de 786 pasos, índice de consistencia de 0.85 e índice de retención de 0.74. El clado que incluye a todas las especies de *Rhynchosstele* tiene un soporte de Bootstrap de 84% (Fig. 6). El árbol que se muestra se eligió con base en el criterio de congruencia taxonómica entre los árboles obtenidos de los tres análisis. En dicho árbol se observan cinco grupos el **A** conformado por *R. aptera* y *R. candidula* (con un soporte de Bootstrap de 70%); el **B** conformado por *R. cordata*, *R. hortensiae*, *R. maculata* y *R. madrensis* (con un soporte de Bootstrap de 56%); el **C** conformado por *R. galeottiana*, *R. cervantesii*, *R. ehrenbergii* y *R. rossii*; el **D** conformado por *R. uroskinneri*, *R. beloglossa*, y *R. bictoniensis*; mientras que el grupo **E** está conformado por *R. majalis*, *R. pygmaea* y *R. stellata*; cabe mencionar que estos tres últimos grupos no presentaron soporte de Bootstrap mayor a 50%.



**Figura 6.** Árbol dos de dos obtenido del análisis cladístico con la matriz de caracteres moleculares con los marcadores 18S, *psbA* y *ycf1*. Los números, debajo de las líneas, indican los valores de soporte de Bootstrap.

## Análisis filogenético de evidencia total

Se obtuvo una matriz de evidencia total de 3,137 caracteres que incluye los dos juegos de datos, tanto morfológicos como moleculares para las 20 especies. Este análisis recuperó un AMP, con longitud de 939 pasos, índice de consistencia de 0.7 e índice de retención de 0.6. El clado que incluye a todas las especies de *Rhynchosetele* presenta un valor de soporte de Bootstrap de 99% (Fig. 7). En dicho árbol se observan cinco grupos, todos ellos con valores altos de soporte de Bootstrap: el grupo **A** conformado por las especies *R. aptera* y *R. candidula* (con un soporte de Bootstrap de 90%); el grupo **B** conformado por *R. cordata*, *R. hortensiae*, *R. maculata* y *R. madrensis* (con un soporte de Bootstrap de 88%); el grupo **C** conformado por *R. cervantesii*, *R. galeottiana*, *R. ehrenbergii* y *R. rossii* (con un soporte de Bootstrap de 70%); el grupo **D** conformado por *R. beloglossa* y *R. bictoniensis* (con un soporte de Bootstrap de 99%); mientras que el grupo **E** está conformado por *R. majalis*, *R. pygmaea* y *R. stellata* (con un soporte de Bootstrap de 98%).



**Figura 7.** Único árbol obtenido del análisis cladístico con la matriz de evidencia total. Los números, debajo de las líneas, indican los valores de soporte de Bootstrap.

## **Relaciones filogenéticas de las especies**

Los análisis, con datos moleculares y el de evidencia total, mostraron una alta congruencia taxonómica al recuperar los mismos cinco grupos con las mismas especies, situación que no ocurre con el análisis morfológico. Lo que sí podemos observar es que en los tres análisis la ubicación basal de *R. londesboroughiana* se mantiene constante.

La principal diferencia entre el análisis individual (datos morfológicos y datos moleculares) y el de evidencia total es la ubicación de *R. beloglossa* y de *R. pygmaea*, en el primero ambas especies están en posición sub basal, mientras que en los segundos se ubican en los clados **D** (con *R. bictoniensis*) y **E** (con *R. majalis* y *R. stellata*) respectivamente. Una segunda diferencia entre los tres análisis es la ubicación de *R. uroskinneri*, en el análisis de evidencia total tiene una posición sub basal, mientras que en el morfológico se ubica en el clado **E** (con *R. bictonienesis* y *R. majalis*) y en el molecular se ubica en el clado **D** (con *R. beloglossa* y *R. bictoniensis*).

Otras diferencias que se pueden observar entre el análisis morfológico y los análisis molecular y de evidencia total es la ubicación de *R. maculata* y de *R. stellata*. En el morfológico *R. maculata* es grupo hermano de *R. stellata* (clado **C**), mientras que, en el análisis molecular y de evidencia total es grupo hermano de *R. madrensis* (clado **B**). En los análisis, molecular y de evidencia total *R. stellata* es grupo hermano de *R. pygmaea* (clado **E**).

## **Caracteres morfológicos compartidos entre las especies**

En este apartado se describen los caracteres compartidos por los grupos obtenidos tomando en cuenta, únicamente el árbol obtenido en el análisis de evidencia total, debido a que resume muy bien los resultados obtenidos en los otros dos análisis. Con base en el análisis de evidencia total las sinapomorfías que definen a *Rhynchostele* como un grupo monofilético son: el incremento en el largo de la hoja y del pedúnculo (caracteres 2 y 4), así como la presencia de ornamentación en los sépalos (carácter 18). En este análisis, se pueden reconocer cinco grupos: el grupo **A** comprende a las especies: *R. aptera* y *R. candidula*, las cuales comparten los siguientes caracteres: un incremento en el largo de los pétalos cambiando el estado de carácter de 1 a 2 (carácter 8) y presentar hojas opuestas (carácter 11); El grupo **B** integrado por: *R. cordata*, *R. hortensiae*, *R. maculata* y *R. madrensis*, comparte el ápice de los pétalos acuminado (carácter 27); el grupo **C** comprende a *R. cervantesii*, *R. galeottiana*, *R. ehrenbergii* y *R. rossii*, quienes comparten los siguientes caracteres: el incremento en el tamaño de la planta con un cambio de estado de carácter de 1 a 2 (carácter 1); el aumento en el largo de las hojas de 1 a 2 (carácter 2); la reducción en el tamaño de la inflorescencia del estado de carácter 3 al 2 (carácter 3) y tener el pseudobulbo sin lámina (carácter 13); el grupo **D** incluye a *R. beloglossa* y *R. bictoniensis*, y se caracterizan por los siguientes caracteres: reducción de la longitud de las flores de 2 a 1 (carácter 5); reducción del largo del sépalo dorsal (carácter 6); reducción en el largo de los sépalos laterales (carácter 7) y reducción en el largo de los pétalos (carácter 8), estos tres últimos del estado de carácter 2 al 1. Finalmente, el grupo **E**, compuesto por *R. majalis*, *R. pygmaea* y *R. stellata*, comparten la reducción en el largo de la inflorescencia del carácter 3 al 2 (carácter 3).

Para el caso de *R. cordata* y *R. hortensiae*, los caracteres que se comparten son el incremento de: el tamaño de la planta (carácter 1) y del largo de la inflorescencia (carácter 3), ambos del estado de carácter 2 al 3; del largo del pedúnculo (carácter 4); del largo del sépalo dorsal (carácter 6) y del largo de los sépalos laterales (carácter 7), éstos tres últimos pasando del estado de carácter 1 al 2; además del cambio en el color de los sépalos (carácter 17) de blanco a amarillo, mientras que el carácter que agrupa a *R. maculata* con *R. madrensis* es la reducción en el largo del labelo del estado de carácter 2 al 1 (carácter 9).

Por otro lado, *R. cervantesii* y *R. galeottiana* comparten el incremento en el largo del pedúnculo al estado de carácter 1 (carácter 4) y la presencia de alas en la columna (carácter 30). Los caracteres compartidos entre *R. ehrenbergii* y *R. rossii* son: la reducción en el largo de la inflorescencia de 3 a 1 (carácter 3); la reducción en el largo del pedúnculo del estado de carácter 2 al 1 (carácter 4) y el cambio en la forma de los pétalos de obovada a angostamente oblonga (carácter 26). Finalmente, los caracteres que comparten *R. pygmaea* con *R. stellata* son la reducción en: el tamaño de la planta (carácter 1); del largo de la hoja (carácter 2) y del largo de la inflorescencia (carácter 3), estos tres últimos presentando un cambio en el estado de carácter de 3 a 2; y del largo del pedúnculo pasando del estado de carácter 2 al 1 (carácter 4), así como también la ausencia de la lámina en la vaina del pseudobulbo (carácter 13).

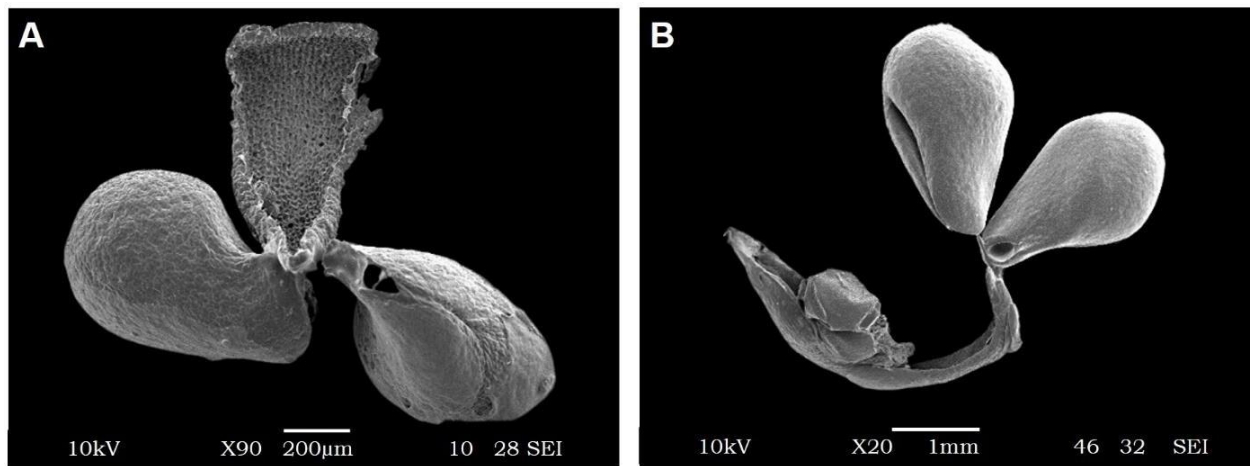
Únicamente en tres especies se identificaron autapomorfías. En *R. majalis* el incremento en: el largo del pedúnculo (carácter 4) y de la longitud de las flores (carácter 5) pasando del estado de carácter 1 al 2; y del largo del labelo al estado de carácter 1 (carácter 9), así como sépalos (carácter 17) y pétalos (carácter 24) rosas. En el caso de

*R. londesboroughiana* presenta un incremento en: el tamaño de la planta al estado de carácter 3 (carácter 1) y en el largo de la hoja al estado de carácter 2 (carácter 2), mientras que presenta una reducción en la longitud de las flores al estado 1 (carácter 5) y un cambio en la forma del callo de laminar a cimbiforme (carácter 31). Finalmente, *R. uroskinneri*, presenta un incremento en: el largo de la inflorescencia del estado de carácter 2 al 3 (carácter 3); del largo del pedúnculo del estado 1 al 2 (carácter 4) y del largo del labelo al estado 1 (carácter 9), así como también, por el cambio en la forma de los pétalos de obovada a ovada (26).

### **Morfología del polinario**

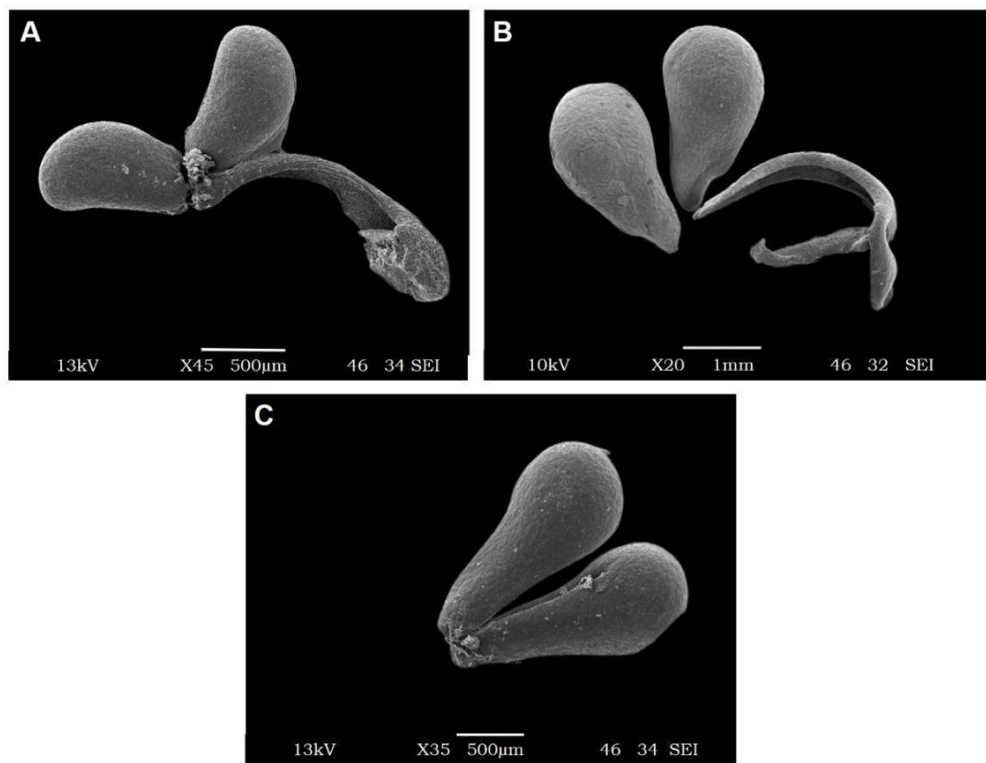
De las estructuras analizadas del polinario se obtuvieron 10 caracteres, de los cuales cinco fueron cualitativos y cinco fueron cuantitativos (Tabla 6). A continuación, se describe la variación encontrada en cada uno de los caracteres analizados.

**Longitud del polinario:** El largo varió desde 1.06 mm (*R. pygmaea*) hasta 7.3 mm (*R. candidula*) (Fig. 8).



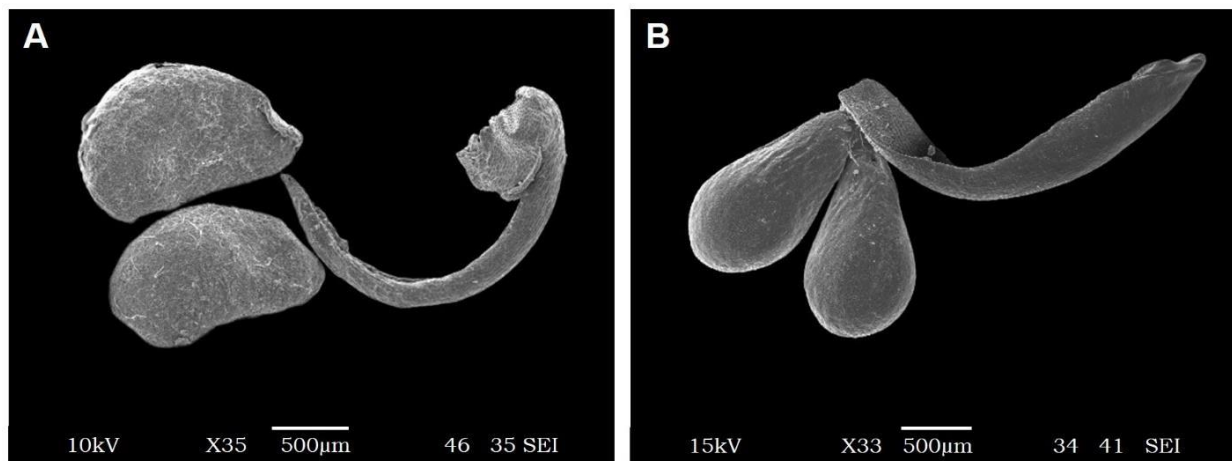
**Figura 8.** Vista completa del polinario. A) *R. pygmaea*; B) *R. candidula*.

**Forma del polinio:** Este carácter presentó tres estados de carácter: semielíptico, obovado y obpiriforme (Fig. 9).



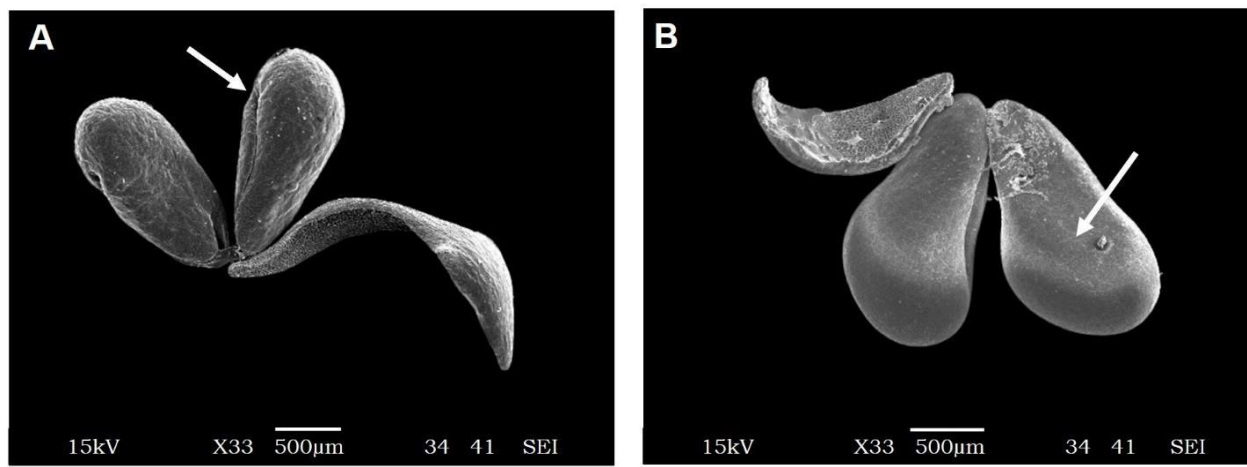
**Figura 9.** Variación de la forma del polinio: A) semielíptico (*R. stellata*), B) obovado (*R. aptera*) y C) obpiriforme (*R. uroskinneri*).

**Vista dorsiventral del polinio:** Este carácter presentó dos estados de carácter: aplanado y globular (Fig. 10).



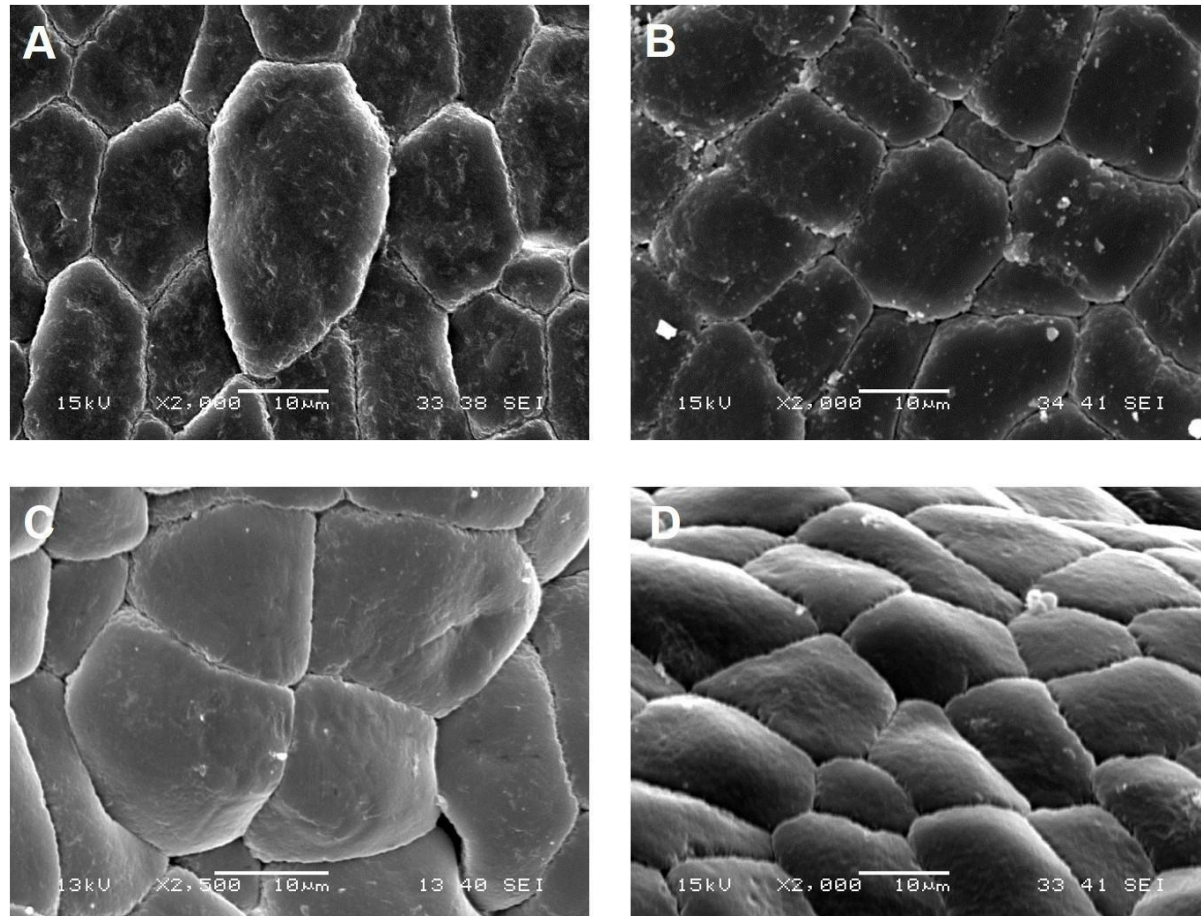
**Figura 10.** Variación en la vista dorsiventral de los polinios. A) Aplanado (*R. majalis*) y B) globular (*R. ehrenbergii*).

**Forma del sulco de los polinios:** Este atributo presentó dos estados de carácter: linear y amplio, este último más parecido a un hundimiento (Fig. 11).



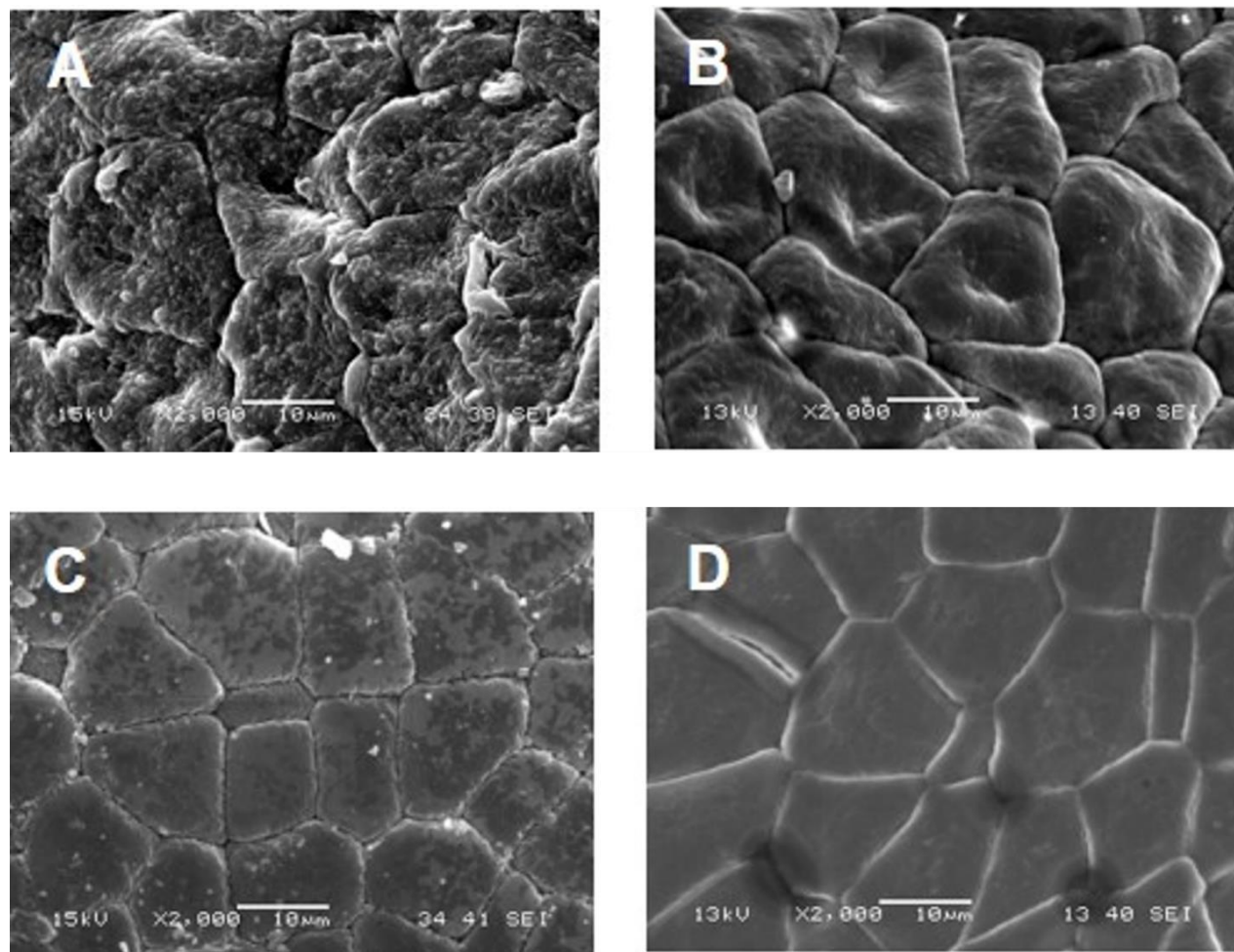
**Figura 11.** Forma del sulco. A) Linear (*R. cervantesii*), y B) amplio (*R. maculata*).

**Forma de la tétrada:** La relación largo:ancho de la tétrada permitió reconocer cuatro estados de carácter en este rasgo: anchamente poligonal (a), poligonal isodiamétrica (b), poligonal alargada (c) y poligonal (d) (Fig. 12).



**Figura 12.** Forma de las tétradas. A) tétradas poligonales alargadas (*R. madrensis*), B) tétradas anchamente poligonales (*R. ehrenbergii*), C) tétradas poligonales isodiamétricas (*R. galeottiana*) y D) tétradas poligonales (*R. cordata*).

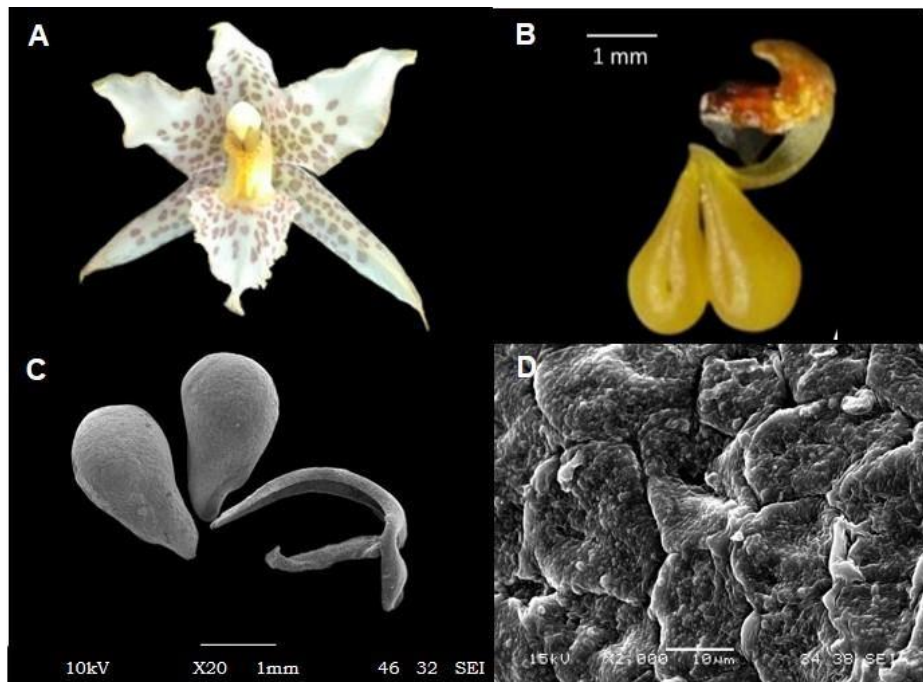
**Ornamentación en la superficie de las tétradas:** Para este carácter se describieron cuatro estados de carácter: granulosa, foveada, punctulada y glabrescente (Fig. 13).



**Figura 13.** Ornamentación de la superficie de las tétradas. A) Granulosa (*R. aptera*), B) foveada (*R. londesboroughiana*), C) punctulada (*R. maculata*) y D) glabrescente (*R. bictoniensis*).

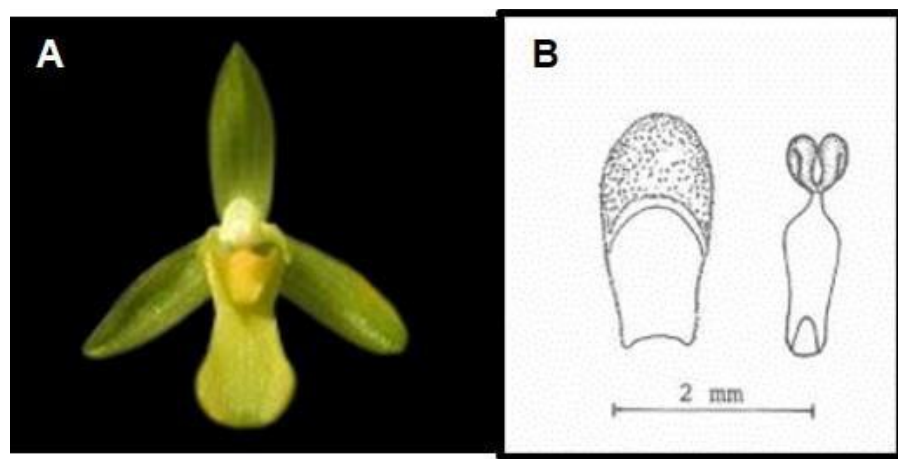
## Descripción de la Morfología del polinario de las especies de *Rhynchostele*

***Rhynchostele aptera*.** Polinario de 6.8 mm de largo. Polinios de 2.4 x 1.3 mm, obovados, en vista dorsiventral aplanado en el tercio basal; sulco amplio. Tétradas poligonales alargadas, de 24.4 x 15.9  $\mu\text{m}$ , superficie granulosa (Fig. 14).



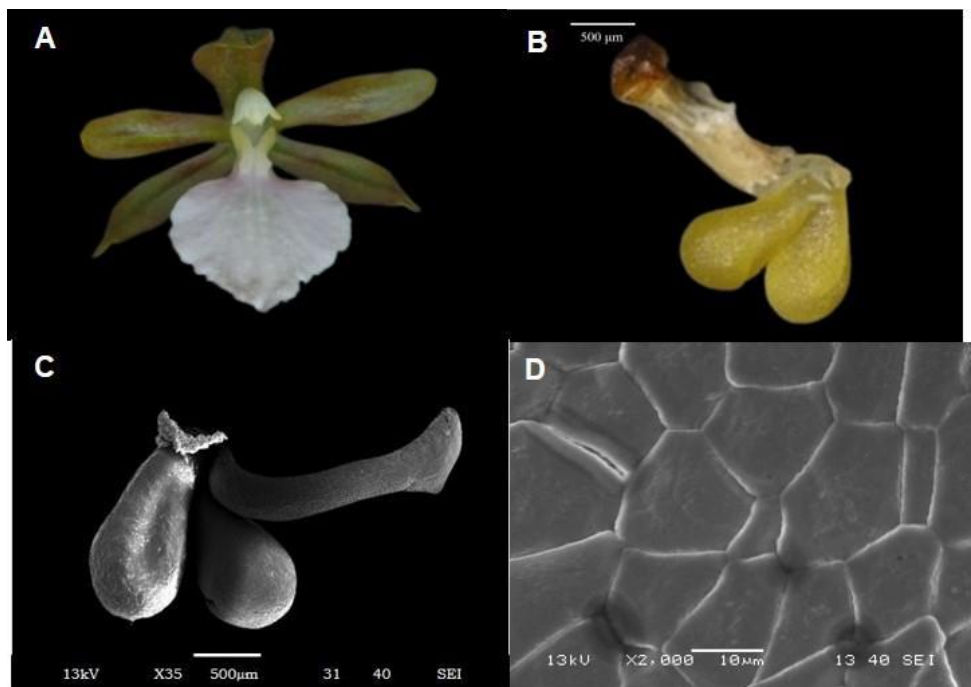
**Figura 14.** *Rhynchostele aptera*. A) flor fresca. B) polinario observado con microscopio estereoscópico; C) polinario observado en MEB; D) superficie granulosa de las tétradas observada en MEB.

***Rhynchostele beloglossa*.** Polinario de 2.2 mm de largo. Polinios de 0.7 x 0.3 mm, obovados, en vista dorsiventral aplanado en el tercio basal; sulco amplio. Tomado de Jiménez y Dressler (2002) (Fig. 15).



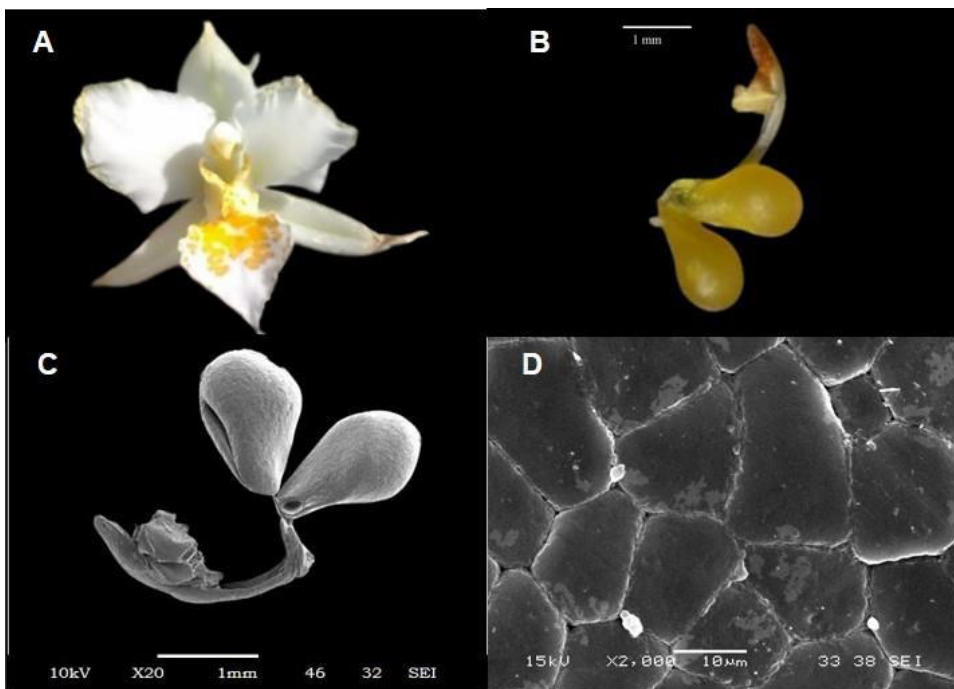
**Figura 15.** *Rhynchosetele beloglossa*. A) flor fresca; B) esquema del polinario. Tomado de Jiménez y Dressler (2002).

***Rhynchosetele bictoniensis*.** Polinario de 3.8 mm de largo. Polinios de 1.2 x 0.6 mm, obpiriformes, en vista dorsiventral globoso; sulco linear. Tétradas anchamente poligonales, de 17.29 x 18.24  $\mu\text{m}$ , superficie glabrescente (Fig. 16).



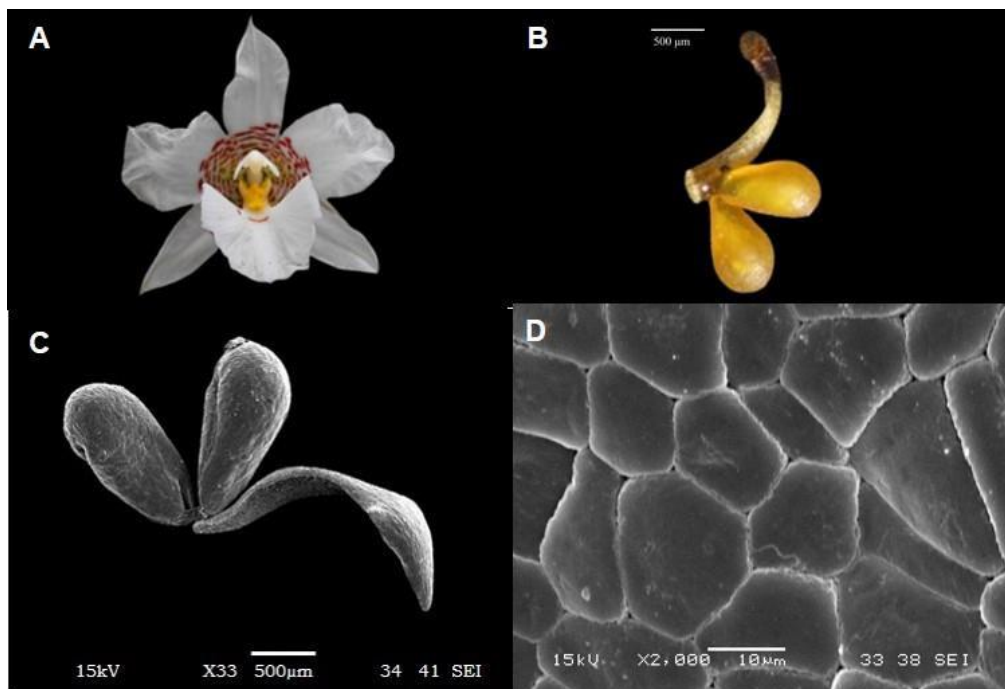
**Figura 16.** *Rhynchosstele bictoniensis*. A) Flor fresca; B) polinario observado con microscopio estereoscópico; C) polinario observado en MEB. D) superficie glabrescente de las tétradas observada en MEB.

***Rhynchosstele candidula*.** Polinario de 7.3 mm de largo. Polinios de 2.2 x 1.3 mm, obovados, en vista dorsiventral globosos; sulco amplio. Tétradas poligonales, de 23 x 14.4 µm, superficie glabrescente (Fig. 17).



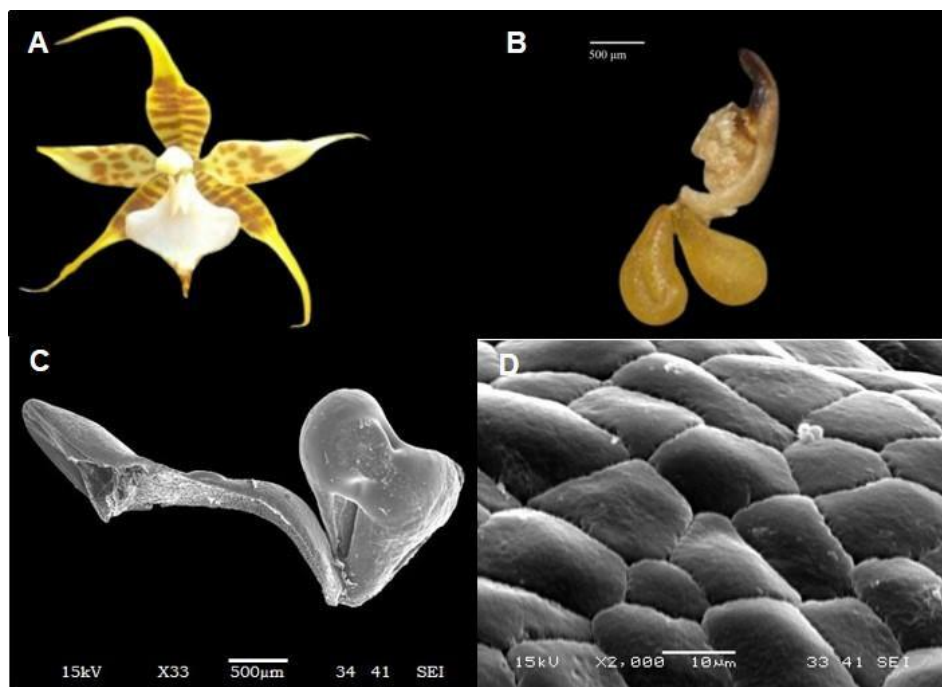
**Figura 17.** *Rhynchosstele candidula*. A) Flor fresca; B) polinario observado con microscopio estereoscópico; C) polinario observado en MEB; D) superficie glabrescente de las tétradas observada en MEB.

***Rhynchosstele cervantesii*.** Polinario de 4.1 mm de largo. Polinios de 1.3 x 0.6 mm, obpiriformes, en vista dorsiventral globosos; sulco linear. Tétradas poligonales isodiamétricas, de 16.7 x 14.9  $\mu\text{m}$ , superficie glabrescente (Fig. 18).



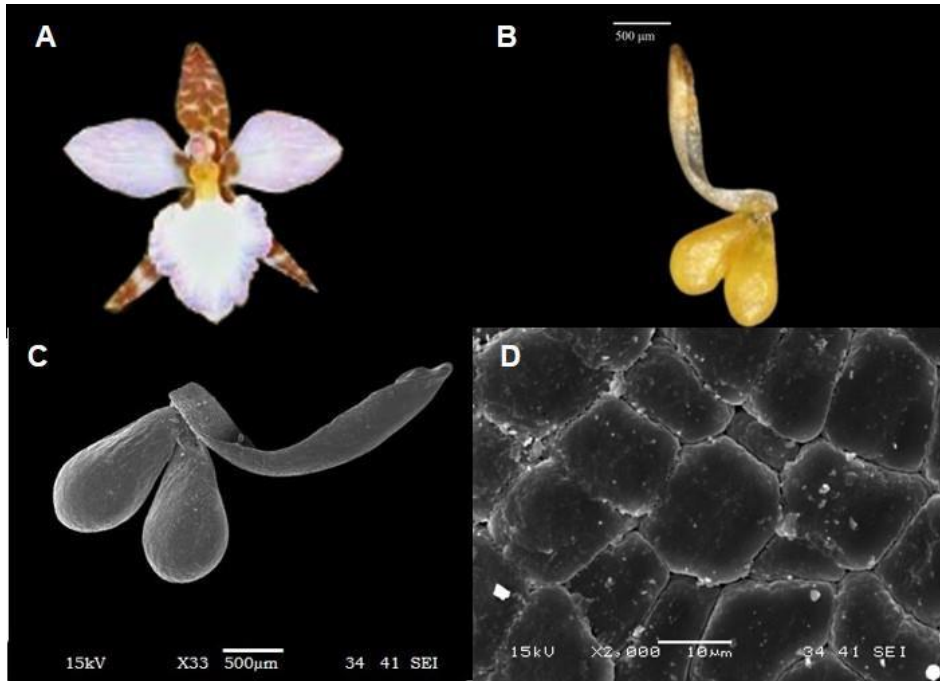
**Figura 18.** *Rhynchosstele cervantesii*. A) Flor fresca; B) polinario observado con microscopio estereoscópico; C) polinario observado en MEB; D) superficie glabrescente de las tétradas observada en MEB.

***Rhynchosstele cordata***. Polinario de 4.9 mm de largo. Polinios de 1.5 x 0.7 mm, obpiriformes, en vista dorsiventral globosos; sulco linear. Tétradas poligonales, de 18.3 x 11.3 µm, superficie glabrescente (Fig. 19).



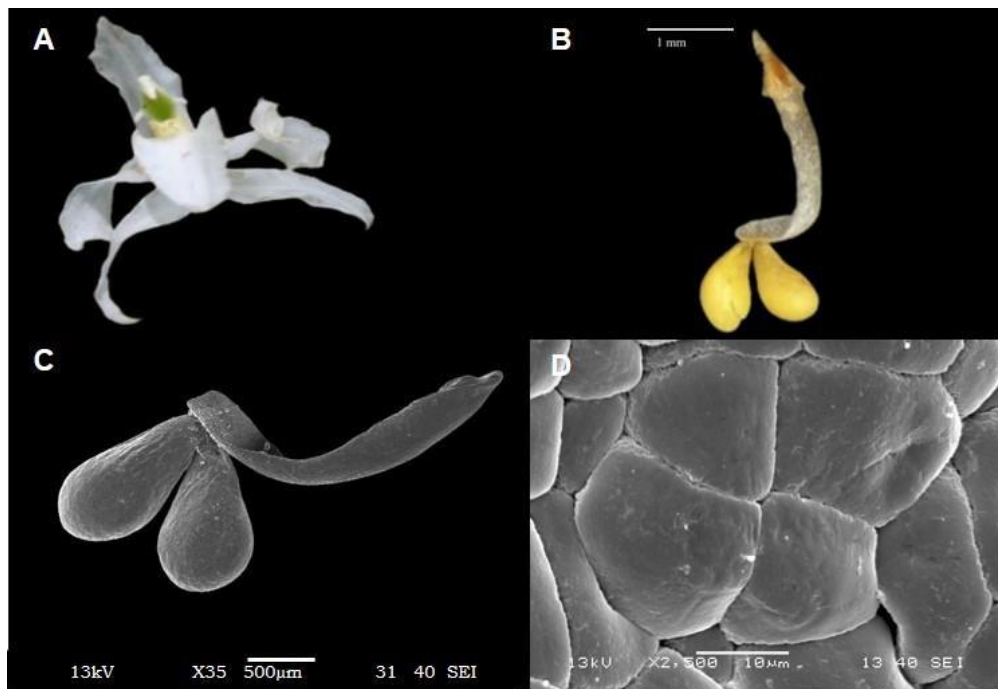
**Figura 19.** *Rhynchostele cordata*. A) Flor fresca; B) polinario observado con microscopio estereoscópico; C) polinario observado en MEB; D) superficie glabrescente de las tétradas observada en MEB.

***Rhynchostele ehrenbergii*.** Polinario de 4.3 mm de largo. Polinios de 1.3 x 0.7 mm, obovados, en vista dorsiventral globosos; sulco linear. Tétradas poligonales isodiamétricas, de 17.2 x 14.3 µm, superficie glabrescente (Fig. 20).



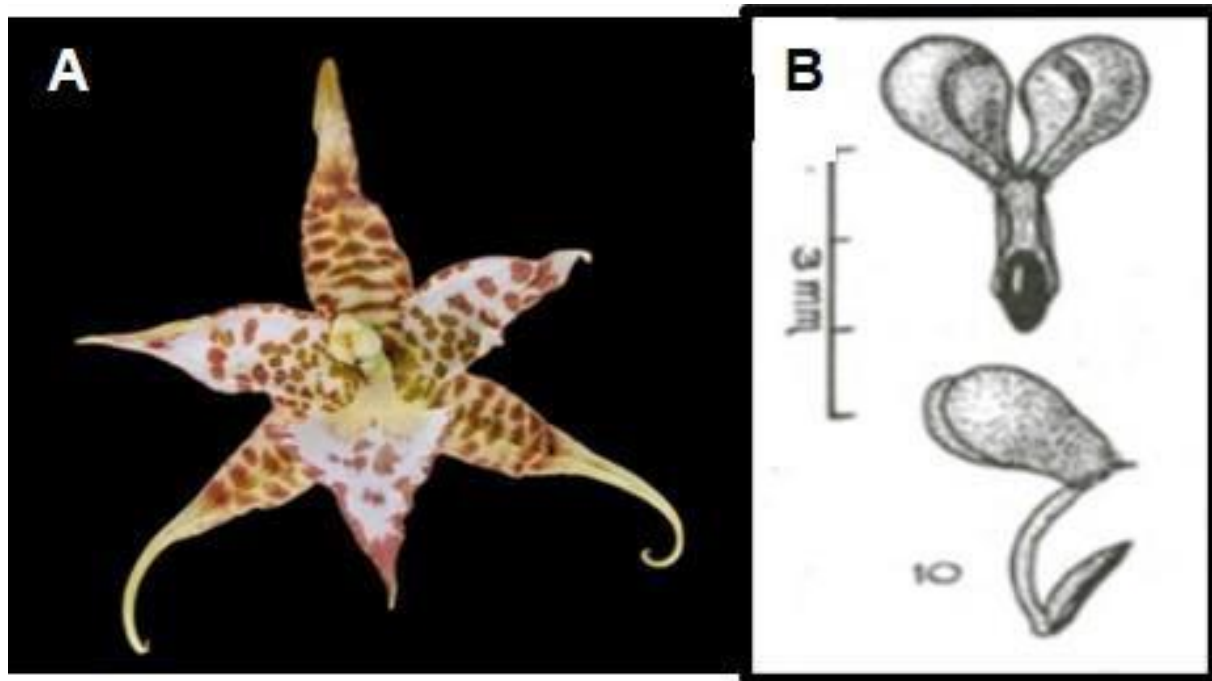
**Figura 20.** *Rhynchosstele ehrenbergii*. A) Flor fresca; B) polinario observado con microscopio estereoscópico; C) polinario observado en MEB; D) superficie glabrescente de las tétradas observada en MEB.

***Rhynchosstele galeottiana***. Polinario de 3.7 mm de largo. Polinios de 1.4 x 0.8 mm de ancho, obpiriformes, en vista dorsiventral globosos; sulco linear. Tétradas anchamente poligonales, de 16.72 x 17.7  $\mu\text{m}$  de ancho, superficie glabrescente (Fig. 21).



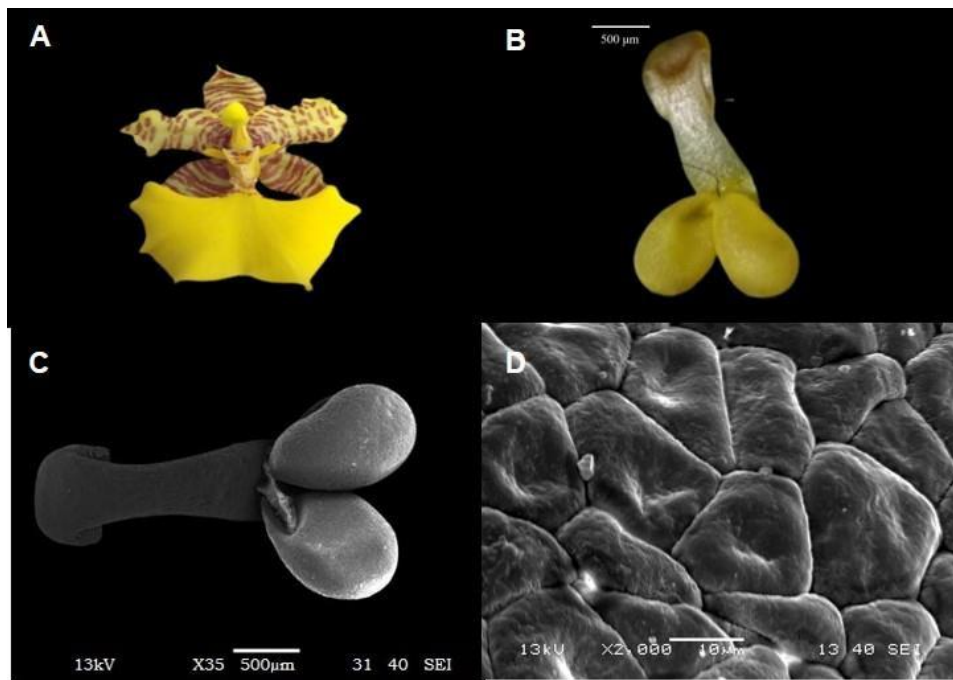
**Figura 21.** *Rhynchosstele galeottiana*. A) Flor fresca; B) polinario observado con microscopio estereoscópico; C) polinario observado en MEB; D) superficie glabrescente de las tétradas observada en MEB.

***Rhynchosstele hortensiae***. Polinario de 3.4 mm de largo. Polinios de 1.7 x 1.1 mm, obovados, en vista dorsiventral globosos; sulco amplio. Tomado de Rodríguez (1979) (Fig. 22).



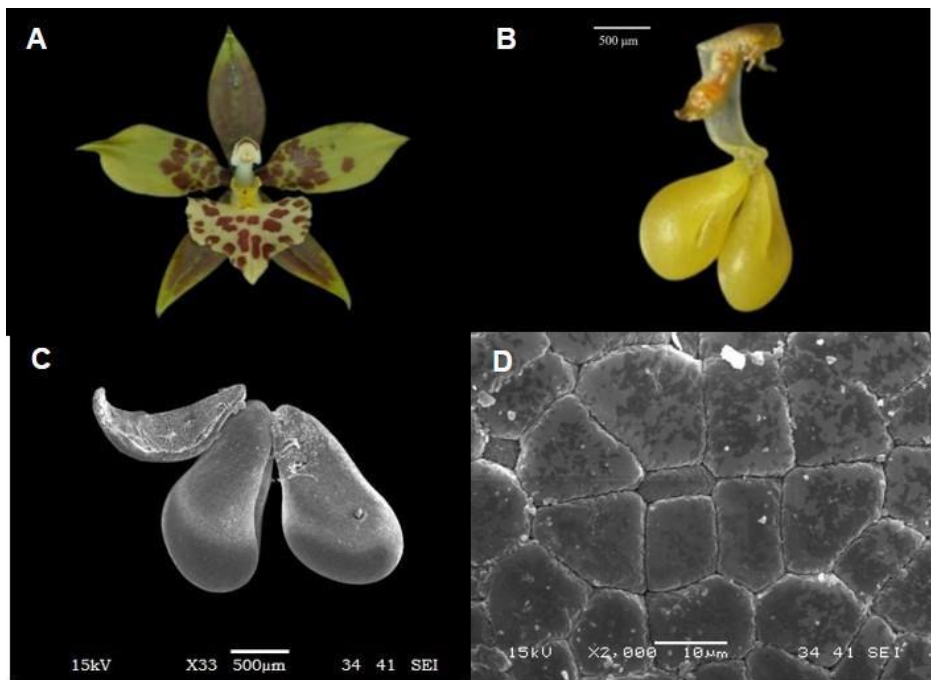
**Figura 22.** *Rhynchosstele hortensiae*. A) Flor fresca; B) esquema del polinario tomado de Halbinger (1982).

***Rhynchosstele londesboroughiana*.** Polinario de 2.6 mm de largo. Polinios de 1.1 x 0.8 mm, obovados, en vista dorsiventral aplanado en el tercio basal; sulco linear. Tétradas poligonales isodiamétricas, de 19.53 x 17.45  $\mu\text{m}$ , superficie foveada (Fig. 23).



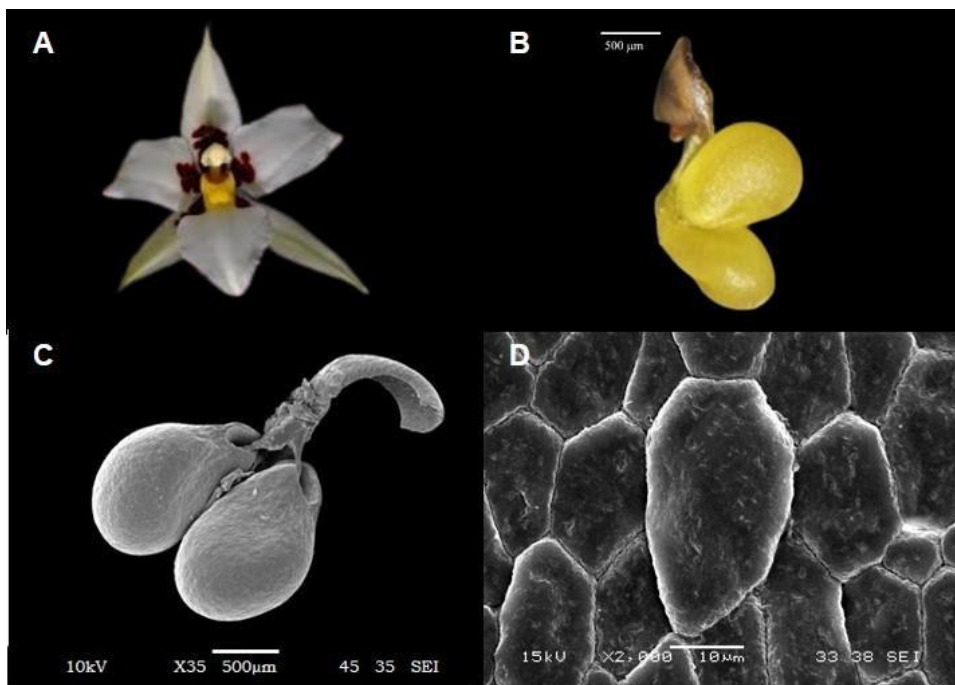
**Figura 23.** *Rhynchosstele londesboroughiana*. A) Flor fresca; B) polinario observado con microscopio estereoscópico; C) polinario observado en MEB; D) superficie foveada de las tétradas observada en MEB.

***Rhynchosstele maculata***. Polinario de 2.8 mm de largo. Polinios de 1.3 x 0.7 mm, obpiriformes, en vista dorsiventral globosos; sulco amplio. Tétradas poligonales alargadas, de 16.8 x 11.2 µm, superficie punctulada (Fig. 24).



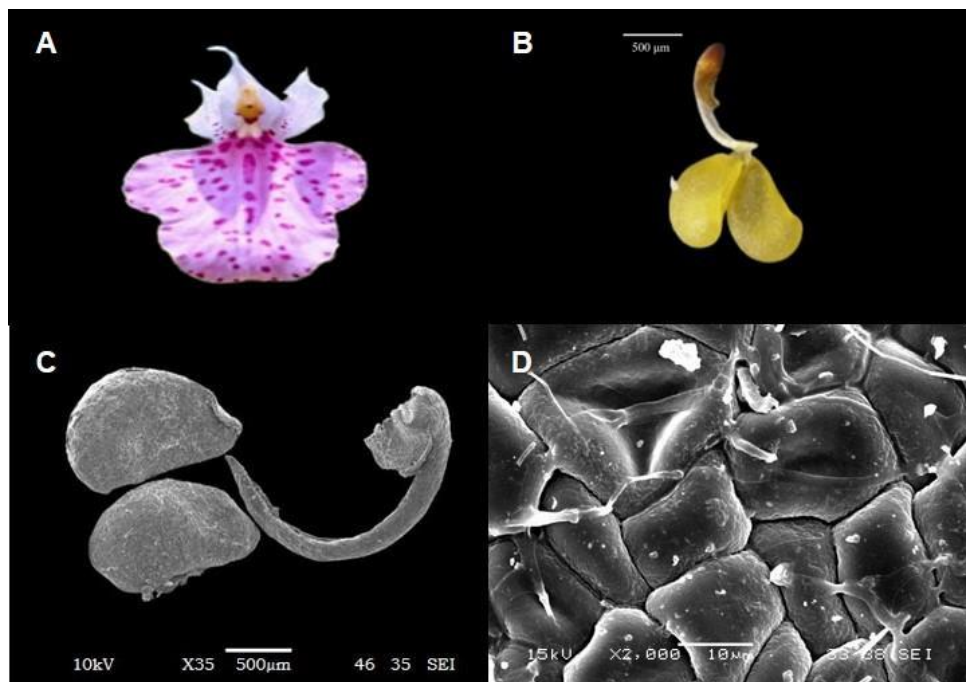
**Figura 24.** *Rhynchostele maculata*. A) Flor fresca; B) polinario observado con microscopio estereoscópico; C) polinario observado en MEB; D) superficie punctulada de las tétradas observada en MEB.

***Rhynchostele madrensis*.** Polinario de 2.8 mm de largo. Polinios de 1.2 x 0.8 mm, semielípticos, en vista dorsiventral aplanado en el tercio basal; sulco linear. Tétradas poligonales isodiamétricas, de 21.6 x 17.1 µm, superficie glabrescente (Fig. 25).



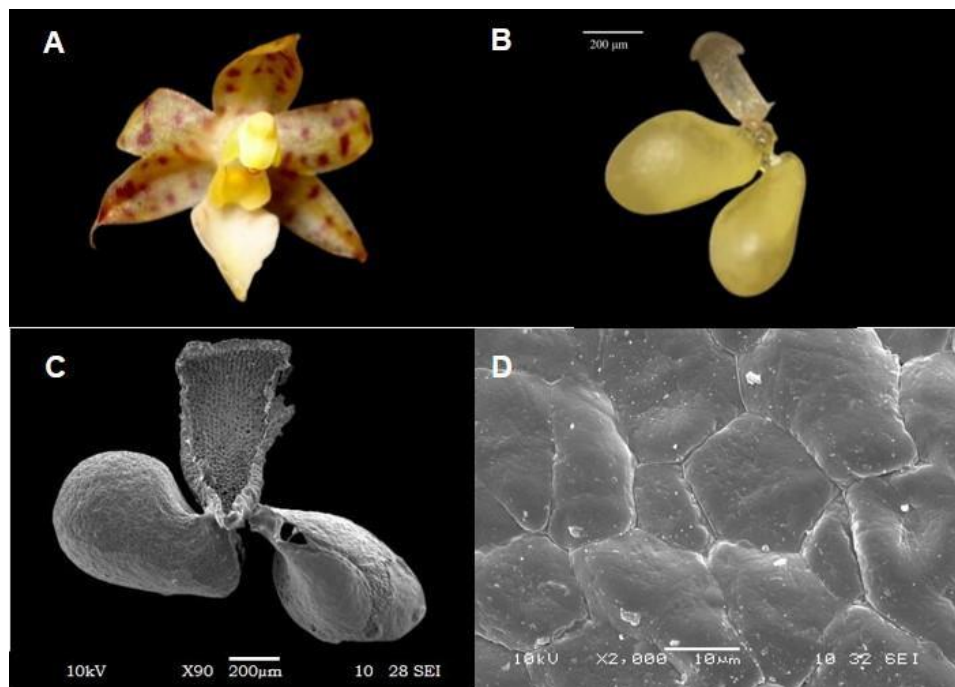
**Figura 25.** *Rhynchosstele madrensis*. A) Flor fresca; B) polinario observado con microscopio estereoscópico; C) polinario observado en MEB; D) superficie glabrescente de las tétradas observada en MEB.

***Rhynchosstele majalis***. Polinario de 3.8 mm de largo. Polinios de  $1.1 \times 0.7$  mm, obovados, en vista dorsiventral aplanado en el tercio basal; sulco linear. Tétradas anchamente poligonales, de  $20.3 \times 21.8$  µm, superficie foveada (Fig. 26).



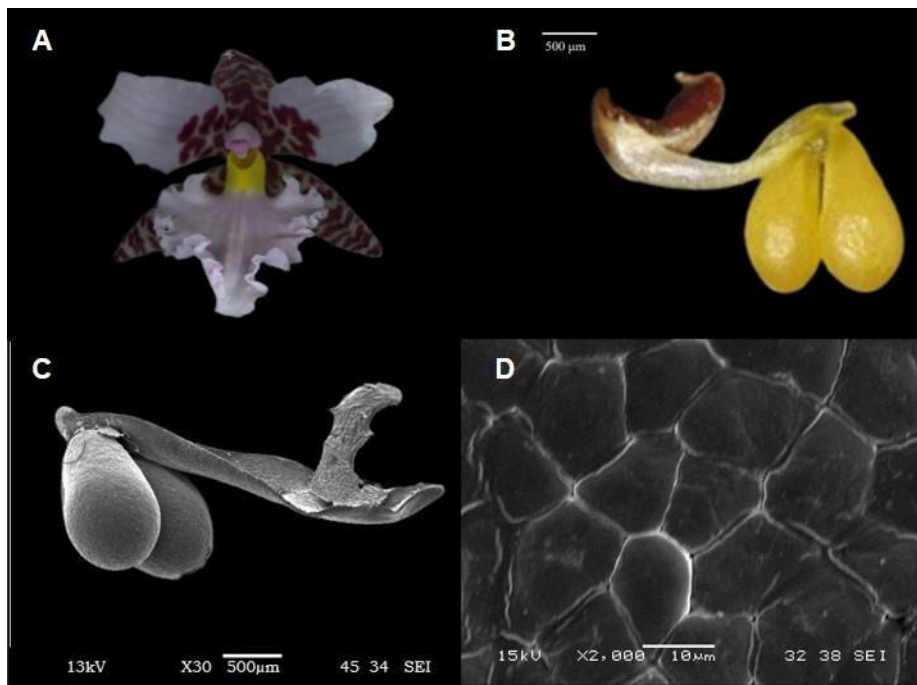
**Figura 26.** *Rhynchostele majalis*. A) Flor fresca; B) polinario observado con microscopio estereoscópico; C) polinario observado en MEB; D) superficie foveada de las tétradas observada en MEB.

***Rhynchostele pygmaea*.** Polinario de 1.06 mm de largo. Polinios de 0.5 x 0.3 mm, obovados, en vista dorsiventral globosos; sulco linear. Tétradas poligonales alargadas, de 23.3 x 16.2 µm, superficie glabrescente (Fig. 27).



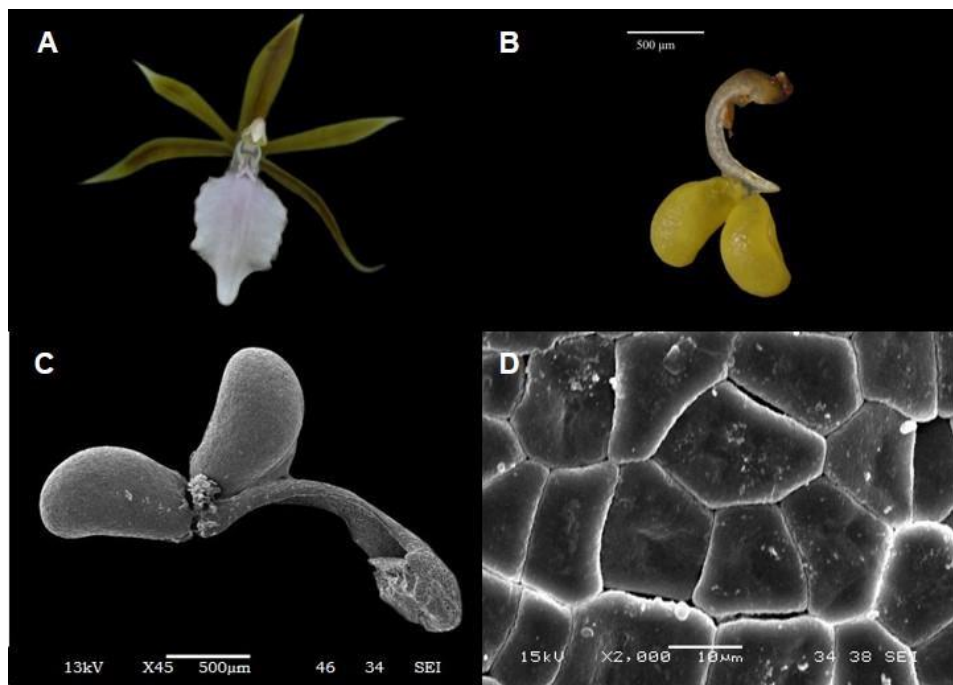
**Figura 27.** *Rhynchosstele pygmaea*. A) Flor fresca; B) polinario observado con microscopio estereoscópico; C) polinario observado en MEB; D) superficie glabrescente de las tétradas observada en MEB.

***Rhynchosstele rossii*.** Polinario de 5.4 mm de largo. Polinios de 1.3 x 0.8 mm, obovados, en vista dorsiventral globosos; sulco linear. Tétradas anchamente poligonales, de 14.4 x 16.7 µm, superficie glabrescente (Fig. 28).



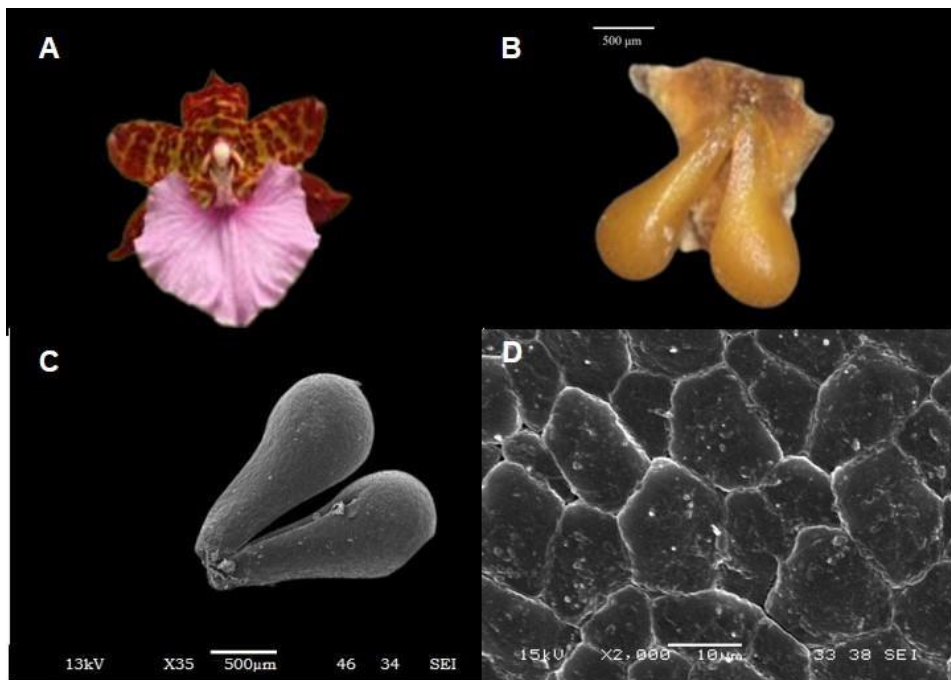
**Figura 28.** *Rhynchosstele rossii*. A) Flor fresca; B) polinario observado con microscopio estereoscópico; C) polinario observado en MEB; D) superficie glabrescente de las tétradas observada en MEB.

***Rhynchosstele stellata*.** Polinario de 3 mm de largo. Polinios de 0.9 x 0.5 mm, semielípticos, en vista dorsiventral globoso; sulco linear. Tétradas anchamente poligonales, de 16.7 x 16.5 µm, superficie foveada (Fig. 29).



**Figura 29.** *Rhynchosstele stellata*. A) Flor fresca; B) polinario observado con microscopio estereoscópico; C) polinario observado en MEB; D) superficie foveada de las tétradas observada en MEB.

***Rhynchosstele uroskinneri*.** Polinario de 4 mm de largo. Polinios de 1.8 x 0.8 mm, obpiriforme, en vista dorsiventral globoso; sulco amplio. Tétradas poligonales alargadas, de 17.7 x 12.8 µm, superficie glabrescente (Fig. 30).



**Figura 30.** *Rhynchosstele uroskinneri*. A) Flor fresca; B) polinario observado con microscopio estereoscópico; C) polinario observado en MEB; D) superficie glabrescente de las tétradas observada en MEB.

## Evolución de caracteres

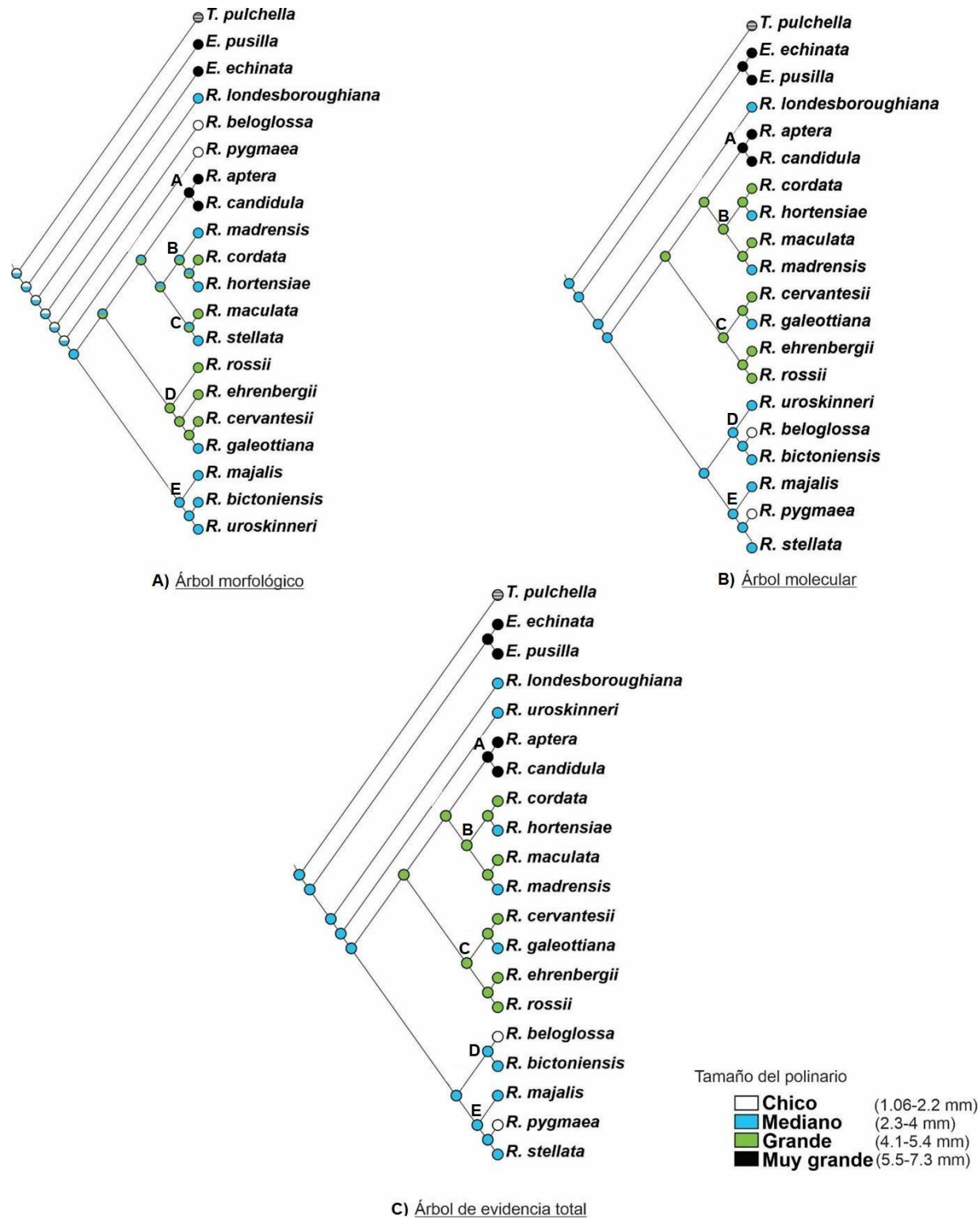
Es importante mencionar que de los 10 caracteres de la morfología del polinario que fueron optimizados en las tres filogenias obtenidas, cuatro mostraron tendencias evolutivas muy similares, en cada una de las hipótesis evolutivas utilizadas, por lo que se describen a continuación:

### Tamaño del polinario

**Análisis morfológico.** Esta hipótesis sugiere que el estado ancestral del tamaño del polinario es mediano (2.3-4 mm) y se presenta en la especie basal del género *R. londesboroughiana* y permanece en el clado E. La serie transformacional de este

carácter presenta tres: el primero es la reducción del tamaño del polinario a chico (1.06-2.2 mm) en dos eventos independientes representados en *R. beloglossa* y *R. pygmaea*, ambos con posición basal; el segundo ocurre en el clado **D** como una novedad evolutiva, el cambio de tamaño es a grande (4.1-5.4 mm), con la excepción de *R. galeottiana* que presenta una reversión al estado ancestral; el tercer cambio ocurre en el clado **A**, como otra novedad evolutiva, el cambio de tamaño es a muy grande (5.5-7.3 mm). En los clados **B** y **C** la serie transformacional no es clara ya que los estados mediano y grande están representados en las especies que los conforman (Fig. 31).

**Análisis molecular y de evidencia total.** De igual manera que el análisis morfológico, el estado ancestral del tamaño del polinario es mediano, que lo presenta *R. londesboroughiana*, la especie basal del género. Este mismo estado ancestral se conserva en los grupos **D** y **E**, con excepción de *R. beloglossa* y *R. pygmaea*, quienes presentan la novedad evolutiva de reducir el tamaño del polinario a chico como eventos independientes. Por el contrario, en el grupo **A** la serie transformacional fue de mediano - grande - muy grande. En el caso de los grupos **B** y **C** el cambio que va de mediano a grande es más claro, a pesar de que se presentan dos y una reversión respectivamente (Fig 31).

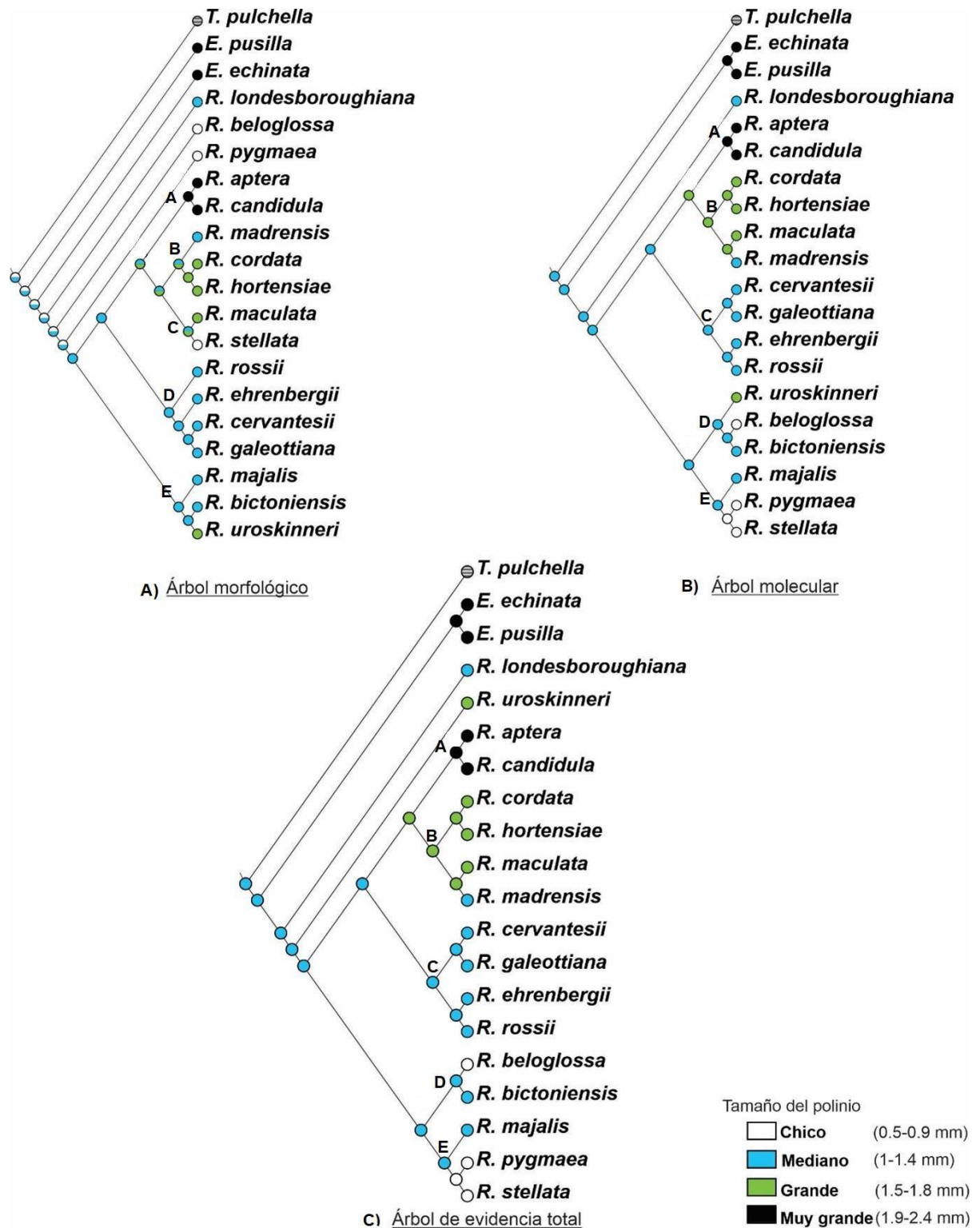


**Figura 31.** Optimización del tamaño del polinario en los árboles morfológico, molecular y de evidencia total. Las tendencias observadas son: por un lado, presentar un aumento en el tamaño del polinario, y por el otro a reducirlo.

## Tamaño del polinio

**Análisis morfológico.** Esta hipótesis sugiere que el estado ancestral del tamaño del polinio es mediano (1-1.4 mm), que lo presenta *R. londesboroughiana*, la especie basal del género, y permanece en los clados **D** y **E**. La serie transformacional de este carácter presenta tres cambios: el primero es la reducción del tamaño del polinario a chico (0.5-0.7 mm) en dos eventos independientes representados en *R. pygmaea* y *R. beloglossa* respectivamente, ambos con posición basal; el segundo ocurre en el clado **A**, como otra novedad evolutiva, el cambio de tamaño es a muy grande (1.9-2.4 mm). En los clados **B** y **C** la serie transformacional nos indica el cambio de mediano a grande (1.5-1.8 mm), sin embargo, se presentan dos reversiones una al estado ancestral y otra al estado chico, respectivamente (Fig. 32).

**Análisis molecular y de evidencia total.** Estas hipótesis sugieren que el estado ancestral del tamaño del polinio es mediano, como lo presenta *R. londesboroughiana*, la especie basal del género. Este mismo estado ancestral se conserva en los grupos **C**, **D** y **E** con excepción de *R. beloglossa* (grupo **D**), *R. pygmaea* y *R. stellata* (grupo **E**), quienes presentan la novedad evolutiva de reducir el tamaño del polinario a chico como eventos independientes; sin embargo, en *R. pygmaea* y *R. stellata* se trata de una homología táxica. Por el contrario, en el grupo **A** la serie transformacional fue de mediano – grande - muy grande. En el caso del grupo **B**, el cambio va de mediano a grande, a pesar de que se presenta una reversión en *R. madrensis* (Fig. 32).



**Figura 32.** Optimización del tamaño del polinio en los árboles morfológico, molecular y de evidencia total. Las tendencias observadas son a aumentar el tamaño del polinio y a reducirlo.

## Forma del polinio

**Análisis morfológico.** Esta hipótesis sugiere que el estado ancestral de la forma del polinio es obovado, presentes en *R. londesboroughiana*, *R. beloglossa* y *R. pygmaea* como especies basales del género. Este estado de carácter se conserva de manera clara en los cinco grupos; sin embargo, el estado semielíptico aparece como eventos independientes en los grupos **B** (*R. madrensis*) y **C** (*R. stellata*); el estado obpiriforme aparece como eventos independientes en los grupos **B** (*R. cordata*), **D** (*R. cervantesii* y *R. galeottiana*) y **E** (*R. bictoniensis* y *R. uroskinneri*), aunque en los dos últimos se presentan como homología táxica (Fig. 33).

**Análisis molecular y de evidencia total.** Al igual que la hipótesis morfológica, el estado ancestral de la forma del polinio es obovada, presente en *R. londesboroughiana*, como especie basal del género. Este estado de carácter se conserva de manera clara en los cinco grupos. El estado semielíptico aparece como eventos independientes en los grupos **B** (*R. madrensis*) y **E** (*R. stellata*); el estado obpiriforme aparece como eventos independientes en los grupos **B** (*R. cordata*), **C** (*R. cervantesii* y *R. galeottiana*) y **D** (*R. uroskinneri* y *R. bictoniensis*), aunque en **C** se presenta como homología táxica (Fig. 33).

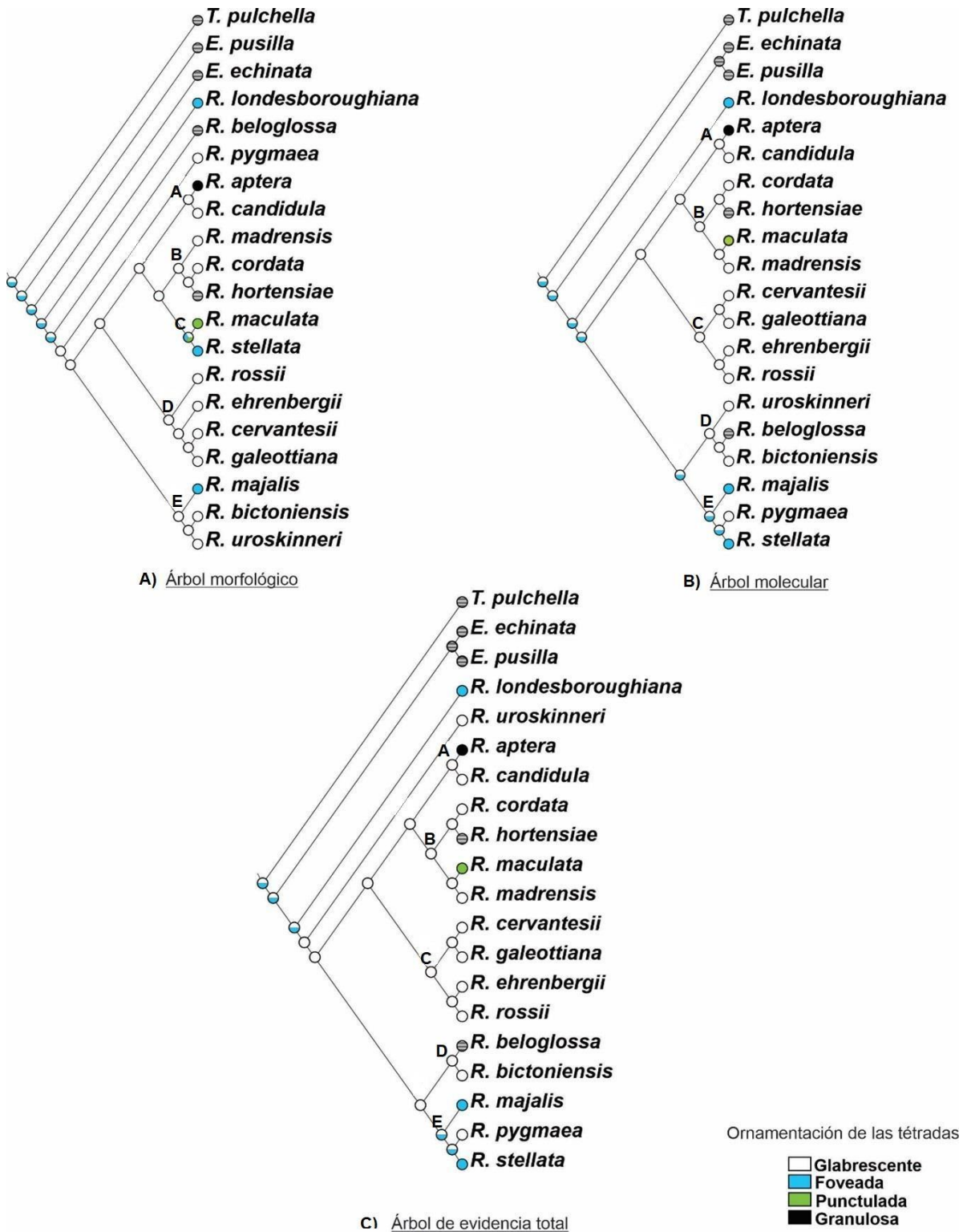


**Figura 33.** Optimización de la forma del polinio en los árboles morfológico, molecular y de evidencia total. Las tendencias observadas fueron de pasar de la forma obovada a obpiriforme y de la forma obovada a semielíptica.

## Ornamentación en la superficie de las tétradas

**Análisis morfológico.** En esta hipótesis, el estado ancestral presenta una superficie glabrescente. Esta condición se conserva en los grupos **A**, **B**, **D** y **E**. Las condiciones granulosa y punctulada se presentan únicamente en el grupo **A** (*R. aptera*) y **C** (*R. maculata*) respectivamente; mientras que la condición foveada se presenta como eventos independientes en *R. londesboroughiana*, **C** (*R. stellata*) y **E** (*R. majalis*), (Fig 34).

**Análisis molecular y de evidencia total.** Al igual que en la hipótesis anterior, el estado ancestral está definido por una superficie foveada, presente en *R. londesboroughiana* como especie basal del género. La condición glabrescente se presenta en los grupos **A-D**; las condiciones granulosa y punctulada únicamente se presenta en los grupos **A** (*R. aptera*) y **B** (*R. maculata*) respectivamente; la condición foveada se observa también en el grupo **E**, con excepción de *R. pygmaea* que presenta una reversión al estado glabrescente (Fig. 34).

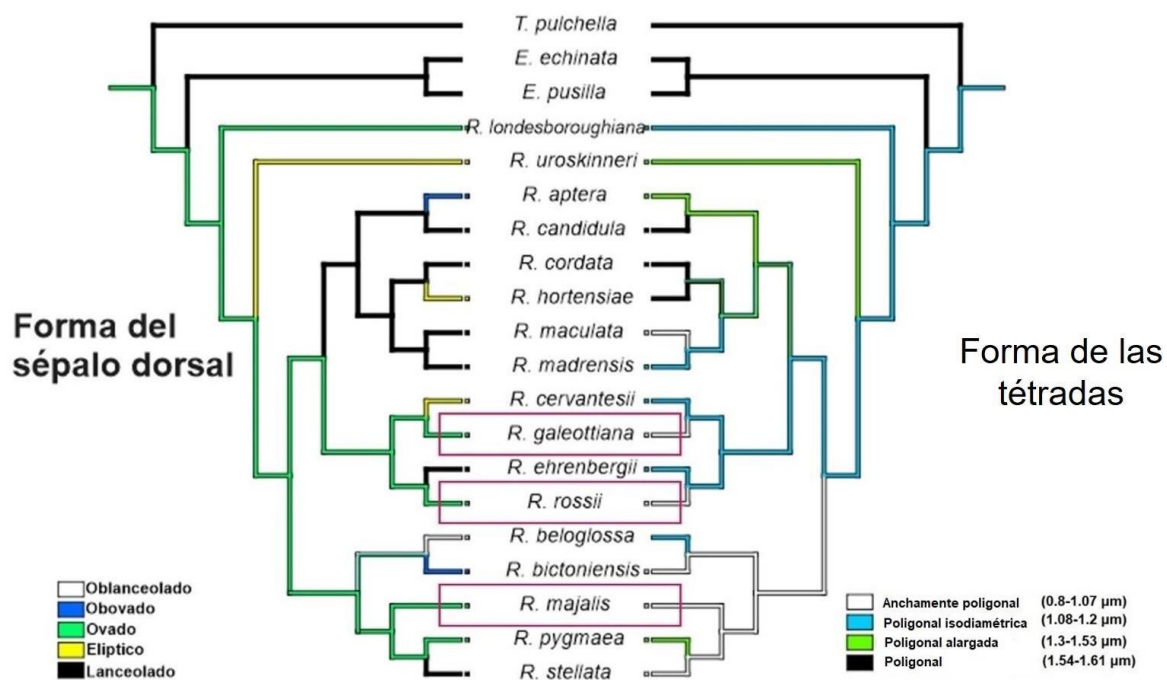


**Figura 34.** Optimización de la ornamentación de las tétradas en los árboles morfológico, molecular y de evidencia total. Se observa que hay una tendencia a presentar una superficie ornamentada.

## Correlación entre caracteres florales y caracteres del polinario

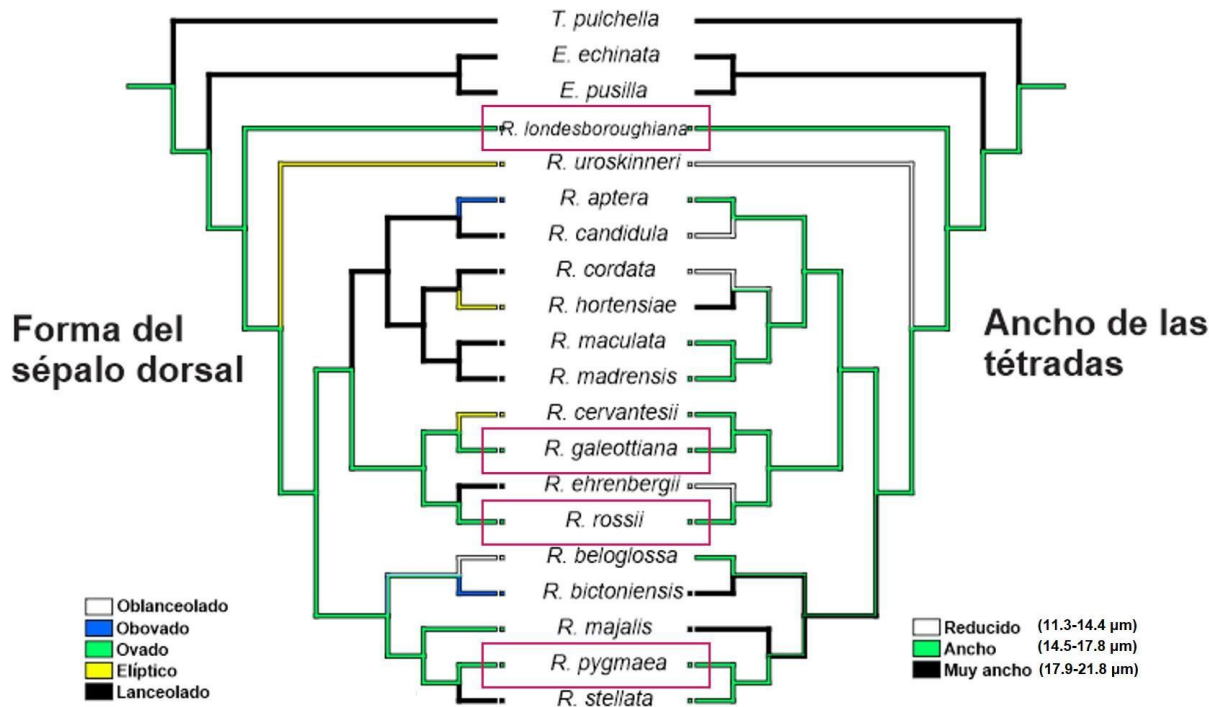
De los cuatro caracteres florales incluidos en el análisis Pairwise comparisions (Maddison, 2000) entre la morfología floral y la morfología del polinario, únicamente la forma del sépalo dorsal presentó una correlación significativa con los siguientes caracteres del polinario: forma de las tétradas (relación largo:ancho de las tétradas;  $p = 0.031$ ), el ancho de las tétradas ( $p = 0.031$ ), el tamaño del polinario ( $p = 0.031$ ) y la forma del polinio (relación largo:ancho del polinio;  $p = 0.031$ ).

**Sépalo dorsal y la relación forma de las tétradas.** Existe una correlación entre el sépalo dorsal ovado (rectángulo verde), con las tétradas anchamente poligonales (rectángulo blanco), la cual ocurre en tres ocasiones: en *R. galeottiana*, en *R. rossii* y en *R. majalis* (recuadro rojo, Fig. 35).



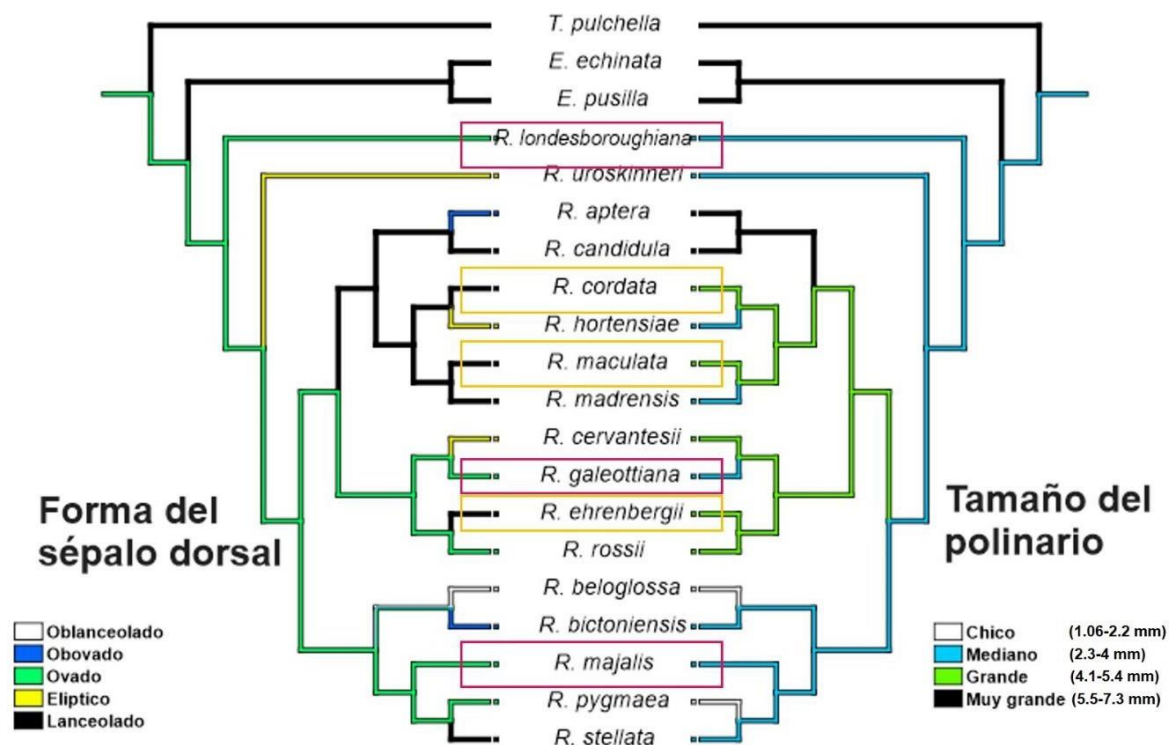
**Figura 35.** Correlación entre la forma del sépalo dorsal y la forma de las tétradas. Análisis realizado con el programa Pairwise comparisions implementado en Mesquite ver. 3.6.

**Sépalo dorsal y ancho de las tétradas.** Se presenta una correlación entre el sépalo dorsal ovado (rectángulo verde) con el ancho reducido de las tétradas (rectángulo verde), esta ocurre cuatro veces: en *R. londesboroughiana*, en *R. galeottiana*, en *R. rossii* y en *R. pygmaea* (Fig. 36).



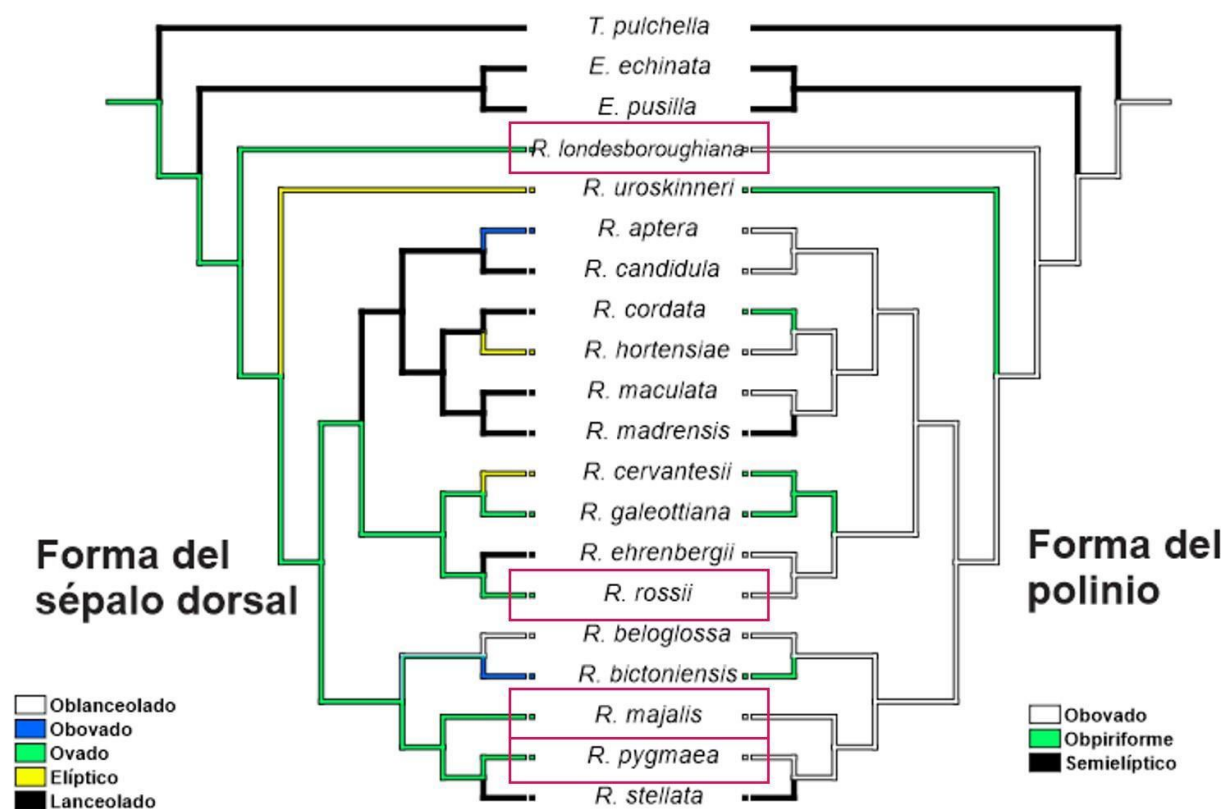
**Figura 36.** Correlación entre la forma del sépalo dorsal y el ancho de las tétradas. Análisis realizado con el programa Pairwise comparisions implementado en Mesquite ver. 3.6.

**Sépalo dorsal y tamaño del polinario.** En este caso se obtuvieron dos correlaciones significativas. La primera ocurre entre el sépalo dorsal ovado (rectángulo verde), y el polinario mediano (rectángulo azul), esta ocurre en tres ocasiones: en *R. londesboroughiana*, *R. galeottiana* y *R. majalis* (recuadro rosa; Fig. 37); la segunda se da entre el sépalo dorsal lanceolado (rectángulo negro), con el polinario grande (rectángulo verde), la cual ocurre en tres ocasiones: en *R. cordata*, *R. maculata* y *R. ehrenbergii*, (recuadro amarillo; Fig. 37).



**Figura 37.** Correlación entre la forma del sépalo dorsal y el tamaño del polinario. Análisis realizado con el programa Pairwise comparisions implementado en Mesquite ver. 3.6.

**Sépalo dorsal y forma del polinio.** Existe una correlación entre el sépalo dorsal ovado (rectángulo verde), con el polinio obovado (rectángulo blanco); la cual ocurre en cuatro ocasiones: en *R. londesboroughiana*, *R. rossii*, *R. majalis* y *R. pygmaea* (Fig. 38, recuadro rojo).



**Figura 38.** Correlación entre la forma del sépalo dorsal y la forma del polinio. Análisis realizado con el programa Pairwise comparisions implementado en Mesquite ver. 3.6.

## CAPITULO 5. DISCUSIÓN Y CONCLUSIONES

### Relaciones filogenéticas en *Rhynchostele*

Con base en el análisis de evidencia total, el género *Rhynchostele* se recuperó como un grupo monofilético con un soporte de 99% y las hipótesis de relaciones de parentesco entre las especies analizadas en este estudio, concuerdan en gran medida con las hipótesis propuestas en trabajos previos (Halbinger, 1982; Williams *et al.*, 2001; Sandoval-Zapotitla *et al.*, 2010; Neubig *et al.*, 2012). Halbinger (1982) realizó un diagrama de relaciones morfológicas en el que propone una estrecha relación entre *R. cordata*, *R. hortensiae* y *R. maculata*, e incluye a *R. madrensis* indicando que existe una relación no tan estrecha; dicha relación concuerda con lo obtenido en este estudio, al recuperar las mismas 4 especies en el clado **B** con un soporte de 88%. Del mismo modo, Halbinger (1982) reconoce una estrecha relación morfológica entre *R. cervantesii* y *R. galeottiana*, así como entre *R. ehrenbergii* y *R. rossii*, de igual manera, ambas relaciones son congruentes con nuestros resultados y forman el clado **C** con un soporte de 70%. También, Halbinger (1982), indica una estrecha relación entre *R. aptera* y *R. candidula*, esta relación se recuperó en nuestro análisis como el clado **A** con un soporte de 90%. Finalmente, la estrecha relación entre *R. majalis* y *R. stellata*, propuesta por Halbinger (1982) también fue recuperada en nuestro estudio formando el clado **E**, con la diferencia de que en este estudio se incluye a *R. pygmaea*, quien se resuelve como especie hermana de *R. stellata* con un soporte de 100%, mientras que Halbinger (1982) no incluyó a esta especie en su análisis.

Por otro lado, Williams *et al.*, (2001) y Sandoval-Zapotitla *et al.*, (2010), reportaron la relación de *R. londesboroughiana*, *R. beloglossa* y *R. bictoniensis*, misma que en nuestro análisis, estas dos últimas especies se recuperan conformando el grupo **D** y manteniendo a *R. londesboroughiana* en posición basal. Cabe mencionar que, dichos autores únicamente incluyeron estas tres especies de *Rhynchostele* en sus respectivos trabajos. Por último, Neubig *et al.* (2012), relaciona a *R. rossii* con *R. ehrenbergii* y también a *R. cervantesii* con *R. galeottiana*, y a pesar de que los coloca en grupos independientes, nuestro análisis lo recupera en el clado **C**, estos autores también reportan un clado formado por *R. maculata*, *R. madrensis* y *R. cordata*, dicha relación coincide con nuestros resultados al obtener el mismo grupo de especies, junto con *R. hortensiae*, clado **B** con un soporte de 88%; con la diferencia de que en nuestro trabajo incluimos a *R. hortensiae* y Neubig *et al* (2012) no la incluyeron. La relación entre *R. pygmaea* - *R. stellata* y *R. majalis*, obtenida por Neubig *et al.* (2012) también fue recuperada en nuestro análisis como el clado **E**, con un soporte de 98%. Finalmente, otra similitud que se presentan entre los resultados de estos autores y los nuestros es la posición basal de *R. londesboroughiana*.

### **Morfología del polinario**

En términos generales, y con base en el análisis de reconstrucción de estados ancestrales, podemos inferir que los caracteres plesiomórficos son: polinario y polinio de tamaño mediano, forma del polinio obovado y tétradas con superficie glabrecente. En el caso del tamaño del polinario y del polinio, nuestros resultados sugieren dos tendencias muy similares en ambos caracteres, por un

lado, el aumento en el tamaño en el grupo **A** y por el otro, la disminución del tamaño en los grupos **B** y **C** para el caso del tamaño del polinario y en el grupo **B** en el caso del tamaño del polinio.

En relación con el cambio en la forma del polinio, se sugiere que existe una tendencia, no muy clara, a la forma obpiriforme ya que se presenta en los grupos **B**, **C**, y **D** además de *R. uroskinneri*.

En relación con la superficie de las tétradas se observa que no existe una tendencia, ya que en la mayoría de las especies del género presentan una superficie glabrecente. Esta condición coincide con lo propuesto por William y Broome (1976) y Newton y Williams (1978) quienes sugieren que los grupos de orquídeas más derivados no presentan una ornamentación en la superficie de las tétradas. Por lo tanto, se puede concluir que el género *Rhynchostele* es uno de los grupos más derivados dentro de la tribu Oncidiinae.

Los grupos caracterizados por presentar los estados de carácter plesiomórficos son el **D** y el **E**, conformados por *R. beloglossa*, *R. bictoniensis*, *M. majalis*, *R. pygmaea* y *R. stellata*, mientras que los estados de carácter apomórficos se presentan en el grupo **A**, conformado por *R. aptera* y *R. candidula*. Por otro lado, los grupos **B** y **C** (conformados por *R. cordata*, *R. hortensiae*, *R. maculata*, *R. madrensis*, *R. cervantesii*, *R. galeottiana*, *R. ehrenbergii* y *R. rossii*) muestran tanto estados de carácter plesiomórficos (tamaño del polinio y ornamentación de las tétradas) como apomórficos (tamaño del polinario); en cuanto a la forma del polinio presentan ambas condiciones.

Con base en nuestro análisis, las novedades evolutivas dentro del género serían: el tamaño muy grande del polinario y del polinio en *R. aptera* y *R. candidula*, ubicadas en el grupo **A**; y el tamaño del polinario y del polinio chicos en *R. beloglossa* y *R. pygmaea*, ubicados en los grupos **D** y **E**, respectivamente. La forma del polinio obpiriforme en *R. uroskinneri*, en posición basal, *R. cordata* ubicada en el grupo **B**, *R. cervantesii* y *R. galeottiana* ubicadas en el grupo **C** y *R. bictoniensis*, ubicado en el grupo **D**; la forma del polinio semielíptico en *R. madrensis* y *R. stellata* ubicados en los grupos **B** y **E**, respectivamente. Al presentarse en grupos diferentes esta última condición, se considera un paralelismo.

De igual manera, la superficie de las tétradas granulosa en *R. aptera* ubicada en el grupo **A** y la superficie de las tétradas punzulada en *R. maculata*, ubicada en el grupo **B** son consideradas como novedad evolutiva, así como la superficie de las tétradas foveada en *R. majalis* y *R. stellata*, ubicadas en el grupo **E**.

### **Evolución de caracteres del polinario**

Con base en el esquema hipotético sobre el desarrollo evolutivo del polinario de varios géneros, propuesto por Chase (1987), se puede decir que el polinario de las especies de *Rhynchosetele*, pertenecen al polinario tipo XII, debido a que presentan un estípite rollizo y un viscidio elongado. De acuerdo con este autor, los grupos que presentan el polinario tipo XII pueden considerarse como grupos más derivados. Así mismo, Burns-Balogh y Funk (1983), en su trabajo dedicado a la descripción de la morfología del polinario, propusieron que el número de polinios está relacionado con el grado de evolución de los grupos, es decir, si tienen de cuatro a 12 polinios se consideran grupos primitivos, mientras que, si presentan dos

entonces se consideran grupos derivados. *Rhynchostele* se encuentra en este último caso, lo que sugiere que se trata de un género derivado.

Lo anterior coincide con lo propuesto por Stenzel (2000), quien menciona que los grupos más derivados presentan un menor número de polinios y a su vez, una mayor variación en su morfología floral. Ambas características son evidentes entre las especies del género.

En lo que respecta a la morfología del polinio de las especies de *Rhynchostele* descrita en el presente trabajo podemos decir que coincide, en gran medida, con la descrita por Damon y Nieto (2013) para cuatro de las especies del género: *R. cordata*, *R. pygmaea*, *R. stellata* y *R. uroskinneri*.

Con relación a la ornamentación de la superficie de las tétradas se han propuesto dos tendencias. La primera propuesta por Stenzel (1967), quien en un estudio realizado en el género *Pleurothallis*, propone que la superficie ornamentada de las tétradas se presenta principalmente en las especies más derivadas. Por el contrario, la segunda propuesta por Williams y Broome (1976), quienes realizaron un estudio para examinar la morfología del polinario, mencionan que los grupos más derivados son aquellos que presentan una superficie de las tétradas sin ornamentación; de la misma manera, Newton y Williams (1978) llegan a las mismas conclusiones en un estudio sobre la morfología del polen en las subfamilias Apostasioideae y Cypripedioideae. Particularmente en *Rhynchostele*, nuestros resultados sugieren que la condición glabrecente es la condición ancestral y está ampliamente distribuida entre las especies del género, se puede concluir que se

trata de un género derivado, apoyando lo propuesto por Williams y Broome (1976) y Newton y Williams (1978).

Barone *et al.* (2006), en una filogenia molecular de la subtribu Orchidinae, analizaron la variación de la micromorfología del polen y concluyeron que, si bien es cierto que la morfología del polen puede verse influenciada significativamente, por la notable diferencia en los síndromes de polinización encontrados entre especies estrechamente relacionadas dentro de esta subtribu, también puede reflejar las relaciones filogenéticas de las especies; contrario a lo propuesto por Bateman *et al.* (2003, citado en Barone *et al.*, 2006), quienes concluyen que no hay evidencia de patrones filogenéticos claros en la variación de la ornamentación de la superficie de los polinios en la subtribu Orchidinae. Nuestros resultados coinciden con el planteamiento propuesto por Bateman *et al.* (2003, citado en Barone *et al.*, 2006), la ornamentación de las tétradas en *Rhynchostele* no definen un patrón filogenético debido a que se presentan únicamente dos autoapomorfias independientes en los grupos **A** y **B**, mientras que en el grupo **E** se presentan dos reversiones.

### **Correlación entre el sépalo dorsal y caracteres del polinario**

En la subtribu Oncidiinae, el polen nunca se ofrece como recompensa y las recompensas de pseudopolen y resina son desconocidas en esta subtribu (Neubig *et al.*, 2012); por lo que en *Rhynchostele* no existen datos disponibles que expliquen claramente los mecanismos de atracción de los polinizadores ni de sus posibles polinizadores.

No existen antecedentes en donde se reporte una correlación entre la morfología floral y la del polinario. En este trabajo se encontró una correlación significativa entre el sépalo dorsal y la forma y el ancho de las tétradas, el tamaño del polinario y la forma del polinio, esto podría explicarse con lo planteado por Barone *et al.* (2006), quienes proponen que la morfología del polen puede verse influenciada por la notable diferencia en los síndromes de polinización encontrados entre especies estrechamente relacionadas, desafortunadamente para *Rhynchosstelae* se desconocen los síndromes de polinización; además, Van der Cingel (2001), indica que se han estudiado las capacidades visuales de los insectos y se sabe que reconocen patrones en la geometría de las flores tales como el contorno de los segmentos florales, su longitud, inclinación y densidad, incluso, la función de guía al polinizador se le atribuye al sépalo dorsal; lo que podría explicar la correlación reportada en este trabajo.

Por otro lado, como sabiamente destacó Dressler (1993), algunos aspectos estructurales del polinario y del estigma están estrechamente correlacionados. Por ejemplo, la presencia del polinio entero y globoso en Epidendroideae se relaciona con la presencia de cavidades estigmáticas hundidas y muy cóncavas. Esto se ha interpretado como una adaptación para maximizar la detención del polinio entero por la cavidad estigmática (Singer, 2008). En el presente trabajo no se incluyeron caracteres de la columna; sin embargo, la forma del polinio obovado presente en la mayoría de las especies, así como la presencia de una cavidad transversalmente elíptica, podría sugerir la misma relación propuesta por Dressler (1993).

Finalmente decir que, varios autores han resaltado que los aspectos ecológicos de la polinización son de gran importancia en la evolución de los polinarios (Williams, 1970; Williams y Broome, 1976; Burns-Balogh, 1982; Burns-Balogh *et al.*, 1987; Chase, 1987; Hidayat *et al.*, 2006 y Singer *et al.*, 2008). Con base en nuestro análisis, se puede sugerir que además de los aspectos ecológicos, también la morfología del polinario es importante en la evolución de los síndromes de polinización. De la misma manera se puede sugerir que, el sépalo dorsal juega un papel importante en la evolución del polinario y que caracteres tales como su posición, tamaño, color y ornamentación pueden influir en este proceso.

A pesar de que no existe mucha información al respecto, probablemente los cambios presentados en el polinario han coevolucionado con la morfología del sépalo dorsal y ésta, a su vez, con el polinizador para asegurar una polinización más eficiente, como lo sugieren Mosquera-Mosquera *et al.* (2019). Dado que no hay evidencias de la función que desempeña la morfología del sépalo dorsal en las estrategias de atracción de los polinizadores y tampoco de una posible correlación con otras estructuras reproductivas. El presente trabajo bien podría ser pionero en mencionar la importancia del sépalo dorsal y su correlación con estructuras reproductivas, específicamente el polinario, en orquídeas. De ahí la necesidad de abrir paso a futuras investigaciones que estudien la correlación entre la morfología floral y la morfología de las estructuras reproductivas para poder entender los patrones evolutivos y la posible coevolución entre las mismas en la familia Orchidaceae.



## CAPITULO 6. REFERENCIAS

- Almeida, C. 2008. Distribución espacial de la comunidad de orquídeas epífitas en la Selva alta perennifolia y Bosque mesófilo de montaña en el ejido Villa de Guadalupe, Huimanguillo, Tabasco. México: Tesis de Licenciatura en Ecología, División Académica de Ciencias Biológicas.
- Barone, M., Cozzolino, S., y Kocyan, A. 2006. Exine micromorphology of Orchidinae (Orchidoideae, Orchidaceae): Phylogenetic constraints or ecological influences? *Annals of Botany*, 98, 237-244.
- Bateman, R., Murphy, A., Hollingsworth, P., Hart, M., Denholm, I., y Rudall, P. 2018. Molecular and morphological phylogenetics of the digitate-tuberized clade within subtribe Orchidinae s.s. (Orchidaceae: Orchideae). *Kew Bulletin*, 73(54), 30.
- Burns-Balogh, P. 1982. Morfología del polinario de Orchidaceae mexicanas. Subtribu Laeliinae. *Orquídea Méx.*, 8(2), 327-342.
- Burns-Balogh, P. y Funk, V. 1983. Rolfe's evolution of the Orchidaceae. *The Ochid Review*, 91(1078), 248-254.
- Burns-Balogh, P., Dariusz, L., y Amots, D. 1987. Evolution, pollination, and systematics of the tribe Neottieae (Orchidaceae). *Plant Systematics and Evolution*, 156, 91-115.
- Chase, M. 1987. Systematic implications of pollinarium morphology in *Oncidium* SW., *Odontoglossum* Kunth, and Allied genera (Orchidaceae). *Lindleyana*, 2(1), 8-28.
- Chase, M., J. V. Freudenstein, K. M. Cameron y R. L. Barrett. 2003. DNA data and Orchidaceae systematics: a new phylogenetic classification. Pp. 69-89 en: Dixon, K. W., S. P. Kell, R. L. Barrett y P. J. Cribb (eds.). *Orchid conservation*. Natural History Publications, Kota Kinabalu, Sabah.

- Chase, M., Hanson, L., Albert, V., Whitten, W., y Williams, N. 2005. Life History Evolution and Genome Size in subtribe Oncidiinae (Orchidaceae). *Annals of Botany*, 95, 191-199.
- Dressler, R. 1977. El uso de los polinarios en la Sistemática de las Orquídeas. *Orquideología*, 12, 155-170.
- Dressler, R. 1981. *The Orchids: Natural History and Classification*. Cambridge, Massachusetts: Harvard University Press.
- Dressler, R. 1993. Phylogeny and classification of the orchid family. Cambridge: Cambridge University Press.
- Felsenstein J. 1985. Confidence limits on phylogenies, an approach using the bootstrap. *Evolution* 39: 783–791.
- García-Cruz, J. y Sosa, V. 2005. Phylogenetic relationships and character evolution in Govenia (Orchidaceae). *Canadian Journal of Botany*, 83, 1329-1339.
- Goloboff P. A. y Catalano S. A. 2016: TNT version 1.5, including a full implementation of phylogenetic morphometrics. *Cladistics DOI*. 1111/cla.12160.
- Halbinger, F. 1982. *Odontoglossum* y géneros afines en México y Centroamérica. *Orquídea Méx.*, 8(2), 181.
- Hidayat, T., Yucawa, T. e Ito, M. 2006. Evolutionary analysis of pollinaria morphology of subtribe Aeridinae (Orchidaceae). *Reinwardtia*, 12(3), 223- 235.
- <http://www.ncbi.nlm.nih.gov/GenBank/>. (s.f.).
- Jiménez, R. y Dressler, R. 2002. *Rhynchostele beloglossa*. En E. Hágster, & M. Soto, *Icones Orchidacearum* (Vols. 5-6).

- Leopardi-Verde, C. y Escobedo-Sarti, G. 2021. Indagando aspectos evolutivos con filogenias: reloj molecular y otras técnicas útiles en biología comparada. *Tequio* 4(11), 53-68.
- Maddison, W. 2000. Testing character correlation using Pairwise comparisons on a phylogeny. *J. Theoretical Biology*, 202, 195-204.
- Mosquera-Mosquera, H., Valencia-Barrera, R. y Acedo, C. 2019. Variation and evolutionary transformation of some characters of the pollinarium and pistil in Epidendroideae (Orchidaceae). *Plant Systematics and Evolution*, 305: 353-374.
- Neubig, K., Whitten, W., Williams, N., Blanco, M., Endara, L., Burleigh, J. y Chase, M. 2012. Generic recircumscriptions of Oncidiinae (Orchidaceae: Cymbidieae) based on maximum likelihood analysis of combined DNA datasets. *Botanical Journal of the Linnean Society*, 168: 117-146.
- Newton, G., y Williams, N. 1978. Pollen morphology of the Cypripedioideae and the Apostasioideae (Orchidaceae). *Selbyana*, 2, 169-182.
- Nieto, G. y Damon, A. 2008. Guide to the morphology of the pollinia and pollinaria of orchids from southeast Mexico. *Selbyana*. 29: 20-68.
- Pridgeon, A., Phillip, J. y Chase, M. 2009. Genera *Orchidacearum* (2 ed., Vol. 5). Oxford University.
- Rivera, C. 1993. Orquídeas. Generalidades y su cultivo. Boletín Agrario. Universidad Nacional de Costa Rica. Segunda Edición. Año 12 No. 46.
- Rodríguez, R. 1979. *Odontoglossum hortensiae*. Orquídeas, 7(3), 145-154.
- Salazar, G. 2009. Orquídeas. En A. Lot, y Z. Cano Santana, Biodiversidad del ecosistema del Pedregal de San Ángel. México: UNAM. 153-169.
- Sandoval-Zapotitla, E., García-Cruz, J., Terrazas, T. y Villaseñor, J. 2010. Relaciones filogenéticas de la subtribe Oncidiinae (Orchidaceae) inferidas a

- partir de caracteres estructurales y secuencias de AND (ITS y matK): un enfoque combinado. Revista Mexicana de Biodiversidad, 81, 263-279.
- Singer, R. B., Gravendeel, B., Cross, H. y Ramírez, S. R. 2008. The use of Orchid pollinia or pollinaria for taxonomic identification. Selbyana 29(1): 6-19.
- Soto, M., Salazar, G. y Rojas, A. 1993. Nomenclatural changes in *Rhynchostele*, *Mesoglossum*, and *Lemboglossum* (Orchidaceae, Oncidiinae). Orquídea, 13(1-2), 145-152.
- Stenzel, H. 1967. Systematics and evolution of the genus *Pleurothallis* R. Br. (Orchidaceae) in the Greater Antilles. Berlín: Tesis de Doctorado. Universidad Humboldt.
- Stenzel, H. 2000. Pollen morphology of the subtribe Pleurothallidinae Lind. (Orchidaceae). Grana, 39(2-3), 108-125.
- Téllez, V. y Flores, V. 2007. Orquídeas terrestres del Pedregal de San Ángel. Reserva Ecológica del Pedregal de San Ángel. México: UNAM.
- Williams, N. 1970. Some observations on Pollinaria in the Oncidiinae. American Orchid Society, 03, 32-43.
- Williams, N. y Broome, C. 1976. Scanning electron microscope studies of Orchid Pollen. American Orchid Society. Bull, 45, 699-707.
- Williams, N., Chase, M., Fulcher, T. y Whitten, W. 2001. Molecular systematics of the Oncidiinae based on evidence from four DNA sequence regions: expanded circumscriptions of *Cyrtochilum*, *Erycina*, *Otoglossum* and *Trichocentrum* and a new genus (Orchidaceae). Lindleyana, 16(2), 113-139.

**CAPITULO 7. APÉNDICE 1.** Se muestra la matriz de evidencia total, en donde se incluyen los caracteres morfológicos cuantitativos (promedio) y cualitativos y las secuencias de los tres genes utilizados.

### Caracteres morfológicos cuantitativos

	0		5		9					
<i>Tolumnia pulchella</i>	2.40	1.83	2.40	0.70	1.79	1.46	1.49	1.49	1.79	1.00
<i>Erycina echinata</i>	2.35	1.73	2.35	0.78	1.00	0.70	0.70	0.48	1.08	0.60
<i>Erycina pusilla</i>	2.01	1.67	1.70	0.78	1.48	0.70	0.70	0.85	1.23	1.00
<i>Rhynchostele aptera</i>	2.44	2.31	2.37	2.14	1.78	1.48	1.51	1.46	1.40	1.30
<i>Rhynchostele beloglossa</i>	2.33	2.00	2.33	0.90	1.30	1.08	1.08	0.95	1.00	0.85
<i>Rhynchostele biconiensis</i>	2.86	2.57	2.86	1.28	1.57	1.26	1.30	1.20	1.34	1.11
<i>Rhynchostele candidula</i>	2.40	2.30	2.39	1.30	1.84	1.53	1.54	1.51	1.46	1.56
<i>Rhynchostele cervantesii</i>	2.24	2.05	2.24	1.38	1.63	1.28	1.30	1.30	1.23	1.56
<i>Rhynchostele cordata</i>	2.53	2.17	2.53	1.41	1.83	1.51	1.54	1.40	1.32	1.60
<i>Rhynchostele ehrenbergii</i>	2.12	2.00	2.12	0.78	1.60	1.28	1.28	1.26	1.26	0.90
<i>Rhynchostele galeottiana</i>	2.22	2.00	2.22	1.48	1.81	1.40	1.49	1.41	1.41	1.54
<i>Rhynchostele hortensiae</i>	2.63	2.00	2.63	1.58	1.78	1.63	1.63	1.60	1.51	1.58
<i>Rhynchostele londesboroughiana</i>	2.86	2.43	2.83	1.34	1.41	1.00	1.04	1.11	1.30	0.85
<i>Rhynchostele maculata</i>	2.34	2.16	2.34	1.34	1.72	1.38	1.41	1.32	1.28	1.52
<i>Rhynchostele madrensis</i>	2.33	2.12	2.28	1.28	1.66	1.38	1.36	1.36	1.28	1.32
<i>Rhynchostele majalis</i>	2.34	2.31	2.20	1.52	1.67	1.38	1.34	1.30	1.48	1.11
<i>Rhynchostele pygmaea</i>	1.96	1.85	1.56	0.60	1.00	0.60	0.48	0.60	0.60	0.60
<i>Rhynchostele rossii</i>	2.28	2.10	2.14	1.28	1.76	1.53	1.53	1.51	1.51	1.18
<i>Rhynchostele stellata</i>	2.08	1.98	1.99	0.70	1.58	1.36	1.38	1.28	1.41	1.28
<i>Rhynchostele uroskinneri</i>	2.40	2.40	2.85	1.53	1.61	1.38	1.41	1.36	1.43	1.49

### Caracteres morfológicos cualitativos

	10	15	20	25	30	
<i>Tolumnia pulchella</i>	0	0	0	0	0	0
<i>Erycina echinata</i>	1	0	2	1	0	0
<i>Erycina pusilla</i>	0	0	0	1	0	1
<i>Rhynchostele aptera</i>	0	1	2	1	0	1

<i>Rhynchosetele beloglossa</i>	1102111010304020411110
<i>Rhynchosetele bictoniensis</i>	1112110111304021301011
<i>Rhynchosetele candidula</i>	011211110203020201210
<i>Rhynchosetele cervantesii</i>	0102011011224020220211
<i>Rhynchosetele cordata</i>	11021100112412112210
<i>Rhynchosetele ehrenbergii</i>	010211110222020211210
<i>Rhynchosetele galeottiana</i>	010211110202020211211
<i>Rhynchosetele hortensiae</i>	010211201124121212210
<i>Rhynchosetele londesboroughiana</i>	2112110002124020120100
<i>Rhynchosetele maculata</i>	0102112011404120112110
<i>Rhynchosetele madrensis</i>	0112111010213020212210
<i>Rhynchosetele majalis</i>	010211110013020011010
<i>Rhynchosetele pygmaea</i>	0102010010311220411310
<i>Rhynchosetele rossii</i>	0102010010214020211210
<i>Rhynchosetele stellata</i>	0102010020303121302210
<i>Rhynchosetele uroskinneri</i>	1102110011321222421011

## Caracteres moleculares

	32	37	42	47	52	57	62	67	72	77
<i>Tolumnia pulchella</i>										
<i>Erycina echinata</i>	---	CGCCGCCCGCGACTCGCGGGAAAGTCATTGAACCTTATCATTAG								
<i>Erycina pusilla</i>	GTT	TCGCGCTCGCGACTCGCGAGAAGTCATnGAACCTTATCATTAG								
<i>Rhynchosetele aptera</i>	--	TCGcmGCTTGCAGCTGGCGGGAAAGTCATTGAACCTTATCATTAG								
<i>Rhynchosetele beloglossa</i>	--	TCGCCGCCGTGACTCGCGAGAAGTCATTGAACCTTATCATTAG								
<i>Rhynchosetele bictoniensis</i>	GTT	TCGCCGCCGTGACTCGCGAGAAGTCATTGAACCTTATCATTAG								
<i>Rhynchosetele candidula</i>	--	TCGCCGCCGTGACTCGCGAGAAGTCATTGAACCTTATCATTAG								
<i>Rhynchosetele cervantesii</i>	--	TCGCCGCCGTGACTCGCGAGAAGTCATTGAACCTTATCATTAG								
<i>Rhynchosetele cordata</i>	--	TCGCCGCCGTGACTCGCGAGAAGTCATTGAACCTTATCATTAG								
<i>Rhynchosetele ehrenbergii</i>	-----	-----ATTAG								
<i>Rhynchosetele galeottiana</i>	--	TCGCCGCCGTGACTCGCGAGAAGTCATTGAACCTTATCATTAG								
<i>Rhynchosetele hortensiae</i>	GTT	TCGCCGCCGTGACTCGCGAGAAGTCATTGAACCTTATCATTAG								
<i>Rhynchosetele londesboroughiana</i>	GTT	TCGCCGCCGTGACTCGCGGGAAAGTCATTGAACCTTATCATTAG								
<i>Rhynchosetele maculata</i>	--	TCGCCGCCGTGACTCGCGAGAAGTCATTGAACCTTATCATTAG								
<i>Rhynchosetele madrensis</i>	--	TCGCCGCCGTGACTCGCGAGAAGTCATTGAACCTTATCATTAG								
<i>Rhynchosetele majalis</i>	-----	CCGCCCGTGACTCGCGAGAAGTCATTGAACCTTATCATTAG								

*Rhynchosstele pygmaea*  
*Rhynchosstele rossii*  
*Rhynchosstele stellata*  
*Rhynchosstele uroskinneri*

*Tolumnia pulchella*  
*Erycina echinata*  
*Erycina pusilla*  
*Rhynchosstele aptera*  
*Rhynchosstele beloglossa*  
*Rhynchosstele bictoniensis*  
*Rhynchosstele candidula*  
*Rhynchosstele cervantesii*  
*Rhynchosstele cordata*  
*Rhynchosstele ehrenbergii*  
*Rhynchosstele galeottiana*  
*Rhynchosstele hortensiae*  
*Rhynchosstele londesboroughii*  
*Rhynchosstele maculata*  
*Rhynchosstele madrensis*  
*Rhynchosstele majalis*  
*Rhynchosstele pygmaea -----*  
*Rhynchosstele rossii*  
*Rhynchosstele stellata*  
*Rhynchosstele uroskinneri*

*Tolumnia pulchella*  
*Erycina echinata*  
*Erycina pusilla*  
*Rhynchosstele aptera*  
*Rhynchosstele beloglossa*  
*Rhynchosstele biconiensis*  
*Rhynchosstele candidula*

--TCGCCGCCGTGACTCGGCAGAGAAGTCCATTGAACCTTATCATTAG  
--TCGCCGCCGTGACTCGGCAGAGAAGTCCATTGAACCTTATCATTAG  
--TCCCCGCCGGATTGGGGAGAAGTCCATTGAACCTnTCATTAG

81	86	91	96	101	106	111	116	121	126
AGGAAGGAGAACGTAACAAGGTTCCGTAGGTGAACCTGCGGAAGGA									
AGGAAGGAGAACGTAACAAGGTTCCGTAGGTGAACCTGCGGAAGGA									
AGGAAGGAGAACGTAACAAGGTTCCGTAGGTGAACCTGCGGAAGGA									
AGGAAGGAGAACGTAACAAGGTTCCGTAGGTGAACCTGCGGAAGGA									
AGGAAGGAGAACGTAACAAGGTTCCGTAGGTGAACCTGCGGAAGGA									
AGGAAGGAGAACGTAACAAGGTTCCGTAGGTGAACCTGCGGAAGGA									
AGGAAGGAGAACGTAACAAGGTTCCGTAGGTGAACCTGCGGAAGGA									
AGGAAGGAGAACGTAACAAGGTTCCGTAGGTGAACCTGCGGAAGGA									
AGGAAGGAGAACGTAACAAGGTTCCGTAGGTGAACCTGCGGAAGGA									
AGGAAGGAGAACGTAACAAGGTTCCGTAGGTGAACCTGCGGAAGGA									
AGGAAGGAGAACGTAACAAGGTTCCGTAGGTGAACCTGCGGAAGGA									
AGGAAGGAGAACGTAACAAGGTTCCGTAGGTGAACCTGCGGAAGGA									
AGGAAGGAGAACGTAACAAGGTTCCGTAGGTGAACCTGCGGAAGGA									
AGGAAGGAGAACGTAACAAGGTTCCGTAGGTGAACCTGCGGAAGGA									
AGGAAGGAGAACGTAACAAGGTTCCGTAGGTGAACCTGCGGAAGGA									
----- CGTAGGTGAACCTGCGGAAGGA									
AGGAAGGAGAACGTAACAAGGTTCCGTAGGTGAACCTGCGGAAGGA									
AGGAAGGAGAACGTAACAAGGTTCCGTAGGTGAACCTGCGGAAGGA									
AGGAAGGAGAACGTAACAAGGTTCCGTAGGTGAACCTGCGGAAGGA									
130	135	140	145	150	155	160	165	170	175
TCATTGTCGAGACCGAAGAAAAATATCGAGCGATTGAAAAACCGTAA									
TCATTGTCGAGACCGAAGAACATATTGAGCGATTGAAAAACCGTGA									
TCATTGCCGAGATCGAAGAATATATTGAGCGATTGAAAA-CACGTGAA									
TCATTGTCGAGATCAAAGAATATATTGAGCGATTGAAAAACCGTGA									
TCATTGTCGAGATCAAAGAATATATTGAGCGATTGAAAAACCGTGA									
TCATTGTCGAGATCAAAGAATATATTGAGCGATTGAAAAACCGTGA									
TCATTGTCGAGATCAAAGAATATATTGAGCGATTGAAAAACCGTGA									



	228	233	238	243	248	253	258	263	268	273
<i>Tolumnia pulchella</i>										
<i>Erycina echinata</i>	TGAAGGGGCACGACGGAAGATGGATGAACCACAAACCGGCGCAGCATCG									
<i>Erycina pusilla</i>	CGAAGGGGCACGGCGGAGGATGGATGAACCACAAATCGGCGCAGCATCG									
<i>Rhynchostele aptera</i>	TTGGGTGCCACGGC--AAAATGGATAACCCACAAATCGACGCAGCATCG									
<i>Rhynchostele beloglossa</i>	TGAAGGGGCACGACGGAAGATGGATGAATCACCAAACGGCGAACATCG									
<i>Rhynchostele bictoniensis</i>	TGGAGGGGCACGACGGAAGATGGATGAATCACCAAACGGCGCAGCATCG									
<i>Rhynchostele candidula</i>	TGAAGGGGCACGACGGAAGATGGATGAATCACCAAACGGCGAACATCG									
<i>Rhynchostele cervantesii</i>	TGAAGGGGCACGACGGAAGATGGATGAATCACCAAACGGCGCAGCATCG									
<i>Rhynchostele cordata</i>	TGAAGGGGCACGACGGAAGATGGATGAATCACCAAACGGCGCAGCATCG									
<i>Rhynchostele ehrenbergii</i>	TGAAGGGGCACGACGAAAGATGGATGAATCACCAAACGGCGCAGCATCG									
<i>Rhynchostele galeottiana</i>	TGAAGGGGCACGACGGAAGATGGATGAATCACCAAACGGCGCAGCATCG									
<i>Rhynchostele hortensiæ</i>	CGAAGGGGCACGACGGAAGATGGATGAATCACCAAACGGCGCAGCATCG									
<i>Rhynchostele londesboroughiana</i>	TGAAGGGGCACGACGGAAGATGGATGAATCACCAAACGGCGCAGCATCG									
<i>Rhynchostele maculata</i>	TGAAGGGGCACGACGGAAGATGGATGAATCACCAAACGGCGCAGCATCG									
<i>Rhynchostele madrensis</i>	TGAAGGGGCACGACGCAAGATGGATGAATCACCAAACGGCGCAGCATCG									
<i>Rhynchostele majalis</i>	TGAAGGGGCACGACGGAAGATGGATGAATCACCAAACGGCGCAGCATCG									
<i>Rhynchostele pygmaea</i>	TGAAGGGGCACGACGGAAGATGGATGAATCACCAAACGGCGCAGCATCG									
<i>Rhynchostele rossii</i>	TGAAGGGGCACGACGAAAGATGGATGAATCACCAAACGGCGCAGCATCG									
<i>Rhynchostele stellata</i>	TGAAGGGGCACGACGGAAGATGGATGAATCTCAAACGGCGCAGCATCG									
<i>Rhynchostele uroskinneri</i>	TGAAGGGGCACGACGGAAGATGGATGAATCACCAAACGGCGCAGCATCG									
	277	282	287	292	297	302	307	312	317	322
<i>Tolumnia pulchella</i>										
<i>Erycina echinata</i>	CGCCAAGGGAAAGATCGAAAAGAGCGGAGGCCGCAATGGGCTCGATGATG									
<i>Erycina pusilla</i>	CGCCAAGTGAAATTGCAAATGCGCGAGCCCCACGACGGGCTCGATGATG									
<i>Rhynchostele aptera</i>	CGTCAAGAAAAATAAAAATTCTTGAGCCCAGCAA-GGGCTCAATGATG									
<i>Rhynchostele beloglossa</i>	CGCCAAGGGAAATATCAAATGCGCGAGCCCCACATCGGGCTCGATGATG									
<i>Rhynchostele bictoniensis</i>	CGCCAAGGGAAAGATCAAATACCGCGAGCCCCGCATCGGGCTCGATGATG									
<i>Rhynchostele candidula</i>	CGCCAAGGGAAAGATCAAATGCGCGAGCCCCAGCATCGGGCTCGATGATG									
<i>Rhynchostele cervantesii</i>	CGTCAAGGGAAATATCAAATGCGCGAGCCCCGCATCGGGCTCGATGATG									
<i>Rhynchostele cordata</i>	CGCCAAGGGAAAGATCAAATGCGCGAGCCCCGCATCGGGCTCGATGATG									
<i>Rhynchostele ehrenbergii</i>	CGCCAAGGGAAAGATCAAATGCGCGAGCCCCGCATCGGGCTCGATGATG									
<i>Rhynchostele galeottiana</i>	CGCCAAGGGAAAGATCAAATGCGCGAGCCCCGCATCGGGCTCGATGATG									
<i>Rhynchostele hortensiæ</i>	CGCCAAGGGAAATATCAAATGCGCGAGCCCCGCATCGGGCTCGATGATG									

<i>Rhynchosetele londesboroughiana</i>	CGCCAAGGGAAGATCAAATGCGCGAGCCCCGATCGGGCTCGATGATG
<i>Rhynchosetele maculata</i>	CGCCAAGGGAATATCAAATGCGCGAGCCCTGCATCGGGCTCGATGATG
<i>Rhynchosetele madrensis</i>	CGCCAAGGGAATATCAAATTGCGCGAGCCCCGATCGGGCTCGATGATG
<i>Rhynchosetele majalis</i>	CGCCAAGGGAAGATCAAATGCGCGAGCCCCACATCGGGCTCGATGATG
<i>Rhynchosetele pygmaea</i>	CGCCAAGTGAAGATCAAATGCGCGAGCCCCACATCGGGCTCGATGATG
<i>Rhynchosetele rossii</i>	CGCCAAGGGAAGATCAAATGCGCGAGCCCCGCGTCGGGCTCGACGATG
<i>Rhynchosetele stellata</i>	CGCCAAGGGAAGATCAAATGCGCAGCTCAC-TCGGGCTCGATGATG
<i>Rhynchosetele uroskinneri</i>	CGCCAAGGGAAGATCAAACGCGCAGCCCCGATCGGGCTCGATGATG
	326 331 336 341 346 351 356 361 366 371
<i>Tolumnia pulchella</i>	TGGAGTGCTAGTGACGCCATGCGGATAGACACGACTCTCGACAATGGA
<i>Erycina echinata</i>	CAGAGTGTGTCGCACTCCATGCATTGACACACGACTCTCGACAATGGA
<i>Erycina pusilla</i>	TGGTGTGTTAACGCACTCCATGCGATTAA-ATGACTCTCGACAATGGA
<i>Rhynchosetele aptera</i>	TGGATTGCTGGTGCACTCCATGCGGATAGACACGACTCTCGACAATGGA
<i>Rhynchosetele beloglossa</i>	TGGATTGCTGGTGCACTCCATGCGGATAGACACGACTCTCGACAATGGA
<i>Rhynchosetele biconiensis</i>	TGGATTGCTGGTGCACTCCATGCGGATAGACACGACTCTCGACAATGGA
<i>Rhynchosetele candidula</i>	TGGATTGCTGGTGCACTCCATGCGGAAAGACACGACTCTCGACAATGGA
<i>Rhynchosetele cervantesii</i>	TGGATTGCTGGTGCACTCCATGCGGATAGACACGACTCTCGACAATGGA
<i>Rhynchosetele cordata</i>	TGGATTGCTGGTGCACTCCATGCGGATAGACACGACTCTCGACAATGGA
<i>Rhynchosetele ehrenbergii</i>	TGGATTGCTGGTGCACTCCATGCGGATAGACACGACTCTCGACAATGGA
<i>Rhynchosetele galeottiana</i>	TGGATTGCTGGTGCACTCCACGCGGATAGACACGACTCTCGACAATGGA
<i>Rhynchosetele hortensiae</i>	TGGATTGCTGGTGCACTCCACGCGGATAGACACGACTCTCGACAATGGA
<i>Rhynchosetele londesboroughiana</i>	TGGATTGCTGGTGCACTCCACGCGGATAGACACGACTCTCGACAATGGA
<i>Rhynchosetele maculata</i>	TGGATTGCTGGTGCACTCCATGCGGATAGACACGACTCTCGACAATGGA
<i>Rhynchosetele madrensis</i>	TGGATTGCTGGTGCACTCCATGCGGATAGACACGACTCTCGACAATGGA
<i>Rhynchosetele majalis</i>	TGGATTGCTGGTGCACTCCATGCGGATAGACACGACTCTCGACAATGGA
<i>Rhynchosetele pygmaea</i>	TGGATTGCTGGTGCACTCCATGCGGATAGACACGACTCTCGACAATGGA
<i>Rhynchosetele rossii</i>	TGGATTGCTGGTGCACTCCATGCGGATAGACACGACTCTCGACAATGGA
<i>Rhynchosetele stellata</i>	TGGATTGCTGGTGCACTCCATGCGGATAGACACGACTCTCGACAATGGA
<i>Rhynchosetele uroskinneri</i>	TGGATTGCTGGTGCACTCCATGCGGATAGACACGACTCTCGACAATGGA
	375 380 385 390 395 400 405 410 415 420
<i>Tolumnia pulchella</i>	TATCTTGGCTTGCATCGATGAAGAGCGCAGCGAAATGCGATACGTGG
<i>Erycina echinata</i>	TATCTTGGCTTGCATCGATGAAGAGCGCAGCGAAATGCGATACGTGG
<i>Erycina pusilla</i>	TATCTTGGCTTGCATCGATGAAGAGCGCAGCGAAATGCGATACGTGG

<i>Rhynchostele aptera</i>	TATCTTGGCTTTGCATCGATGAAGAGCGCAGCGAAATGCGATACGTGG
<i>Rhynchostele beloglossa</i>	TATCTTGGCTTTGCATCGATGAAGAGCGCAGCGAAATGCGATACGTGG
<i>Rhynchostele biconiensis</i>	TATCTTGGCTTTGCATCGATGAAGAGCGCAGCGAAATGCGATACGTGG
<i>Rhynchostele candidula</i>	TATCTTGGCTTTGCATCGATGAAGAGGCCAGCGAAATGCGATACGTGG
<i>Rhynchostele cervantesii</i>	TATCTTGGCTTTGCATCGATGAAGAGGCCAGCGAAATGCGATACGTGG
<i>Rhynchostele cordata</i>	TATCTTGGCTTTGCATCGATGAAGAGCGCAGCGAAATGCGATACGTGG
<i>Rhynchostele ehrenbergii</i>	TATCTTGGCTTTGCATCGATGAAGAGCGCAGCGAAATGCGATACGTGG
<i>Rhynchostele galeottiana</i>	TATCTTGGCTTTGCATCGATGAAGAGCGCAGCGAAATGCGATACGTGG
<i>Rhynchostele hortensiae</i>	TATCTTGGCTTTGCATCGATGAAGAGCGCAGCGAAATGCGATACGTGG
<i>Rhynchostele londesboroughiana</i>	TATCTTGGCTTTGCATCGATGAAGAGGCCAGCGAAATGCGATACGTGG
<i>Rhynchostele maculata</i>	TATCTTGGCTTTGCATCGATGAAGAGGCCAGCGAAATGCGATACGTGG
<i>Rhynchostele madrensis</i>	TATCTTGGCTTTGCATCGATGAAGAGGCCAGCGAAATGCGATACGTGG
<i>Rhynchostele majalis</i>	TATCTTGGCTTTGCATCGATGAAGAGGCCAGCGAAATGCGATACGTGG
<i>Rhynchostele pygmaea</i>	TATCTTGGCTTTGCATCGATGAAGAGGCCAGCGAAATGCGATACGTGG
<i>Rhynchostele rossii</i>	TATCTTGGCTTTGCATCGATGAAGAGGCCAGCGAAATGCGATACGTGG
<i>Rhynchostele stellata</i>	TATCTTGGCTTTGCATCGATGAAGAGGCCAGCGAAATGCGATACGTGG
<i>Rhynchostele uroskinneri</i>	TATCTTGGCTTTGCATCGATGAAGAGGCCAGCGAAATGCGATACGTGG

424	429	434	439	444	449	454	459	464	469

<i>Tolumnia pulchella</i>	TGCGAATTGCAGAACCCCGCGAACCATCGAGTCTTGAACGCAAGTTGC
<i>Erycina echinata</i>	TGTGAATTGCAGAACCCCGCGAACCATCGAGTTTGAAACGCAAGTTGC
<i>Erycina pusilla</i>	TGTGAATTGCAGAACCCCGCGAACCATCGAGTTTGAAACGCAAGTTGC
<i>Rhynchostele aptera</i>	TGCGAATTGCAGAACCCCGCGAACCATCGAGTCTTGAACGCAAGTTGC
<i>Rhynchostele beloglossa</i>	TGCGAATTGCAGAACCCCGCGAACCATCGAGTCTTGAACGCAAGTTGC
<i>Rhynchostele biconiensis</i>	TGCGAATTGCAGAACCCCGCGAACCATCGAGTCTTGAACGCAAGTTGC
<i>Rhynchostele candidula</i>	TGCGAATTGCAGAACCCCGCGAACCATCGAGTCTTGAACGCAAGTTGC
<i>Rhynchostele cervantesii</i>	TGCGAATTGCAGAACCCCGCGAACCATCGAGTCTTGAACGCAAGTTGC
<i>Rhynchostele cordata</i>	TGCGAATTGCAGAACCCCGCGAACCATCGAGTCTTGAACGCAAGTTGC
<i>Rhynchostele ehrenbergii</i>	TGCGAATTGCAGAACCCCGCGAACCATCGAGTCTTGAACGCAAGTTGC
<i>Rhynchostele galeottiana</i>	TGCGAATTGCAGAACCCCGCGAACCATCGAGTCTTGAACGCAAGTTGC
<i>Rhynchostele hortensiae</i>	TGCGAATTGCAGAACCCCGCGAACCATCGAGTCTTGAACGCAAGTTGC
<i>Rhynchostele londesboroughiana</i>	TGCGAATTGCAGAACCCCGCGAACCATCGAGTCTTGAACGCAAGTTGC
<i>Rhynchostele maculata</i>	TGCGAATTGCAGAACCCCGCGAACCATCGAGTCTTGAACGCAAGTTGC
<i>Rhynchostele madrensis</i>	TGCGAATTGCAGAACCCCGCGAACCATCGAGTCTTGAACGCAAGTTGC
<i>Rhynchostele majalis</i>	TGCGAATTGCAGAACCCCGCGAACCATCGAGTCTTGAACGCAAGTTGC
<i>Rhynchostele pygmaea</i>	TGCGAATTGCAGAACCCCGCGAACCATCGAGTCTTGAACGCAAGTTGC

<i>Rhynchostele rossii</i>	TGCGAATTGCAGAACCATCGAGTCTTGAAACGCAAGTTGC
<i>Rhynchostele stellata</i>	TGCGAATTGCAGAACCATCGAGTCTTGAAACGCAAGTTGC
<i>Rhynchostele uroskinneri</i>	TGCGAATTGCAGAACCATCGAGTCTTGAAACGCAAGTTGC
	473 478 483 488 493 498 503 508 513 518
<i>Tolumnia pulchella</i>	GCCCGAGGCCAGCCGCCAAGGGCACGTCCGCCTGGCGTCAAGCGTTG
<i>Erycina echinata</i>	GCCCGAGGCCAGCCGCCAAGGGCACGTCCGCCTGGCGTCAAGCGTTG
<i>Erycina pusilla</i>	GCCCGAGGCCAACCGCTAAGGGATGTCCGCCTGGCGTCAAGCATTG
<i>Rhynchostele aptera</i>	GCCCGAGGCCAGCTGGCCAAGGGCACGTCCGCCTGGCGTCAAGCGTTG
<i>Rhynchostele beloglossa</i>	GCCCGAGGCCAGCTGGCCAAGGGCACGTCCGCCTGGCGTCAAGCGTTG
<i>Rhynchostele bictoniensis</i>	GCCCGAGGCCAGCTGGCCAAGGGCACGTCCGCCTGGCGTCAAGCGTTG
<i>Rhynchostele candidula</i>	GCCCGAGGCCAGCTGGCCAAGGGCACGTCCGCCTGGCGTCAAGCGTTG
<i>Rhynchostele cervantesii</i>	GCCCGAGGCCAGCTGGCCAAGGGCACGTCCGCCTGGCGTCAAGCGTTG
<i>Rhynchostele cordata</i>	GCCCGAGGCCAGCTGGCCAAGGGCACGTCCGCCTGGCGTCAAGCGTTG
<i>Rhynchostele ehrenbergii</i>	GCCCGAGGCCATCTGGCCAAGGGCACGTCCGCCTGGCGTCAAGCGTTG
<i>Rhynchostele galeottiana</i>	GCCCGAGGCCAGCTGGCCAAGGGCACGTCCGCCTGGCGTCAAGCGTTG
<i>Rhynchostele hortensiae</i>	GCCCGAGGCCAGCTGGCCAAGGGCACGTCCGCCTGGCGTCAAGCGTTG
<i>Rhynchostele londesboroughiana</i>	GCCCGAGGCCAGCTGGCCAAGGGCACGTCCGCCTGGCGTCAAGCGTTG
<i>Rhynchostele maculata</i>	GCCCGAGGCCAGCTGGCCAAGGGCACGTCCGCCTGGCGTCAAGCGTTG
<i>Rhynchostele madrensis</i>	GCCCGAGGCCAGCTGGCCAAGGGCACGTCCGCCTGGCGTCAAGCGTTG
<i>Rhynchostele majalis</i>	GCCCGAGGCCAGCTGGCCAAGGGCACGTCCGCCTGGCGTCAAGCGTTG
<i>Rhynchostele pygmaea</i>	GCCCGAGGCCAGCTGGCCAAGGGCACGTCCGCCTGGCGTCAAGCGTTG
<i>Rhynchostele rossii</i>	GCCCGAGGC-ATCTGGCCAAGGGCACGTCCGCCTGGCGTCAAGCGTTG
<i>Rhynchostele stellata</i>	GCCCGAGGCCAGCTGGCCAAGGGCACGTCCGCCTGGCGTCAAGCGTTG
<i>Rhynchostele uroskinneri</i>	GCCCGAGGCCAGCTGGCCAAGGGCACGTCCGCCTGGCGTCAAGCGTTG
	522 527 532 537 542 547 552 557 562 567
<i>Tolumnia pulchella</i>	CGTCGCTCCGTGCTAGCTATCTGCCAATGGCGTGTGAGCGATGCTC
<i>Erycina echinata</i>	CGTCGCTCCGTGCTAGCTGTCCC--AATGGGAGTGTGAGCGAGGCAC
<i>Erycina pusilla</i>	CGTCGCTCCGTGCTAGTTGTATCTCCAATGGGAGTGTGAGCGAGGCAC
<i>Rhynchostele aptera</i>	CGTCGCTCCGTGCTAGCTGTCCCACAATGGCGTGTGAGCGAGGCAC
<i>Rhynchostele beloglossa</i>	CGTCGCTCCGTGCTAGCTGTCCCACAATGGCGTATTGGCGATGCTC
<i>Rhynchostele bictoniensis</i>	CGTCGCTCCGTGCTAGCTGTCCCACAATGGCGTGTGAGCGAGGCAC
<i>Rhynchostele candidula</i>	CGTCGCTCCGTGCTAGCTGTCCCACAATGGCGTGTGAGCGAGGCAC
<i>Rhynchostele cervantesii</i>	CGTCGCTCCGTGCTAGCCGTCCCCACAATGGCGTGTGAGCGAGGCAC

<i>Rhynchosete cordata</i>	CGTCGCTCCGTGCTAGCTGCCCCCAATGGCGTGTGGCGAGGCTC
<i>Rhynchosete ehrenbergii</i>	CGTCGCTCCGTGCTAGCTGCCCCCAATGGCGTGTGGCGAGGCTC
<i>Rhynchosete galeottiana</i>	CGTCGCTCCGTGCTAGCTGCCCCCAATGGCGTGTGGCGAGGCTC
<i>Rhynchosete hortensiae</i>	CGTCGCTCCGTGCTAGCTGCCCCCAATGGCGTGTGGCGAGGCTC
<i>Rhynchosete londesboroughiana</i>	CATCGCTCCGTGCTGCCGTGCCCCCAATGGCGTGTGGCGAGGCTC
<i>Rhynchosete maculata</i>	CGTCGCTCCGTGCTAGCTGCCCCCAATGGCGTGTGGCGAGGCTC
<i>Rhynchosete madrensis</i>	CGTCGCTCCGTGCTAGCTGCCCCCAATGGCGTGTGGCGAGGCTC
<i>Rhynchosete majalis</i>	CGTCGCTCCGTGCTAGCTGCCCCCAATGGCGTGTGGCGAGGCTC
<i>Rhynchosete pygmaea</i>	CGTCGCTCCGTGCTAGCTGCCCCCAATGGCGTGTGGCGAGGCTC
<i>Rhynchosete rossii</i>	CGTCGCTCCGTGCTAGCTGCCCCCAATGGCGTGTGGCGAGGCTC
<i>Rhynchosete stellata</i>	CGTCGCTCCGTGCTAGCTGCCCCCAATGGCGTGTGGCGAGGCTC
<i>Rhynchosete uroskinneri</i>	CGTCGCTCCGTGCTAGCTGCCAGCAATGGCGTGTGGCGAGGCTC
	571    576    581    586    591    596    601    606    611    616
<i>Tolumnia pulchella</i>	GGATGTGGAGAGTGGCTCGTCGTGCTGGTTAGTGCGGCGGGCTGAAGAG
<i>Erycina echinata</i>	GGATGTGTAGAGTGGCCCGTCGTGCTCGTTGGTGCGGCGGGCTGAAGGG
<i>Erycina pusilla</i>	GGAAGTGTAGAGTGGCCCGTAGTGCCAGTAGTATGGCGGGCTAAAGAG
<i>Rhynchosete aptera</i>	GGATGTGTAGAGTGGCCCGTCGTGCTCGTTGGTGCGGCGGGCTGAAGAG
<i>Rhynchosete beloglossa</i>	GGATGTGTAGAGTGGCCCGTCGTGCTCGTTGGTGCGGCGGGCTGAAGAG
<i>Rhynchosete biconiensis</i>	GGACGTGTAGAGTGGCCCGCCGTGCTCGTTGGTGCGGCGGGCTGAAGAG
<i>Rhynchosete candidula</i>	GGATGTGTAGAGTGGCCCGTCGTGCTCGTTGGTGCGGCGGGCTGAAGAG
<i>Rhynchosete cervantesii</i>	GGATGTGTAGAGTGGCCCGTCGTGCTCGTTGGTGCGGCGGGCTGAAGAG
<i>Rhynchosete cordata</i>	GGATGTGTAGAGTGGCCCGTCGTGCTCATGGTGCGGCGGGCTGAAGAG
<i>Rhynchosete ehrenbergii</i>	GGATGTGTAGAGTGGCCCGTCGTGCTCGTTGGTGC GGCGGGCTGAAGAG
<i>Rhynchosete galeottiana</i>	GGATGTGTAGAGTGGCCCGTCGTGCTCGTTGGTGC GGCGGGCTGAAGAG
<i>Rhynchosete hortensiae</i>	GGATGTGTAGAGTGGCCCGTCGTGCTCGTTGGTGC GGCGGGCTGAAGAG
<i>Rhynchosete londesboroughiana</i>	GGATGTGTAGAGTGGCCCGTCGTGCCCCGTGCGGTGC GGCGGGCTGAAGAG
<i>Rhynchosete maculata</i>	GGATGTGTAGAGTGGCCCGTCGTGCTCGTTGGTGC GGCGGGCTGAAGAG
<i>Rhynchosete madrensis</i>	GGATGTGTAGAGTGGCCCGTCGTGCTCGTTGGTGC GGCGGGCTGAAGAG
<i>Rhynchosete majalis</i>	GGATGTGTAGAGTGGCCCGTCGTGCTCGTTGGTGC GGCGGGCTGAAGAG
<i>Rhynchosete pygmaea</i>	GGATGTGTAGAGTGGCCCGTCGTGCTCGTTGGTGC GGCGGGCTGAAGAG
<i>Rhynchosete rossii</i>	GGATGTGTAGAGAGGGCCCGTCGTGCTCGTTGGTGC GGCGGGCTGAAGAG-
<i>Rhynchosete stellata</i>	GGATGTGTAGAGTGGCCCGTCGTGCTCGTTGGTGC GGCGGGCTGAAGAG
<i>Rhynchosete uroskinneri</i>	GGACGTGTAGAGTGGCCCGTCGTGCTCGTTGGTGC GGCGGGCTGAAGAG
	620    625    630    635    640    645    650    655    660    665

<i>Tolumnia pulchella</i>	CGGGTTTCT-CTCAATGGATGCGAACAAACAAGCGGTGGGTCAAAGCT
<i>Erycina echinata</i>	AGGGTTCTGT-CTCTAGGGCTACGAACAACAAGGGGTGGGTCAA-GCT
<i>Erycina pusilla</i>	AGGGTTTTCTCAAAGGCTACGAACAACAATGGGTGGTACAAAGCT
<i>Rhynchosete aptera</i>	CGGGTTTGT-CTCAATGGCCGGAACAACAAGGGGTGGGTCAA-GCT
<i>Rhynchosete beloglossa</i>	CTGGTTTGT-CTCAATGGCCGGAACAACAAGGGGTGGGTCAA-GCT
<i>Rhynchosete biconiensis</i>	CGGGTTTGT-CTCAATGGCCGGAACAACAAGGGGTGGGTCAA-GCT
<i>Rhynchosete candidula</i>	CGGGTTTGT-CTCAATGGCCGGAACAACAAGGGGTGGGTCAA-GCT
<i>Rhynchosete cervantesii</i>	CGGGTTTGT-CTCAATGGCCGGAACAACAAGGGGTGGGTCAA-GCT
<i>Rhynchosete cordata</i>	CGGGTTTGT-CTCAATGGCCGGAACAACAAGGGGTGGGTCAA-GCT
<i>Rhynchosete ehrenbergii</i>	CGGGTTTGT-CTCAATGGCCGGAACAACAAGGGGTGGGTCAA-GCT
<i>Rhynchosete galeottiana</i>	CGGGTTTGT-CTCAATGGCCGGAACAACAAGGGGTGGGTCAA-GCT
<i>Rhynchosete hortensiae</i>	CGAGTTTGT-CTCAATGGCCGGAACAACAAGGGGTGGGTCAA-GCT
<i>Rhynchosete londesboroughiana</i>	CGGGTCTCGT-CTCAATGGCCGGAACAACAAGGGGTGGGTCAA-GCT
<i>Rhynchosete maculata</i>	CGGGTTTGT-CTCAATGGCCGGAACAACAAGGGGTGGGTCAA-GCT
<i>Rhynchosete madrensis</i>	CGGGTTTGT-CTCAATGGCCGAAACAACAAGGGGTGGGTCAA-GCT
<i>Rhynchosete majalis</i>	CGGGTTTGT-CTCAATGGCCGGAACAACGAGGGGTGGGTCAA-GCT
<i>Rhynchosete pygmaea</i>	CTGGTTTGT-CTCAATGGCCGGAACAACGAGGGGTGGGTCAA-GCT
<i>Rhynchosete rossii</i>	CGGGTTTGT-CTCAATGGCCGGAACAACAAGGGGTGGGTCAA-GCT
<i>Rhynchosete stellata</i>	CTGGTTTGT-CTCAATGGCCGGAACAACAAGGGGTGGGTCAA-GCT
<i>Rhynchosete uroskinneri</i>	CGGGTTTGT-CTCAATGGCCGGAACAACAATGGGTGGGTCAA-GCT
	669    674    679    684    689    694    699    704    709    714
<i>Tolumnia pulchella</i>	CTGATTGCAGCCTACGTTGTCTCGTAC--TGTCCCGAGAAAAATA--TT
<i>Erycina echinata</i>	CTGATTGCAGCCTGCCTTGTCCTCGTGC--CGCCGCGAGAGATAGA--TT
<i>Erycina pusilla</i>	CAAATTGTAGCCTATGTTGTCTGTGC--TGTCTGTGAGATATATAAATT
<i>Rhynchosete aptera</i>	CTGATTGCAGCCTGCCTTGTCCTCGTGC--CGTCGCGAGAGACAGA--TT
<i>Rhynchosete beloglossa</i>	CTGATTGCAGCCTGCCTTGTCCTCGTGC--CGCTGCGAGAGACATA--TT
<i>Rhynchosete biconiensis</i>	CTGATTGCAGCCTGCCTTGTCCTCGTGC--CGCCGCGAGAGACAGA--TT
<i>Rhynchosete candidula</i>	CTGATTGCAGCCTGCCTTGTCCTCGTGC--CGTCGCGAGAGACAGA--TT
<i>Rhynchosete cervantesii</i>	CTGATTGCAGCCTGCCTTGTCCTCGTGC--CGCCGCGAGAGACATA--TT
<i>Rhynchosete cordata</i>	CCGATTGCAGCCTGCCTTGTCCTCGTGC--CGCCGCGAGAGACAGA--TT
<i>Rhynchosete ehrenbergii</i>	ATGATTGCAGCCTGCCTTGTCCTCGTGC--CGCCGCGAGAGACATA--TT
<i>Rhynchosete galeottiana</i>	CTGATTGCAGCCTGCCTTGTCCTCGTGC--CGCCGCGAGAGACATA--TT
<i>Rhynchosete hortensiae</i>	CTGATTGCAGCCTGCCTTGTCCTCGTGC--CGCCGCGAGAGACAGA--TT
<i>Rhynchosete londesboroughiana</i>	CTGATTGCAGCCTGCCTTGTCCTCGTGC--CGCCGCGAGAGACAGA--TT

<i>Rhynchosetele</i>	<i>maculata</i>	CTGATTGCAGCCTGCCTTGTCTCGTGC--CGCCGCGAGAGACAGA--TT								
<i>Rhynchosetele</i>	<i>madrensis</i>	CTGATTGCAGCCTGCCTTGTCTCGTGC--CGCCGCGAGAGACAGA--TT								
<i>Rhynchosetele</i>	<i>majalis</i>	CTGATTGCAGCCTGCCTTGTCTCGTGC--TGTGCGAGAGACAGA--TT								
<i>Rhynchosetele</i>	<i>pygmaea</i>	CTGATTGCAGCCTGCCTTGTCTCGTGC--TGTGCGAGAGACAGA--TT								
<i>Rhynchosetele</i>	<i>rossii</i>	ATGATTGCAGCCTGCCTTGTCTCGTGC--CGCCGCGAGAGACATA--TT								
<i>Rhynchosetele</i>	<i>stellata</i>	CTGATTGCAGCCTGCCTTGTCTCGTGC--TGTGCGAGAGACAGA--TT								
<i>Rhynchosetele</i>	<i>uros Skinneri</i>	CTGATTGCAGCCTGCCTTGTCTCGTGC--CGCCGCGAGAGACAGA--TT								
<i>Tolumnia pulchella</i>	718	723	728	733	738	743	748	753	758	763
<i>Erycina echinata</i>	CCTTT-CATTGATCCCCGACCATGCGCTGCTCGGCATGCGGGCGCTTG									
<i>Erycina pusilla</i>	CCCTT-TGGCGATCCCCAACCATGCGCCGTCGGCATACGGCGGCTTG									
<i>Rhynchosetele aptera</i>	CCCTT-TATGTGATCCTGACCATGCCCTCCCCAGTGTGAGGCGGCTTG									
<i>Rhynchosetele beloglossa</i>	CCTTT-CATGTGATCCCCGACCATGCGCCGTCGGAATGCGGGCGCTTG									
<i>Rhynchosetele bictoniensis</i>	CCTTT-CATGTGATCCCCGACCATGCGCCGTCGGAATGCGGGCGGCTTG									
<i>Rhynchosetele candidula</i>	CCTTT-CATGTGATCCCCGACCATGCGCCGTCGGAATGCGGGCGGCTTG									
<i>Rhynchosetele cervantesii</i>	CCTTT-CATGTGATCCCCGACCATGCGCCGTCGGAATGCGGGCGGCTTG									
<i>Rhynchosetele cordata</i>	CCTTT-CATGTGATCCCCGACCATGCGCCGTCGGAATGCGGGCGGCTTG									
<i>Rhynchosetele ehrenbergii</i>	CCTTT-CATGTGATCCCCGACCATGCGCCGTCGGAATGCGGGCGGCTTG									
<i>Rhynchosetele galeottiana</i>	CCTTT-CATGTGATCCCCGACCATGCGCCGTCGGAATGCGGGCGGCTTG									
<i>Rhynchosetele hortensiae</i>	CCTTT-CATGTGATCCCCGACCATGCGCCGTCGGAATGCGGGCGGCTTG									
<i>Rhynchosetele londesboroughiana</i>	CCTTT-CATGTGATCCCCGACCATGCGCCGTCGGCATGCGGGCGGCTTG									
<i>Rhynchosetele maculata</i>	CCTTT-CATGTGATCCCCGACCATGCGCCGTCGGAATGCGGGCGGCTTG									
<i>Rhynchosetele madrensis</i>	CCTTT-CATGTGATCCCCGACCATGCGCCGTCGGAATGCGGGCGGCTTG									
<i>Rhynchosetele majalis</i>	CCTTT-CATGTGATCCCCGACCATGCGCCGCTAGGAATGCGGGCGGCTTG									
<i>Rhynchosetele pygmaea</i>	CCTTT-CATGTGATCCCCGACCATGTGCCGCTAGGAATGCGGGCGGCTTG									
<i>Rhynchosetele rossii</i>	CCTTT-CATGTGATCCCCGACCATGCGCCGTCGGAATGCGGGCGGCTTG									
<i>Rhynchosetele stellata</i>	CCTTT-CATGTGATCCCCGACCATGCGCCGCTAGGAATGCGGGCTGCTTG									
<i>Rhynchosetele uros Skinneri</i>	CCTTT-CATGTGATCCCCGACCATGCGCCGTCGGAATGCGGGCGGCTTG									
<i>Tolumnia pulchella</i>	767	772	777	782	787	792	797	802	807	812
<i>Erycina echinata</i>	GAATGCGACCCCAGGATGGCGAGGCCACCCGCCAGTTAAG-----									
<i>Erycina pusilla</i>	GAATGCGACCCCAGGATGGCGAGGCCACCCGCCAGTTAAGCATATT									
<i>Rhynchosetele aptera</i>	GAATGTGGCCCCAGGATGGCGAGGATACCCGCTGAGTTAAG-----									
	GAATGCGACCCCAGGATGGCGAGGAAACCCGCCAGTTAAG-----									

<i>Rhynchostele beloglossa</i>	GAATGCGACCCCAGGATGGGCAGGAAACCCGCCGAGTTAAG-----
<i>Rhynchostele biconiensis</i>	GAATGCGACCCCAGGATGGGCAGGAAACCCGCCGAGTTAAGCATATC
<i>Rhynchostele candidula</i>	GAATGCGACCCCAGGATGGGCAGGAAACCCGCCGAGTTAAG-----
<i>Rhynchostele cervantesii</i>	GAATGCGACCCCAGGATGGGCAGGAAACCCGCCGAGTTAAG-----
<i>Rhynchostele cordata</i>	GAATGCGACCCCAGGATGGGCAGGAAACCCGCCGAGTTAAG-----
<i>Rhynchostele ehrenbergii</i>	GAATGCGACCCCAGGATGGGCAGGAAACCCGCCGAGTTAAG-----
<i>Rhynchostele galeottiana</i>	GAATGCGACCCCAGGATGGGCAGGAAACCCGCCGAGTTAAG-----
<i>Rhynchostele hortensiae</i>	GAATGCGACCCCAGGATGGGCAGGAAACCCGCCGAGTTAAG-----
<i>Rhynchostele londesboroughiana</i>	GAATGCGACCCCAGGATGGGCAGGAAACCCGCCGAGTTAAGCATATC
<i>Rhynchostele maculata</i>	GAATGCGACCCCAGGATGGGCAGGAAACCCGCCGAGTTAAG-----
<i>Rhynchostele madrensis</i>	GAATGCGACCCCAGGATGGGCAGGAAACCCGCCGAGTTAAG-----
<i>Rhynchostele majalis</i>	GAATGCGACCCCAGGATGGGCAGGAAACCCGCCGAGTTAAG-----
<i>Rhynchostele pygmaea</i>	GAATGCGACCCCAGGATGGGCAG-----
<i>Rhynchostele rossii</i>	GAATGCGACCCCAGGATGGGCAGGAAACCCGCCGAGTTAAG-----
<i>Rhynchostele stellata</i>	GAATGCGACCCCAGGATGGGCAGGAAACCCGCCGAGTTAAG-----
<i>Rhynchostele uroskinneri</i>	GAATGCGACCCCAGGATGGGCAGGAAACCCGCCGAGTTAAG-----
	816    821    826    831    836    841    846    851    856    861
<i>Tolumnia pulchella</i>	-----?-----
<i>Erycina echinata</i>	AATAAGCGGAGG?-----
<i>Erycina pusilla</i>	-----?-----
<i>Rhynchostele aptera</i>	-----?-----
<i>Rhynchostele beloglossa</i>	-----?CTTCCCTCTAGATCTAGCTTCTTGGAAAGTTCCATC
<i>Rhynchostele biconiensis</i>	AATAAGCGGAGG?CTTCCCTCTAGATCTAGCTTCTGTGGAAAGTTCCATT
<i>Rhynchostele candidula</i>	-----?-----
<i>Rhynchostele cervantesii</i>	-----?-----
<i>Rhynchostele cordata</i>	-----?-----
<i>Rhynchostele ehrenbergii</i>	-----?-----
<i>Rhynchostele galeottiana</i>	-----?-----
<i>Rhynchostele hortensiae</i>	-----?-----
<i>Rhynchostele londesboroughiana</i>	AATAAGCGGAGG?-----
<i>Rhynchostele maculata</i>	-----?-----
<i>Rhynchostele madrensis</i>	-----?-----
<i>Rhynchostele majalis</i>	-----?-----
<i>Rhynchostele pygmaea</i>	-----?-----
<i>Rhynchostele rossii</i>	-----?-----

*Rhynchosstele stellata*  
*Rhynchosstele uroskinneri*

*Tolumnia pulchella*  
*Erycina echinata*  
*Erycina pusilla*  
*Rhynchosstele aptera*  
*Rhynchosstele beloglossa*  
*Rhynchosstele bictoniensis*  
*Rhynchosstele candidula*  
*Rhynchosstele cervantesii*  
*Rhynchosstele cordata*  
*Rhynchosstele ehrenbergii*  
*Rhynchosstele galeottiana*  
*Rhynchosstele hortensiae*  
*Rhynchosstele londesboroughiana*  
*Rhynchosstele maculata*  
*Rhynchosstele madrensis*  
*Rhynchosstele majalis*  
*Rhynchosstele pygmaea*  
*Rhynchosstele rossii*  
*Rhynchosstele stellata*  
*Rhynchosstele uroskinneri*

*Tolumnia pulchella*  
*Erycina echinata*  
*Erycina pusilla*  
*Rhynchosstele aptera*

*Rhynchosstele beloglossa*  
*Rhynchosstele bictoniensis*  
*Rhynchosstele candidula*  
*Rhynchosstele cervantesii*  
*Rhynchosstele cordata*

<i>Rhynchosetele ehrenbergii</i>	-----
<i>Rhynchosetele galeottiana</i>	-----
<i>Rhynchosetele hortensiae</i>	-----
<i>Rhynchosetele londesboroughiana</i>	-----
<i>Rhynchosetele maculata</i>	-----
<i>Rhynchosetele madrensis</i>	-----
<i>Rhynchosetele majalis</i>	-----
<i>Rhynchosetele pygmaea</i>	-----
<i>Rhynchosetele rossii</i>	-----
<i>Rhynchosetele stellata</i>	-----
<i>Rhynchosetele uroskinneri</i>	-----
	963    968    973    978    983    988    993    998    1003    1008
<i>Tolumnia pulchella</i>	-----
<i>Erycina echinata</i>	-----
<i>Erycina pusilla</i>	-----
<i>Rhynchosetele aptera</i>	-----
	GATTGCTATCTTGGACTTAGGTGCTTTGCTTCTATCCGAATT
<i>Rhynchosetele beloglossa</i>	GATTGCTATCTTGGACTTAGGTGCTTTGCTTCTATCCGAATT
<i>Rhynchosetele biconiensis</i>	-----
<i>Rhynchosetele candidula</i>	-----
<i>Rhynchosetele cervantesii</i>	-----
<i>Rhynchosetele cordata</i>	-----
<i>Rhynchosetele ehrenbergii</i>	-----
<i>Rhynchosetele galeottiana</i>	-----
<i>Rhynchosetele hortensiae</i>	-----
<i>Rhynchosetele londesboroughiana</i>	-----
<i>Rhynchosetele maculata</i>	-----
<i>Rhynchosetele madrensis</i>	-----
<i>Rhynchosetele majalis</i>	-----
<i>Rhynchosetele pygmaea</i>	-----
<i>Rhynchosetele rossii</i>	-----
<i>Rhynchosetele stellata</i>	-----
<i>Rhynchosetele uroskinneri</i>	-----
	1012    1017    1022    1027    1032    1037    1042    1047    1052    1057

<i>Tolumnia pulchella</i>	-----
<i>Erycina echinata</i>	-----
<i>Erycina pusilla</i>	-----
<i>Rhynchosete aptera</i>	-----
<i>Rhynchosete beloglossa</i>	TTCGTTCTTATCATAAAAGTTCTCCCCGCCAATGAATGATAAGTGCC
<i>Rhynchosete bictoniensis</i>	TTCGTTCTTATCATAAAAGTTCTCCCCGCCAATGAATGATAAGTGCC
<i>Rhynchosete candidula</i>	-----
<i>Rhynchosete cervantesii</i>	-----
<i>Rhynchosete cordata</i>	-----
<i>Rhynchosete ehrenbergii</i>	-----
<i>Rhynchosete galeottiana</i>	-----
<i>Rhynchosete hortensiae</i>	-----
<i>Rhynchosete londesboroughiana</i>	-----
<i>Rhynchosete maculata</i>	-----
<i>Rhynchosete madrensis</i>	-----
<i>Rhynchosete majalis</i>	-----
<i>Rhynchosete pygmaea</i>	-----
<i>Rhynchosete rossii</i>	-----
<i>Rhynchosete stellata</i>	-----
<i>Rhynchosete uroskinneri</i>	-----

<i>Tolumnia pulchella</i>	1061	1066	1071	1076	1081	1086	1091	1096	1101	1106
<i>Erycina echinata</i>	-GTGACACGTTCACTAAAAAAAATCCTTTGTAGCTAA-TCATTTATC									
<i>Erycina pusilla</i>	-GTGACACGTTCACTAAAAAAAATCCTTTGTAGCTAA-TCATTTATC									
<i>Rhynchosete aptera</i>	-GTGACACGTTCACTAAAAAAAATCCTTTGTAGCTAA-TCATTTATC									
<i>Rhynchosete beloglossa</i>	TAGGTGAAGTATAGTATAAGATAAGTCAAAAAAGTCTAAGTCTCTGAA									
<i>Rhynchosete bictoniensis</i>	TAGGTGAAGTATAGTATAAGATAAGTCTAGCTAAAGTCTAAGTCTTATGAA									
<i>Rhynchosete candidula</i>	-GTGACACGTTCACTAAAAAAAATCCTTTGTAGCTAA-TCATTTATC									
<i>Rhynchosete cervantesii</i>	-GTGACACGTTCACTAAAAAAAATCCTTTGTAGCTAA-TCATTTATC									
<i>Rhynchosete cordata</i>	-GTGACACGTTCACTAAAAAAAATCCTTTGTAGCTAA-TCATTTATC									
<i>Rhynchosete ehrenbergii</i>	-GTGACACGTTCACTAAAAAAAATCCTTTGTAGCTAA-TCATTTATC									
<i>Rhynchosete galeottiana</i>	-GTGACACGTTCACTAAAAAAAATCCTTTGTAGCTAA-TCATTTATC									
<i>Rhynchosete hortensiae</i>	-----									
<i>Rhynchosete londesboroughiana</i>	-GTGACACGTTCACTAAAAAAAATCCTTTGTAGATAA-TCATTTATC									
<i>Rhynchosete maculata</i>	-GTGACACGTTCACTAAAAAAAATCCTTTGTAGCTAA-TCATTTATC									

<i>Rhynchosetele madrensis</i>	-GTGACACGTTCACTCAAAAAAAATCCTTGAGCTAA-TCATTTATC
<i>Rhynchosetele majalis</i>	-GTGACACGTTCACTCAAAAAAAATCCTTGAGCTAA-TCATTTATC
<i>Rhynchosetele pygmaea</i>	-GTGACACGTTCACTCAAAAAAAATCCTTGAGCTAA-TCATTTATC
<i>Rhynchosetele rossii</i>	-GTGACACGTTCACTCAAAAAAAATCCTTGAGCTAA-TCATTTATC
<i>Rhynchosetele stellata</i>	-GTGACACGTTCACTCAAAAAAAATCCTTGAGCTAA-TCATTTATC
<i>Rhynchosetele uroskinneri</i>	-GTGACACGTTCACTCAAAAAAAATCCTTGAGCTAA-TCATTTATC
<i>Tolumnia pulchella</i>	1110 1115 1120 1125 1130 1135 1140 1145 1150 1155
<i>Erycina echinata</i>	
<i>Erycina pusilla</i>	GGGAAGAATTGAAAAACTCA-ACAGGAGGGAGGAGAAAGAAATCATAGT
<i>Rhynchosetele aptera</i>	GGGAAGAATTGAAAAACTCA-ACAGGAGGGAGGAGAAAGAAATCATAGT
<i>Rhynchosetele beloglossa</i>	GGGAAGAATTGAAAAACTCA-ACAGGAGGGAGGAGAAAGAAATCATAGT
<i>Rhynchosetele biconiensis</i>	 -----
<i>Rhynchosetele candidula</i>	AAATAAAATAATACCTATACTCTGACTATAAGATAAAGACTCTAA
<i>Rhynchosetele cervantesii</i>	AAAGAAAAGAAATATACCTATACTCTGACTATAAGATAAAGACTCTAA
<i>Rhynchosetele cordata</i>	GGGAAGAATTGAAAAACTCA-ACAGGAGGGAGGAGAAAGAAATCATAGT
<i>Rhynchosetele ehrenbergii</i>	GGGAAGAATTGAAAAACTCA-ACAGGAGGGAGGAGAAAGAAATCATAGT
<i>Rhynchosetele galeottiana</i>	GGGAAGAATTGAAAAACTCA-ACAGGAGGGAGGAGAAAGAAATCATAGT
<i>Rhynchosetele hortensiae</i>	GGGAAGAATTGAAAAACTCA-ACAGGAGGGAGGAGAAAGAAATCATAGT
<i>Rhynchosetele londesboroughiana</i>	GGGAAGAATTGAAAAACTCA-ACAGGAGGGAGGAGAAAGAAATCATAGT
<i>Rhynchosetele maculata</i>	GGGAAGAATTGAAAAACTCA-ACAGGAGGGAGGAGAAAGAAATCATAGT
<i>Rhynchosetele madrensis</i>	GGGAAGAATTGATAAACTCA-ACAGGAGGGAGGAGAAAGAAATCATAGT
<i>Rhynchosetele majalis</i>	GGGAAGAATTGAAAAACTCA-ACAGGAGGGAGGAGAAAGAAATCATAGT
<i>Rhynchosetele pygmaea</i>	GGGAAGAATTGAAAAACTCA-ACAGGAGGGAGGAGAAAGAAATCATAGT
<i>Rhynchosetele rossii</i>	GGGAAGAATTGAAAAACTCA-ACAGGAGGGAGGAGAAAGAAATCATAGT
<i>Rhynchosetele stellata</i>	GGGAAGAATTGAAAAACTCA-ACAGGAGGGAGGAGAAAGAAATCATAGT
<i>Rhynchosetele uroskinneri</i>	GGGAAGAATTGAAAAACTCA-ACAGGAGGGAGGAGAAAGAAATCATAGT
<i>Tolumnia pulchella</i>	1159 1164 1169 1174 1179 1184 1189 1194 1199 1204
<i>Erycina echinata</i>	
<i>Erycina pusilla</i>	GACTTGGTCTCGGGCATCTACCATTATACCCACAATGATTGCCATACA
<i>Rhynchosetele aptera</i>	GACTTGGTCTCGGGCATCTACCATTATACCCACAATGATTGCCATACA
<i>Rhynchosetele beloglossa</i>	GACTTGGTCTCGGGCATCTACCATTATACCCACAATGATTGCCATACA
	GTCTAAATACTATTAATATAAGGCTTTCACATGAATATTTA--GTAGA

<i>Rhynchostele bictoniensis</i>	GTCTAAATACTATTAAGATAAGGCTTTCACATGAATATTAA--GTAGA
<i>Rhynchostele candidula</i>	GACTTGGTCTCGGCATCTACCAATTACCCACAATGATTGGCCATACA
<i>Rhynchostele cervantesii</i>	GACTTGGTCTCGGCATCTACCAATTACCCACAATGATTGGCCATACA
<i>Rhynchostele cordata</i>	GACTTGGTCTCGGCATCTACCAATTACCCACAATGATTGGCCATACA
<i>Rhynchostele ehrenbergii</i>	GACTTGGTCTCGGCATCTACCAATTACCCACAATGATTGGCCATACA
<i>Rhynchostele galeottiana</i>	GACTTGGTCTCGGCATCTACCAATTACCCACAATGATTGGCCATACA
<i>Rhynchostele hortensiae</i>	-----
<i>Rhynchostele londesboroughiana</i>	GACTTGGTCTCGGCATCTACCAATTACCCACAATGATTGGCCATACA
<i>Rhynchostele maculata</i>	GACTTGGTCTCGGCATCTACCAATTACCCACAATGATTGGCCATACA
<i>Rhynchostele madrensis</i>	GACTTGGTCTCGGCATCTACCAATTACCCACAATGATTGGCCATACA
<i>Rhynchostele majalis</i>	GACTTGGTCTCGGCATCTACCAATTACCCACAATGATTGGCCATACA
<i>Rhynchostele pygmaea</i>	GACTTGGTCTCGGCATCTACCAATTACCCACAATGATTGGCCATACA
<i>Rhynchostele rossii</i>	GACTTGGTCTCGGCATCTACCAATTACCCACAATGATTGGCCATACA
<i>Rhynchostele stellata</i>	GACTTGGTCTCGGCATCTACCAATTACCCACAATGATTGGCCATACA
<i>Rhynchostele uroskinneri</i>	GACTTGGTCTCGGCATCTACCAATTACCCACAATGATTGGCCATACA
<i>Tolumnia pulchella</i>	1208 1213 1218 1223 1228 1233 1238 1243 1248 1253
<i>Erycina echinata</i>	
<i>Erycina pusilla</i>	ATCGCTATTCTATAATGGAAAGGAACATTTACCTATTATATCACAGATC
<i>Rhynchostele aptera</i>	ATCGCTATTCTATAATGGAAAGGAACATTTACCTATTATATCACAGATC
<i>Rhynchostele beloglossa</i>	ATCGCTATTCTATAATGGAAAGGAACATTTACCTATTATATCACAGATC
<i>Rhynchostele bictoniensis</i>	-----
<i>Rhynchostele candidula</i>	ACGACTAACGACGAGATTATTATCGTTT-CTCGCGTGTCTCACGAAAG
<i>Rhynchostele cervantesii</i>	ACGACTAACGACGAGATTATTATCGTTT-CTCGCGTGTCTCACGAAAG
<i>Rhynchostele cordata</i>	ATCGCTATTCTATAATGGAAAGGAACATTTACCTATTATATCACAGATC
<i>Rhynchostele ehrenbergii</i>	ATCGCTATTCTATAATGGAAAGGAACATTTACCTATTATATCACAGATC
<i>Rhynchostele galeottiana</i>	ATCGCTATTCTATAATGGAAAGGAACATTTACCTATTATATCACAGATC
<i>Rhynchostele hortensiae</i>	ATCGCTATTCTATAATGGAAAGGAACATTTACCTATTATATCACAGATC
<i>Rhynchostele londesboroughiana</i>	-----
<i>Rhynchostele maculata</i>	ATCGCTATTCTATAATGGAAAGGAACATTTACCTATTATATCACAGATC
<i>Rhynchostele madrensis</i>	ATCGCTATTCTATAATGGAAAGGAACATTTACCTATTATATCACAGATC
<i>Rhynchostele majalis</i>	ATCGCTATTCTATAATGGAAAGGAACATTTACCTATTATATCACAGATC
<i>Rhynchostele pygmaea</i>	ATCGCTATTCTATAATGGAAAGGAACATTTACCTATTATATCACAGATC
<i>Rhynchostele rossii</i>	ATCGCTATTCTATAATGGAAAGGAACATTTACCTATTATATCACAGATC
<i>Rhynchostele stellata</i>	ATCGCTATTCTATAATGGAAAGGAACATTTACCTATTATATCACAGATC

*Rhynchostele uroskinneri*

ATCGCTATTCTATAATGGAAAGGAACATTACCTATTATACAGATC

1257 1262 1267 1272 1277 1282 1287 1292 1297 1302

| | | | | | | | | |  
GTATGGTCGGTCACAAATTGGGAGAATTGC-ACCTACTATAACTTCG  
GTATGGTCGGTCACAAATTGGGAGAATTGC-ACCTACTATAACTTCG  
GTATGGTCGGTCACAAATTGGGAGAATTGC-ACCTACTATAACTTCG

-----  
TTATAGTAGGT-GCAAATTCTCCAATTGTGACCGACCACGATCTG  
TTATAGTAGGT-GCAAATTCTCCAATTGTGACCGACCACGATCTG  
GTATGGTCGGTCACAAATTGGGAGAATTGC-ACCTACTATAACTTCG  
GTATGGTCGGTCACAAATTGGGAGAATTGC-ACCTACTATAACTTCG  
GTATGGTCGGTCACAAATTGGGAGAATTGC-ACCTACTATAACTTCG  
GTATGGTCGGTCACAAATTGGGAGAATTGC-ACCTACTATAACTTCG  
GTATGGTCGGTCACAAATTGGGAGAATTGC-ACCTACTATAACTTCG

-----  
GTATGGTCGGTCACAAATTGGGAGAATTGC-ACCTACTATAACTTCG  
GTATGGTCGGTCACAAATTGGGAGAATTGC-ACCTACTATAACTTCG  
GTATGGTCGGTCACAAATTGGGAGAATTGC-ACCTACTATAACTTCG  
GTATGGTCGGTCACAAATTGGGAGAATTGC-ACCTACTATAACTTCG  
GTATGGTCGGTCACAAATTGGGAGAATTGC-ACCTACTATAACTTCG  
GTATGGTCGGTCACAAATTGGGAGAATTGC-ACCTACTATAACTTCG  
GTATGGTCGGTCACAAATTGGGAGAATTGC-ACCTACTATAACTTCG

1306 1311 1316 1321 1326 1331 1336 1341 1346 1351  
| | | | | | | | | |

TGAGACACGCAAG-AGACGATAATAATCTCGTCGTTAG-----  
TGAGACACCGCAG-AAACGATAATAATCTCGTCGTTAG-----  
TTAGACACGCGAG-AAACGATAATAATCTCGTCGTTAG-----

-----  
TGATATAAATAGGTAAATGTTCCATTATGAATAGCGATTGTATG  
TGATATAAATAGGTAAATGTTCCATTATGAATAGCGATTGTATG  
TGAGACACGCGAG-AAACGATAATAATCTCGTCGTTAG-----  
TGAGACACGCGAG-AAACGATAATAATCTCGTCGTTAG-----  
TGAGACACGCGAG-AAACGATAATAATCTCGTCGTTAG-----  
TGAGACACGCGAG-AAACGATAATAATCTCGTCGTTAG-----

*Tolumnia pulchella*

*Erycina echinata*

*Erycina pusilla*

*Rhynchostele aptera*

*Rhynchostele beloglossa*

*Rhynchostele biconiensis*

*Rhynchostele candidula*

*Rhynchostele cervantesii*

*Rhynchostele cordata*

*Rhynchostele ehrenbergii*

*Rhynchostele galeottiana*

*Rhynchostele hortensiae*

*Rhynchostele londesboroughiana*

*Rhynchostele maculata*

*Rhynchostele madrensis*

*Rhynchostele majalis*

*Rhynchostele pygmaea*

*Rhynchostele rossii*

*Rhynchostele stellata*

*Rhynchostele uroskinneri*

*Tolumnia pulchella*

*Erycina echinata*

*Erycina pusilla*

*Rhynchostele aptera*

*Rhynchostele beloglossa*

*Rhynchostele biconiensis*

*Rhynchostele candidula*

*Rhynchostele cervantesii*

*Rhynchostele cordata*

*Rhynchostele ehrenbergii*

<i>Rhynchosetele galeottiana</i>	TGAGACACCGCAG-AAACGATAATAAATCTCGTCGTTAG-----
<i>Rhynchosetele hortensiae</i>	-----
<i>Rhynchosetele londesboroughiana</i>	TGAGACACCGCAG-AAACGATAATAAATCTCGTCGTTAG-----
<i>Rhynchosetele maculata</i>	TGAGACACCGCAG-AAACGATAATAAATCTCGTCGTTAG-----
<i>Rhynchosetele madrensis</i>	TGAGACACCGCAG-AAACGATAATAAATCTCGTCGTTAG-----
<i>Rhynchosetele majalis</i>	TGAGACACCGCAG-AAACGATAATAAATCTCGTCGTTAG-----
<i>Rhynchosetele pygmaea</i>	TGAGACACCGCAG-AAACGATAATAAATCTCGTCGTTAG-----
<i>Rhynchosetele rossii</i>	TGAGACACCGCAG-AAACGATAATAAATCTCGTCGTTAG-----
<i>Rhynchosetele stellata</i>	TGAGACACCGCAG-AAACGATAATAAATCTCGTCGTTAG-----
<i>Rhynchosetele uroskinneri</i>	TGAGACACCGCAG-AAACGATAATAAATCTCGTCGTTAG-----
1355 1360 1365 1370 1375 1380 1385 1390 1395 1400	
<i>Tolumnia pulchella</i>	
<i>Erycina echinata</i>	-----
<i>Erycina pusilla</i>	-----
<i>Rhynchosetele aptera</i>	-----
<i>Rhynchosetele beloglossa</i>	GCCAATCATTGTGGGTATAATGGTAGATGCCGAGACCAAGTCACTATG
<i>Rhynchosetele biconiensis</i>	GCCAATCATTGTGGGTATAATGGTAGATGCCGAGACCAAGTCACTATG
<i>Rhynchosetele candidula</i>	-----
<i>Rhynchosetele cervantesii</i>	-----
<i>Rhynchosetele cordata</i>	-----
<i>Rhynchosetele ehrenbergii</i>	-----
<i>Rhynchosetele galeottiana</i>	-----
<i>Rhynchosetele hortensiae</i>	-----
<i>Rhynchosetele londesboroughiana</i>	-----
<i>Rhynchosetele maculata</i>	-----
<i>Rhynchosetele madrensis</i>	-----
<i>Rhynchosetele majalis</i>	-----
<i>Rhynchosetele pygmaea</i>	-----
<i>Rhynchosetele rossii</i>	-----
<i>Rhynchosetele stellata</i>	-----
<i>Rhynchosetele uroskinneri</i>	-----
1404 1409 1414 1419 1424 1429 1434 1439 1444 1449	
<i>Tolumnia pulchella</i>	

*Erycina echinata*  
*Erycina pusilla*  
*Rhynchosstele aptera*  
*Rhynchosstele beloglossa*  
*Rhynchosstele biconiensis*  
*Rhynchosstele candidula*  
*Rhynchosstele cervantesii*  
*Rhynchosstele cordata*  
*Rhynchosstele ehrenbergii*  
*Rhynchosstele galeottiana*  
*Rhynchosstele hortensiae*  
*Rhynchosstele londesboroughiana*  
*Rhynchosstele maculata*  
*Rhynchosstele madrensis*  
*Rhynchosstele majalis*  
*Rhynchosstele pygmaea*  
*Rhynchosstele rossii*  
*Rhynchosstele stellata*  
*Rhynchosstele uroskinneri*

ATTTCTTCTCCTCCCTCCTGTTGAGTTTCAATTCTTCCCGATAAA  
ATTTCTTCTCCTCCCTCCTGTTGAGTTTCAATTCTTCCCGATAAA

1453 1458 1463 1468 1473 1478 1483 1488 1493 1498

*Tolumnia pulchella*  
*Erycina echinata*  
*Erycina pusilla*  
*Rhynchostele aptera*

-----  
-----  
-----

*Rhynchosstele beloglossa*  
*Rhynchosstele bictoniensis*  
*Rhynchosstele candidula*  
*Rhynchosstele cervantesii*  
*Rhynchosstele cordata*  
*Rhynchosstele ehrenbergii*  
*Rhynchosstele galeottiana*  
*Rhynchosstele hortensiae*  
*Rhynchosstele londesboroughiana*  
*Rhynchosstele maculata*  
*Rhynchosstele madrensis*

GATTAGCTACAAAAGGATTTTGAGTGAACGTGTCACGGCTGATTAA  
GATTAGCTACAAAAGGATTTTGAGTGAACGTGTCACGGCTGATTAA

---

---

---

---

---

---

---

---

---

*Rhynchosstele majalis*  
*Rhynchosstele pygmaea*  
*Rhynchosstele rossii*  
*Rhynchosstele stellata*  
*Rhynchosstele uroskinneri*

*Tolumnia pulchella*  
*Erycina echinata*  
*Erycina pusilla*  
*Rhynchosstèle aptera*

*Rhynchosstele beloglossa*  
*Rhynchosstele biconiensis*  
*Rhynchosstele candidula*  
*Rhynchosstele cervantesii*  
*Rhynchosstele cordata*  
*Rhynchosstele ehrenbergii*  
*Rhynchosstele galeottiana*  
*Rhynchosstele hortensiae*  
*Rhynchosstele londesboroughiana*  
*Rhynchosstele maculata*  
*Rhynchosstele madrensis*  
*Rhynchosstele majalis*  
*Rhynchosstele pygmaea*  
*Rhynchosstele rossii*  
*Rhynchosstele stellata*  
*Rhynchosstele uroskinneri*

*Tolumnia pulchella*  
*Erycina echinata*  
*Erycina pusilla*  
*Rhynchosstele aptera*  
*Rhynchosstele beloglossa*  
*Rhynchosstele bictoniensis*

---

---

---

---

---

A horizontal timeline diagram representing the reigns of various monarchs from 1502 to 1547. The timeline is marked with vertical tick marks at each year from 1502 to 1547. Below the timeline, three horizontal dashed lines represent different reigns. The top line starts at 1502 and ends at 1522, with a break between 1522 and 1532. The middle line starts at 1507 and ends at 1537, with a break between 1537 and 1542. The bottom line starts at 1512 and ends at 1547, with a break between 1542 and 1547.

CTCCTTTTACATTTTAAATTGGCATTCTATGTCCAATATCTCGA  
CTCCTTTTCCATTTTAAATTGGCATTCTATGTCCAATATCTCGA

---

---

---

---

---

---

---

---

---

---

---

---

---

1551 1556 1561 1566 1571 1576 1581 1586 1591 1596  
| | | | | | | | | | | |  
-----?TTACCTT  
-----?TTACCTT  
-----?

TCTTAATCTGAAGTATAATGATGAATGGAAAAAAGAGAAAA?TTACCTC  
TCTTAATCTGAAGTATAATGATGAATGGAAAAAAGAGAAAA?TTACCTC

<i>Rhynchosetele candidula</i>	-----	?TTACCTC
<i>Rhynchosetele cervantesii</i>	-----	?TTACCTC
<i>Rhynchosetele cordata</i>	-----	?TTACCTC
<i>Rhynchosetele ehrenbergii</i>	-----	?TTACCTC
<i>Rhynchosetele galeottiana</i>	-----	?TTACCTC
<i>Rhynchosetele hortensiae</i>	-----	
<i>Rhynchosetele londesboroughiana</i>	-----	?TTACCTC
<i>Rhynchosetele maculata</i>	-----	?TTACCTC
<i>Rhynchosetele madrensis</i>	-----	?TTACCTC
<i>Rhynchosetele majalis</i>	-----	?TTACCTC
<i>Rhynchosetele pygmaea</i>	-----	?TTACCTC
<i>Rhynchosetele rossii</i>	-----	?TTACCTC
<i>Rhynchosetele stellata</i>	-----	?TTACCTC
<i>Rhynchosetele uroskinneri</i>	-----	?TTACCTC
<i>Tolumnia pulchella</i>	1600 1605 1610 1615 1620 1625 1630 1635 1640 1645	
<i>Erycina echinata</i>		
<i>Erycina pusilla</i>	AAAAAAAAGGTCTCGATTATTACCTAAAGAATGCAAAATAGACTCAA	
<i>Rhynchosetele aptera</i>	AAAAAAAAGGTCTCGATTATTACCTAAAGAATGCAAAATAGACTCAA	
<i>Rhynchosetele beloglossa</i>	AAAAAAAAGGTCTCGATTATTACCTAAAGAATGCAAAATAGACTCAA	
<i>Rhynchosetele biconiensis</i>	AAAAAAAAGGTCTCGATTATTACCTAAAGAATGCAAAATAGACTCAA	
<i>Rhynchosetele candidula</i>	AAAAAAAAGGTCTCGATTATTACCTAAAGAATGCAAAATAGACTCAA	
<i>Rhynchosetele cervantesii</i>	AAAAAAAAGGTCTCGATTATTACCTAAAGAATGCAAAATAGACTCAA	
<i>Rhynchosetele cordata</i>	AAAAAAAAGGTCTCGATTATTACCTAAAGAATGCAAAATAGACTCAA	
<i>Rhynchosetele ehrenbergii</i>	AAAAAAAAGGTCTCGATTATTACCTAAAGAATGCAAAATAGACTCAA	
<i>Rhynchosetele galeottiana</i>	AAAAAAAAGGTCTCGATTATTACCTAAAGAATGCAAAATAGACTCAA	
<i>Rhynchosetele hortensiae</i>	AAAAAAAAGGTCTCGATTATTACCTAAAGAATGCAAAATAGACTCAA	
<i>Rhynchosetele londesboroughiana</i>	AAAAAAAAGGTCTCGATTATTACCTAAAGAATGCAAAATAGACTCAA	
<i>Rhynchosetele maculata</i>	AAAAAAAAGGTCTCGATTATTACCTAAAGAATGCAAAATAGACTCAA	
<i>Rhynchosetele madrensis</i>	AAAAAAAAGGTCTCGATTATTACCTAAAGAATGCAAAATAGACTCAA	
<i>Rhynchosetele majalis</i>	AAAAAAAAGGTCTCGATTATTACCTAAAGAATGCAAAATAGACTCAA	
<i>Rhynchosetele pygmaea</i>	AAAAAAAAGGTCTCGATTATTACCTAAAGAATGCAAAATAGACTCAA	
<i>Rhynchosetele rossii</i>	AAAAAAAAGGTCTCGATTATTACCTAAAGAATGCAAAATAGACTCAA	
<i>Rhynchosetele stellata</i>	AAAAAAAAGGTCTCGATTATTACCTAAAGAATGCAAAATAGACTCAA	
<i>Rhynchosetele uroskinneri</i>	AAAAAAAAGGTCTCGATTATTACCTAAAGAATGCAAAATAGACTCAA	

*Tolumnia pulchella*  
*Erycina echinata*  
*Erycina pusilla*  
*Rhynchostele aptera*  
*Rhynchostele beloglossa*  
*Rhynchostele biconiensis*  
*Rhynchostele candidula*  
*Rhynchostele cervantesii*  
*Rhynchostele cordata*  
*Rhynchostele ehrenbergii*  
*Rhynchostele galeottiana*  
*Rhynchostele hortensiae*  
*Rhynchostele londesboroughiana*  
*Rhynchostele maculata*  
*Rhynchostele madrensis*  
*Rhynchostele majalis*  
*Rhynchostele pygmaea*  
*Rhynchostele rossii*  
*Rhynchostele stellata*  
*Rhynchostele uroskinneri*

1649	1654	1659	1664	1669	1674	1679	1684	1689	1694
TAAACATCGTATGATTCAAAACAAGGAATCAAGCCAATTGGATTCTAT									
TAAACATCGTATGATTCAAAACAAGGAATCAAGCCAATTGGATTCTAT									
TAAACATCGTATGATTCAAAACACGGAATCAAGCCAATTGGATTCTAT									

---

1649	1654	1659	1664	1669	1674	1679	1684	1689	1694
TAAACATCGTATGATTCAAAACAAGGAATCAAGCCAATTGGATTCTAT									
TAAACATCGTATGATTCAAAACAAGGAATCAAGACAATTGGATTCTAT									
TAAACATCGTATGATTCAAAACAAGGAATCAAGCCAATTGGATTCTAT									
TAAACATCGTATGATTCAAAAAAAGGAATCAAGCCAATTGGATTCTAT									
TAAACATCGTATGATTCAAAACAAGGAATCAAGCCAATTGGATTCTAT									
TAAACATCGTATGATTCAAAAAAAGGAATCAAGCCAATTGGATTCTAT									
TAAACATCGTATGATTCAAAAAGAGGAATCAAGCCAATTGGATTCTAT									

---

1649	1654	1659	1664	1669	1674	1679	1684	1689	1694
TAAACATCGTATGATTCAAAACAAGGAATCAAGCCAATTGGATTCTAT									
TAAACATCGTATGATTCAAAACAAGGAATCAAGCCAATTGGATTCTAT									
TAAACATCGTATGATTCAAAACAAGGAATCAAGCCAATTGGATTCTAT									
TAAACATCGGATGATTCAAAACAAGGAATCAAGCCAATTGGATTCTAT									
TAAACATCGTATGATTCAAAACAAGGAATCGAGCCAATTGGATTCTAT									
TAAACATCGTATGATTCAAAAAAAGGAATCAAGCCAATTGGATTCTAT									
TAAACATCGTATGATTCAAAAACAAGGAATCGAGCCAATTGGATTCTAT									

---

*Tolumnia pulchella*  
*Erycina echinata*  
*Erycina pusilla*  
*Rhynchostele aptera*  
*Rhynchostele beloglossa*  
*Rhynchostele biconiensis*  
*Rhynchostele candidula*  
*Rhynchostele cervantesii*  
*Rhynchostele cordata*  
*Rhynchostele ehrenbergii*  
*Rhynchostele galeottiana*

1698	1703	1708	1713	1718	1723	1728	1733	1738	1743
AAAAAATACCAATTCAATTTCATTCCATTAAAAAAATGACTATGCAACGA									
AAAAAATACCAATTCAATTTCATTACATGAAAAAAATGACTATGCAACGA									
AAAAAATACCAATTCAATTTCATTCTATGAATAAAAATGATTATGCAACGA									

---

1698	1703	1708	1713	1718	1723	1728	1733	1738	1743
AAAAAATACCAATTCAATTTCATTCCATGAAAAAAATGACTATGCAACGA									
AAAAAATACCAATTCAATTTCATTCCATGAATAAAAATGACTATGCAACGA									
AAAAAATACCAATTCAATTTCATTCCATGAAAAAAATGACTATGCAACGA									
AAAAAATACCAATTCAATTTCATTCCATGAAAAAAATGACTCTGCAACGA									
AAAAAATACCAATTCAATTTCATTCCATGAAAAAAATGACTATGCAACGA									

<i>Rhynchosetele hortensiae</i>	-----
<i>Rhynchosetele londesboroughiana</i>	AAAAAAATACCAATTCA
<i>Rhynchosetele maculata</i>	TTTATTCCATGAATAAAAATGACTATGCAACGA
<i>Rhynchosetele madrensis</i>	AAAAAAATACCAATTCA
<i>Rhynchosetele majalis</i>	TTTATTCCATGAATAAAAATGACTATGCAACGA
<i>Rhynchosetele pygmaea</i>	AAAAAAATACCAATTCA
<i>Rhynchosetele rossii</i>	TATTGCCATGAAAAAAAATGACTATGCAACGA
<i>Rhynchosetele stellata</i>	AAAAAAATACCAATTCA
<i>Rhynchosetele uroskinneri</i>	TATTGCCATGAAAAAAAATGACTATGCAACGA
<i>Tolumnia pulchella</i>	1747 1752 1757 1762 1767 1772 1777 1782 1787 1792
<i>Erycina echinata</i>	
<i>Erycina pusilla</i>	ATTCATTTAT-----
<i>Rhynchosetele aptera</i>	GAGTCAAAAGACAAATGGAAAAAACATTACAG
<i>Rhynchosetele beloglossa</i>	ATTCATTTAT-----
<i>Rhynchosetele biconiensis</i>	GAGTCAAAAGACAAATGGAAAAAACATTACAG
<i>Rhynchosetele candidula</i>	ATTCATTTAT-----
<i>Rhynchosetele cervantesii</i>	GAGTGAAAAGACAAATGGAAAAAACCTTACAG
<i>Rhynchosetele cordata</i>	-----
<i>Rhynchosetele ehrenbergii</i>	ATTCATTTAT----- GAGTCAAAAGACAAATGGAAAAAACATTACAG
<i>Rhynchosetele galeottiana</i>	ATTCATTTAT----- GAGTCAAAAGACAAATGGAAAAAACATTACAG
<i>Rhynchosetele hortensiae</i>	ATTCATTTAT----- GAGTCAAAAGACAAATGGAAAAAACATTACAG
<i>Rhynchosetele londesboroughiana</i>	ATTCATTTAT----- GAGTCAAAAGACAAATGGAAAAAACATTACAG
<i>Rhynchosetele maculata</i>	ATTCATTTAT----- GAGTCAAAAGACAAATGGAAAAAACATTACAG
<i>Rhynchosetele madrensis</i>	ATTCATTTAT----- GAGTCAAAAGACAAATGGAAAAAACATTACAG
<i>Rhynchosetele majalis</i>	ATTCATTTAT----- GAGTAAAAAAGACAAATGGAAAAAACATTACAG
<i>Rhynchosetele pygmaea</i>	ATTCATTTAT----- GAGTAAAAAAGACAAATGGAAAAAACATTACAG
<i>Rhynchosetele rossii</i>	ATTCATTTAT----- GAGTAAAAAAGACAAATGGAAAAAACATTACAG
<i>Rhynchosetele stellata</i>	ATTCATTTAT----- GAGTAAAAAAGACAAATGGAAAAAACATTACAG
<i>Rhynchosetele uroskinneri</i>	ATTCATTTAT----- GAGTAAAAAAGACAAATGGAAAAAACATTACAG
<i>Tolumnia pulchella</i>	1796 1801 1806 1811 1816 1821 1826 1831 1836 1841
<i>Erycina echinata</i>	
	ATATGATCTTTATCATATAAATACATAAGCCTCCCTAATTACACT
	ATATGATCTTTATCATATAAATACATAAGCCTCCCTAATTACATT

<i>Erycina pusilla</i>	ATATGATCTTTATCATATAAACATAAGCTCCGAATGTATAC
<i>Rhynchostele aptera</i>	-----
<i>Rhynchostele beloglossa</i>	ATATGATCTTTATCATATAAACATAAGCCTCCCTAATTATAC
<i>Rhynchostele bictoniensis</i>	ATATGATCTTTATCATATAAACATAAGCCTCCCTAATTATAC
<i>Rhynchostele candidula</i>	ATATGATCTTTATCATATAAACATAAGCCTCCCTAATTATAC
<i>Rhynchostele cervantesii</i>	ATATGATCTTTATCATCTAAATACATAAGCCTCCCTAATTATAC
<i>Rhynchostele cordata</i>	ATATGATCTTTATCATATAAACATAAGCCTCCCTAATTATAC
<i>Rhynchostele ehrenbergii</i>	ATATGATCTTTATCATATAAACATAAGCCTCCCTAATTATAC
<i>Rhynchostele galeottiana</i>	ATATGATCTTTATCATATAAACATAAGCCTCCCTAATTATAC
<i>Rhynchostele hortensiae</i>	-----
<i>Rhynchostele londesboroughiana</i>	ATATGATCTTTATCATATAAACATAAGCCTCCCTAATTATAC
<i>Rhynchostele maculata</i>	ATATGATCTTTATCATATAAACATAAGCCTCCCTAATTATAC
<i>Rhynchostele madrensis</i>	ATATGATCTTTATCATATAAACATAAGCCTCCCTAATTATAC
<i>Rhynchostele majalis</i>	ATATGATCTTTATCATATAAACATAAGCCTCCCTAATTATAC
<i>Rhynchostele pygmaea</i>	ATATGATCTTTATCATATAAACATAAGCCTCCCTAATTATAC
<i>Rhynchostele rossii</i>	ATATGATCTTTATCATATAAACATAAGCCTCCCTAATTATAC
<i>Rhynchostele stellata</i>	ATATGATCTTTATCATATAAACATAAGCCTCCCTAATTATAC
<i>Rhynchostele uroskinneri</i>	ATATGATCTTTATCATATAAACATAAGCCTCCCTAATTATAC
<i>Tolumnia pulchella</i>	1845 1850 1855 1860 1865 1870 1875 1880 1885 1890
<i>Erycina echinata</i>	
<i>Erycina pusilla</i>	TCTGGATCAACATTAGAAAAAAACGGGGACCAAGAAATTCCATATCATT
<i>Rhynchostele aptera</i>	TCTGGATCAACATTAGAAAAAAACGGGGACCAAGAAATTACATATCATT
<i>Rhynchostele beloglossa</i>	TCTGGATCAACATTAAAAAAAAACGGGGACCAAGAAATTCCATATCATT
<i>Rhynchostele bictoniensis</i>	-----
<i>Rhynchostele candidula</i>	TCTGGATCAACATTAGAAAAAAACGGGGACCAAGAAATTCCATATAATT
<i>Rhynchostele cervantesii</i>	TCTGGATCAACATTAGAAAAAAACGGGGACCAAGAAATTCCATATAATT
<i>Rhynchostele cordata</i>	TCTGGATCAACATTAGAAAAAAACGGGGACCAAGAAATTCCATATAATT
<i>Rhynchostele ehrenbergii</i>	TCTGGATCAACATTAGAAAAAAACGGGGACCAAGAAATTCCATATAATT
<i>Rhynchostele galeottiana</i>	TCTGGATCAACATTAGAAAAAAACGGGGACCAAGAAATTCCATATAATT
<i>Rhynchostele hortensiae</i>	-----
<i>Rhynchostele londesboroughiana</i>	TCTGGATCAACATTAGAAAAAAACGGGGACCAAGAAATTCCATATAATT
<i>Rhynchostele maculata</i>	TCTGGATCAACATTAGAAAAAAACGGGGACCAAGAAATTCCATATAATT
<i>Rhynchostele madrensis</i>	TCTGGATCAACATTAGAAAAAAACGGGGACCAAGAAATTCCATATAATT
<i>Rhynchostele majalis</i>	TCTGGATCAACATTAGAAAAAAACGGGGACCAAGAAATTCCATATAATT

<i>Rhynchosetele pygmaea</i>	TCTGGATCACATTAGAAAAACGGGGACCAAGAAATTCCATATAATT
<i>Rhynchosetele rossii</i>	TCTGGATCACATTAGAAAAACGGGGACCAAGAAATTCCATATAATT
<i>Rhynchosetele stellata</i>	TCTGGATCACATTAGAAAAACGGGGACCAAGAAATTCCATATAATT
<i>Rhynchosetele uroskinneri</i>	TCTGGATCACATTAGAAAAACGGGGACCAAGAAATTCCATATAAAT
<i>Tolumnia pulchella</i>	1894 1899 1904 1909 1914 1919 1924 1929 1934 1939
<i>Erycina echinata</i>	
<i>Erycina pusilla</i>	TCAATACATTGAAACCTGAATCATTGATATATTGGAAGTATACCAAT
<i>Rhynchosetele aptera</i>	TCAATACATCGAAACCTGAATCATTGATATATTGGAAGTATACCGAT
<i>Rhynchosetele beloglossa</i>	TCAATACATCAAAACCTGAATCATTATATTAGTAACTATACCGAT
 	-----
<i>Rhynchosetele bictoniensis</i>	TCAATACATCGAAACCTGAATCATTATATTGGAAGTATACCGAT
<i>Rhynchosetele candidula</i>	TCAATACATCGAAACCTGAATCATTATATTGGAAGTATACCGAT
<i>Rhynchosetele cervantesii</i>	TCAATACATCGAAACCTGAATCATTATATTGGAAGTATACCGAT
<i>Rhynchosetele cordata</i>	TCAATACATCGAAACCTGAATCATTATATTGGAAGTATACCGAT
<i>Rhynchosetele ehrenbergii</i>	TCAATACATCGAAACCTGAATCATTATATTGGAAGTATACCGAT
<i>Rhynchosetele galeottiana</i>	TCAATACATCGAAACCTGAATCATTATATTGGAAGTATACCGAT
<i>Rhynchosetele hortensiae</i>	TCAATACATCGAAACCTGAATCATTATATTGGAAGTATACCGAT
 	-----
<i>Rhynchosetele londesboroughiana</i>	TCAATACATCGAAACCTGAATCATTATATTGGAAGTATACCGAT
<i>Rhynchosetele maculata</i>	TCAATACATCAAAACCTGAATCATTATATTGGAAGTATACCGAT
<i>Rhynchosetele madrensis</i>	TCAATACATCAAAACCTGAATCATTATATTGGAAGTATACCGAT
<i>Rhynchosetele majalis</i>	TCAATACATCGAAACCTGAATCATTATATTGGAAGTATACCAAT
<i>Rhynchosetele pygmaea</i>	TCAATACATCGAAACCTGAATCATTATATTGGAAGTATACCAAT
<i>Rhynchosetele rossii</i>	TCAATACATCGAAACCTGAATCATTATATTGGAAGTATACCGAT
<i>Rhynchosetele stellata</i>	TCAATACATCGAAACCTGAATCATTATATTGGAAGTATACCAAT
<i>Rhynchosetele uroskinneri</i>	TCAATACATCGAAACCTGAATCATTATATTGGAAGTATACCGAT
<i>Tolumnia pulchella</i>	1943 1948 1953 1958 1963 1968 1973 1978 1983 1988
<i>Erycina echinata</i>	
<i>Erycina pusilla</i>	TAATGATTATCGAGAAAAGGATATATTGATAGAAATACAAATATT
<i>Rhynchosetele aptera</i>	TAATAATTATCTAGAAAAGGATCTATTATTGATAGAAATACAAATATT
<i>Rhynchosetele beloglossa</i>	TAATAATTCTTAGAAAAGGAGATATTGATATAAATACAAATATT
 	-----
<i>Rhynchosetele bictoniensis</i>	TAATGATTATAGAAAAGGATATATTGATAGAAATACAAATATT
<i>Rhynchosetele candidula</i>	TAATGATTATCTAGAAAAGGATATATTGATATAAATACAAATATT

<i>Rhynchosetele cervantesii</i>	TAATGATTATCTAGAAAAAGGATATATTATTGATAGAAATACAAATATT
<i>Rhynchosetele cordata</i>	TAATAATTATCTAGAAAAAGGATATATTATTGATAGAAATACAAATATT
<i>Rhynchosetele ehrenbergii</i>	TAATGATTATCTAGAAAAAGGATATATTATTGATAGAAATACAAATATT
<i>Rhynchosetele galeottiana</i>	TAATGATTATCTAGAAAAAGGATATATTATTGATAGAAATACAAATATT
<hr/>	<hr/>
<i>Rhynchosetele hortensiae</i>	-----
<i>Rhynchosetele londesboroughiana</i>	TAATGATTATCTAGAAAAAGGATATATTATTGATAGAAATACAAATATT
<i>Rhynchosetele maculata</i>	TAATAATTATCTAGAAAAAGGATATATTATTGATAGAAATACAAATATT
<i>Rhynchosetele madrensis</i>	TAATAATTATCTAGAAAAAGGATATATTATTGATAGAAATACAAATATT
<i>Rhynchosetele majalis</i>	TAATGATTATCTAGAAAAAGGATATATTATTGATAGAAATACAAATATT
<i>Rhynchosetele pygmaea</i>	TAATGATTATCTAGAAAAAGGATATATTATTGATAGAAATACAAATATT
<i>Rhynchosetele rossii</i>	TAATGATTATCTAGAAAAAGGATATATTATTGATAGAAATACAAATATT
<i>Rhynchosetele stellata</i>	TAATGATTATCTAGAAAAAGGATATATTATTGATAGAAATACAAATATT
<i>Rhynchosetele uroskinneri</i>	TAATGATTATCTAGAAAAAGGATATATTATTGATATAAATACAAATATT
<i>Tolumnia pulchella</i>	1992 1997 2002 2007 2012 2017 2022 2027 2032 2037
<i>Erycina echinata</i>	
<i>Erycina pusilla</i>	TTGGATAGAAAATATTTGATTGTAGAATTCTTAATATTGTTTATAC
<hr/>	TTGGATAGAAAATATTTGATTGTAGAATTCTTCATATTGTTTATAC
<i>Rhynchosetele aptera</i>	TTGGATAGAAAATATTTGATTGTAGAATTCTTCATATTGTTTATAC
<i>Rhynchosetele beloglossa</i>	TTGGATAGAAAATATTTGATTGTAGAATTCTTCATATTGTTTATAC
<i>Rhynchosetele biconiensis</i>	TTGGATAGAAAATATTTGATTGTAGAATTCTTCATATTGTTTATAC
<i>Rhynchosetele candidula</i>	TTGGATAGAAAATATTTGATTGTAGAATTCTTCATATTGTTTATAC
<i>Rhynchosetele cervantesii</i>	TTGGATAGAAAATATTTGATTGTAGAATTCTTCATATTGTTTATAC
<i>Rhynchosetele cordata</i>	TTGGATAGAAAATATTTGATTGTAGAATTCTTCATATTGTTTATAC
<i>Rhynchosetele ehrenbergii</i>	TTGGATAGAAAATATTTGATTGTAGAATTCTTCATATTGTTTATAC
<i>Rhynchosetele galeottiana</i>	TTGGATAGAAAATATTTGATTGTAGAATTCTTCATATTGTTTATAC
<hr/>	<hr/>
<i>Rhynchosetele hortensiae</i>	TTGGATAGAAAATATTTGATTGTAGAATTCTTCATATTGTTTATAC
<i>Rhynchosetele londesboroughiana</i>	TTGGATAGAAAATATTTGATTGTAGAATTCTTCATATTGTTTATAC
<i>Rhynchosetele maculata</i>	TTGGATAGAAAATATTTGATTGTAGAATTCTTCATATTGTTTATAC
<i>Rhynchosetele madrensis</i>	TTGGATAGAAAATATTTGATTGTAGAATTCTTCATATTGTTTATAC
<i>Rhynchosetele majalis</i>	TTGGATAGAAAATATTTGATTGTAGAATTCTTCATATTGTTTATAC
<i>Rhynchosetele pygmaea</i>	TTGGATAGAAAATATTTGATTGTAGAATTCTTCATATTGTTTATAC
<i>Rhynchosetele rossii</i>	TTGGATAGAAAATATTTGATTGTAGAATTCTTCATATTGTTTATAC
<i>Rhynchosetele stellata</i>	TTGGATAGAAAATATTTGATTGTAGAATTCTTCATATTGTTTATAC
<i>Rhynchosetele uroskinneri</i>	TTGGATAGAAAATATTTGATTGTAGAATTCTTCATATTGTTTATAC



<i>Rhynchosetele londesboroughiana</i>	TATTGGCATCAAGATTCAAGAAAAAGACTAAGACTGAAATTACTCATTTC
<i>Rhynchosetele maculata</i>	TATTGGCATCAAGATTCAAGAAAAAGACTAAGACTGAAATTACTCATTTC
<i>Rhynchosetele madrensis</i>	TATTGGCATCAAGATTCAAGAAAAAGACTAAGACTGAAATTACTCATTTC
<i>Rhynchosetele majalis</i>	TATTGGCATCAAGATTCAAGAAAAAGACTAAGACTGAAATTACTCATTTC
<i>Rhynchosetele pygmaea</i>	TATTGGCATCAAGATTCAAGAAAAAGACTAAGACTGAAATTACTCATTTC
<i>Rhynchosetele rossii</i>	TATTGGCATCAATATTCAAGAAAAAGACTAAGACTGAAATTACTCATTTC
<i>Rhynchosetele stellata</i>	TATTGGCATCAAGATTCAAGAAAAAGACTAAGAATGAAATTACTCATTTC
<i>Rhynchosetele uroskinneri</i>	TATTGGCATCAAGATTCAAGAAAAAGACTAAGACTGAAATTACTCATTTC
	2139 2144 2149 2154 2159 2164 2169 2174 2179 2184
<i>Tolumnia pulchella</i>	AAAAAAATGGGAAAAAAAGA---TCTTTTTTATACGAAAGAGATCAAAC
<i>Erycina echinata</i>	AAAAAAATGGGAAAAAAATA---TTTGTTTATACGAAAGAGATCAAAC
<i>Erycina pusilla</i>	AAAAAAATGGGAAAAAAAATCTTTTTTATACGAAAGAGATCAAAC
<hr/>	<hr/>
<i>Rhynchosetele aptera</i>	AAAAAAATGGGAAAAAAATA---TTTTTTTATACGAAAGAGATCAAAC
<i>Rhynchosetele beloglossa</i>	AAAAAAATGGGAAAAAAATA---TTTTTTTATACGAAAGAGATCAAAC
<i>Rhynchosetele biconiensis</i>	AAAAAAATGGGAAAAAAATA---TTTTTTTATACGAAAGAGATCAAAC
<i>Rhynchosetele candidula</i>	CCCCAAATGGGAAAAAAATA---TTTTTTTATACGAAAGAGATCAAAC
<i>Rhynchosetele cervantesii</i>	CCCCAAATGGGAAAAAAATA---TTTTTTTATACGAAAGAGATCAAAC
<i>Rhynchosetele cordata</i>	CCCCAAATGGGAAAAAAATA---TTTTTTTATACGAAAGAGATCAAAC
<i>Rhynchosetele ehrenbergii</i>	CCCCAAATGGGAAAAAAATA---TTTTTTTATACGAAAGAGATCAAAC
<i>Rhynchosetele galeottiana</i>	CCCCAAATGGGAAAAAAATA---TTTTTTTATACGAAAGAGATCAAAC
<i>Rhynchosetele hortensiae</i>	CCCCAAATGGGAAAAAAATA---TTTTTTTATACGAAAGAGATCAAAC
<hr/>	<hr/>
<i>Rhynchosetele londesboroughiana</i>	AAAAAAATGGGAAAAAAATA---TTTTTTTATACGAAAGAGATCAAAC
<i>Rhynchosetele maculata</i>	CCCCAAATGGGAAAAAAATA---TTTTTTTATACGAAAGAGATCAAAC
<i>Rhynchosetele madrensis</i>	CCCCAAATGGGAAAAAAATA---TTTTTTTATACGAAAGAGATCAAAC
<i>Rhynchosetele majalis</i>	CCCCAAATGGGAAAAAAATA---TTTTTTTATACGAAAGAGATCAAAC
<i>Rhynchosetele pygmaea</i>	CCCCAAATGGGAAAAAAATA---TTTTTTTATACGAAAGAGATCAAAC
<i>Rhynchosetele rossii</i>	CCCCAAATGGGAAAAAAATA---TTTTTTTATACGAAAGAGATCAAAC
<i>Rhynchosetele stellata</i>	CCCCAAATGGGAAAAAAATA---TTTTTTTATACGAAAGAGATCAAAC
<i>Rhynchosetele uroskinneri</i>	CCCCAAATGGGAAAAAAATA---TTTTTTTATACGAAAGAGATCAAAC
	2188 2193 2198 2203 2208 2213 2218 2223 2228 2233
<i>Tolumnia pulchella</i>	CATGCAATCAAAAAGGTTATATAATACTGCATCAAATCATGACTAT
<i>Erycina echinata</i>	CATGCAATCAAAAAGATTATAATACTGCATCAAATCATGACTCT
<i>Erycina pusilla</i>	CATGCAATCAAAAAGGTCGATGACTGTATCAAATCATGACTCT

*Rhynchosstele aptera*  
*Rhynchosstele beloglossa*  
*Rhynchosstele biconiensis*  
*Rhynchosstele candidula*  
*Rhynchosstele cervantesii*  
*Rhynchosstele cordata*  
*Rhynchosstele ehrenbergii*  
*Rhynchosstele galeottiana*  
*Rhynchosstele hortensiae*  
*Rhynchosstele londesboroughiana*  
*Rhynchosstele maculata*  
*Rhynchosstele madrensis*  
*Rhynchosstele majalis*  
*Rhynchosstele pygmaea*  
*Rhynchosstele rossii*  
*Rhynchosstele stellata*  
*Rhynchosstele uroskinneri*

*Tolumnia pulchella*  
*Erycina echinata*  
*Erycina pusilla*  
*Rhynchosstele aptera*  
*Rhynchosstele beloglossa*  
*Rhynchosstele bictoniensis*  
*Rhynchosstele candidula*  
*Rhynchosstele cervantesii*  
*Rhynchosstele cordata*  
*Rhynchosstele ehrenbergii*  
*Rhynchosstele galeottiana*  
*Rhynchosstele hortensiae*  
*Rhynchosstele londesboroughii*  
*Rhynchosstele maculata*  
*Rhynchosstele madrensis*  
*Rhynchosstele majalis*  
*Rhynchosstele pygmaea*

2237 2242 2247 2252 2257 2262 2267 2272 2277 2282  
| | | | | | | | | | | |  
ATCCAATCTGGAAACTGGTTCTTCCAGAATTGTGTTACTTTTGAT  
ATCCAATCTGGAAACTGGTTCTTCCAGAATTGTGCTACTTTTGAT  
ATCCAATCTGGAAACTGGTTCTTCCAAAATTGTGCTACTTTTGAT  
  
-----  
ATCCAATCTGGATACTGGTTCTTCCAGAATTGTGCTACTTTTGAT  
ATCCAATCTGGAAACTGGTTCTTCCAGAATTGTGCTACTTTTGAT  
ATCCAATCTGGATACTGGTTCTTCCAGAATTGTGCTACTTTTGAT  
ATCCAATCTGGATACTGGTTCTTCCAGAATTGTGCTACTTTTGAT  
ATCCAATCTGGATACTGGTTCTTCCAGAATTGTGCTACTTTTGAT  
ATCCAATCTGGATACTGGTTCTTCCAGAATTGTGCTACTTTTGAT  
ATCCAATCTGGATACTGGTTCTTCCAGAATTGTGCTACTTTTGAT  
  
-----  
ATCCAATCTGGAAACTGGTTCTTCCAGAATTGTGCTACTTTTGAT  
ATCCAATCTGGATACTGGTTCTTCCAGAATTGTGCTACTTTTGAT  
ATCCAATCTGGATACTGGTTCTTCCAGAATTGTGCTACTTTTGAT  
ATCCAATCTGGATACTGGTTCTTCCAGAATTGTGCTACTTTTGAT  
ATCCAATCTGGATACTGGTTCTTCCAGAATTGTGCTACTTTTGAT

<i>Rhynchosetele rossii</i>	ATCCAATCTGGATACTTGGTTCTTCCCAGAATTGTGCTACTTTTGAT
<i>Rhynchosetele stellata</i>	ATCCAATCTGGATACTTGGTTCTTCCCAGAATTGTGCTACTTTTGAT
<i>Rhynchosetele uroskinneri</i>	ATCCAATCTGGAAACTTGGTTCTTCCCAGAATTGTGCTACTTTTGAT
<i>Tolumnia pulchella</i>	2286 2291 2296 2301 2306 2311 2316 2321 2326 2331
<i>Erycina echinata</i>	
<i>Erycina pusilla</i>	GTATATAAAAATTAAACCTTGGATCATCTCAATCAAATCACTTTTTTC
<i>Rhynchosetele aptera</i>	GTATATAAAAATTCAACCTTGGATCATCCCAATCAAATCACTTTTTTA
<i>Rhynchosetele beloglossa</i>	GTATATAAAAATTCAACCTTGGATCATCCCAATCAAATCACTTTTTTA
<i>Rhynchosetele bictoniensis</i>	GTATATAAAAATTCAACCTTGGATCATCCCAATCAAATCACTTTTTTA
<i>Rhynchosetele candidula</i>	GTATATAAAAATTCAACCTTGGATCATCCCAATCAAATCACTTTTTTA
<i>Rhynchosetele cervantesii</i>	GTATATAAAAATTCAACCTTGGATCATCCCAATCAAATCACTTTTTTA
<i>Rhynchosetele cordata</i>	GTATATAAAAATTCAACCTTGGATCATCCCAATCAAATCACTTTTTTA
<i>Rhynchosetele ehrenbergii</i>	GTATATAAAAATTCAACCTTGGATCATCCCAATCAAATCACTTTTTTA
<i>Rhynchosetele galeottiana</i>	GTATATAAAAATTCAACCTTGGATCATCCCAATCAAATCACTTTTTTA
<i>Rhynchosetele hortensiae</i>	GTATATAAAAATTCAACCTTGGATCATCCCAATCAAATCACTTTTTTA
<i>Rhynchosetele londesboroughiana</i>	GTATATAAAAATTCAACCTTGGATCATCCCAATCAAATCACTTTTTTA
<i>Rhynchosetele maculata</i>	GTATATAAAAATTCAACCTTGGATCATCCCAATCAAATCACTTTTTTA
<i>Rhynchosetele madrensis</i>	GTATATAAAAATTCAACCTTGGATCATCCCAATCAAATCACTTTTTTA
<i>Rhynchosetele majalis</i>	GTATATAAAAATTCAACCTTGGATCATCCCAATCAAATCACTTTTTTA
<i>Rhynchosetele pygmaea</i>	GTATATAAAAATTCAACCTTGGATCATCCCAATCAAATCACTTTTTTA
<i>Rhynchosetele rossii</i>	GTATATAAAAATTCAACCTTGGATCATCCCAATCAAATCACTTTTTTA
<i>Rhynchosetele stellata</i>	GTATATAAAAATTCAACCTTGGATCATCCCAATCAAATCACTTTTTTA
<i>Rhynchosetele uroskinneri</i>	GTATATAAAAATTCAACCTTGGATCATCCCAATCAAATCACTTTTTTA
<i>Tolumnia pulchella</i>	2335 2340 2345 2350 2355 2360 2365 2370 2375 2380
<i>Erycina echinata</i>	
<i>Erycina pusilla</i>	ATTTTTCTATAAATGAAAAAGTAAAACATTAAGGTAAATACAAAAAA
<i>Rhynchosetele aptera</i>	ATTTTTCTATCAATGAAAAGAGTAAAACATTAACGTAAATACAAAAAA
<i>Rhynchosetele beloglossa</i>	ATTTTTCTATAAATGAAAAAGGAAAACATTAACATAAATCCAAAAAA
<i>Rhynchosetele bictoniensis</i>	ATTTTTATATAAATGAAATAAGTAAAATATTAACGTAAATACAAAAAA
<i>Rhynchosetele candidula</i>	ATTTTTCTATAAATGAAAAAGTAAAACATTAACGTAAATACAAAAAA
<i>Rhynchosetele cervantesii</i>	ATTTTTATATAAATGAAAAAGTAAAACATTAACGTAAATACAAAAAA

<i>Rhynchosete cordata</i>	ATTTTTCTATAAATGAAAAAGTAAAACATTAACGTAAATACAAAAAA
<i>Rhynchosete ehrenbergii</i>	ATTTTTCTATAAATGAAAAAGTAAAACATTAACGTAAATACAAAAAA
<i>Rhynchosete galeottiana</i>	ATTTTTCTATAAATGAAAAAGTAAAACATTAACGTAAATACAAAAAA
<i>Rhynchosete hortensiae</i>	-----
<i>Rhynchosete londesboroughiana</i>	ATTTTTCTATAAATGAAAAAGTAAAACATTAACGTAAATACAAAAAA
<i>Rhynchosete maculata</i>	ATTTTTCTATAAATGAAAAAGTAAAACATTAACGTAAATACAAAAAA
<i>Rhynchosete madrensis</i>	ATTTTTCTATAAATGAAAAAGTAAAACATTAACGTAAATACAAAAAA
<i>Rhynchosete majalis</i>	ATTTTTCTATAAATGAAAAAGTAAAACATTAACGTAAATACAAAAAA
<i>Rhynchosete pygmaea</i>	ATTTTTCTATAAATGAAAAAGTAAAACATTAACGTAAATACAAAAAA
<i>Rhynchosete rossii</i>	ATTTTTCTATAAATGAAAAAGTAAAACATTAACGTAAATACAAAAAA
<i>Rhynchosete stellata</i>	ATTTTTCTATAAATGAAAAAGTAAAACATTAACGTAAATACAAAAAA
<i>Rhynchosete uroskinneri</i>	ATTTTTCTATAAATGAAAAAGTAAAACATTAACGTAAATACAAAAAA
	2384 2389 2394 2399 2404 2409 2414 2419 2424 2429
<i>Tolumnia pulchella</i>	ATCATTAAATAAAAAAAAGATCTTGAATTAAGAAATTCCAAGGTTGAA
<i>Erycina echinata</i>	ATCATTAAATAAAAAAGAAATATCTTGAATTAATCAATTCCAAGGTTGAA
<i>Erycina pusilla</i>	ATCATTAAATAAAAAAAAGATCTTGAATTAATAAAATTCCAAGGTTGAA
<i>Rhynchosete aptera</i>	-----
<i>Rhynchosete beloglossa</i>	ATCATTAAATAAAAAAAACTATCTTGAATTAATAAAATTCCAAGGTTGAA
<i>Rhynchosete biconiensis</i>	ATCATTAAATAAAAAAAAGATCTTGAATTAATAAAATTCCAAGGTTGAA
<i>Rhynchosete candidula</i>	ATCATTAAATAAAAAAAAGATCTTGAATTAATAAAATTCCAAGGTTGAA
<i>Rhynchosete cervantesii</i>	ATCATTAAATAAAAAAAAGATCTTGAATTAATAAAATTCCAAGGTTGAA
<i>Rhynchosete cordata</i>	ATCATTAAATAAAAAAAAGATCTTGAATTAATAAAATTCCCAGGTTGAA
<i>Rhynchosete ehrenbergii</i>	ATCATTAAATAAAAAAAAGATCTTGAATTAATAAAATTCCAAGGTTGAA
<i>Rhynchosete galeottiana</i>	ATCATTAAATAAAAAAAAGATCTTGAATTAATAAAATTCCAAGGTTGAA
<i>Rhynchosete hortensiae</i>	-----
<i>Rhynchosete londesboroughiana</i>	ATCATTAAATAAAAAAAAGATCTTGAATTAATAAAATTCCAAGGTTGAA
<i>Rhynchosete maculata</i>	ATTATTAATAAAAAAAAGATTTGAATTAATAAAATTCCAAGGTTGAA
<i>Rhynchosete madrensis</i>	ATCATTAAATAAAAAAAAGATTTGAATTAATAAAATTCCAAGGTTGAA
<i>Rhynchosete majalis</i>	ATCATTAAATAAAAAAAAGATCTTGAATTAATAAAATTCCAAGGTTGAA
<i>Rhynchosete pygmaea</i>	ATCATTAAATAAAAAAAAGATCTTGAATTAATAAAATTCCAAGGTTGAA
<i>Rhynchosete rossii</i>	ATCATTAAATAAAAAAAAGATCTTGAATTAATAAAATTCCAAGGTTGAA
<i>Rhynchosete stellata</i>	ATCATTAAATAAAAAAAAGATCTTGAATTAATAAAATTACAAGGTTGAA
<i>Rhynchosete uroskinneri</i>	ATCATTAAATAAAAAAAAGATCTTGAATTAATAAAATTCCAAGGTTGAA
	2433 2438 2443 2448 2453 2458 2463 2468 2473 2478

*Tolumnia pulchella*  
*Erycina echinata*  
*Erycina pusilla*  
*Rhynchosete aptera*  
*Rhynchosete beloglossa*  
*Rhynchosete biconiensis*  
*Rhynchosete candidula*  
*Rhynchosete cervantesii*  
*Rhynchosete cordata*  
*Rhynchosete ehrenbergii*  
*Rhynchosete galeottiana*  
*Rhynchosete hortensiae*  
*Rhynchosete londesboroughiana*  
*Rhynchosete maculata*  
*Rhynchosete madrensis*  
*Rhynchosete majalis*  
*Rhynchosete pygmaea*  
*Rhynchosete rossii*  
*Rhynchosete stellata*  
*Rhynchosete uroskinneri*

| | | | | | | | | |  
 GAAGATTACGCAAGATTAGAACTAAAAAAGGGATATAAAACAATATAAGA  
 AAAGATTACGTAAGATTAGAACTAAACAAGGGATAGAAAACAATATAAGA  
 GAATATTACGCAAGATTAGAACTAAACAAAAATAGAAAAGAATATAAGA

---

GAAGATTACGCAAGATTAGAACTAAACAAGGGATAGAAAACAATATAAGA  
 GAAGATTACGCAAGATTAGAACTAAACAAGGGATAGAAAACAATATAAGA  
 GAAGATTACGCAAGATTAGAACTAAACAAGGGATAGAAAACAATATAAGA  
 GAAGATTACGCAAGATTAGAACTAAACAAGGGATAGAAAACAATATAAGA  
 GAAGATTACGCAAGATTAGAACTAAACAAGGGATAGAAAACAATATAAGA  
 GAAGATTACGCAAGATTAGAACTAAACAAGGGATAGAAAACAATATAAGA  
 GAAGATTACGCAAGATTAGAACTAAACAAGGGATAGAAAACAATATAAGA

---

GAAGATTACGCAAGATTAGAACTAAACAAGGGATAGAAAACAATATAAGA  
 GAAGATTACGCAAGATTAGAACTAAACAAGGGATAGAAAACAATATAAGA  
 GAAGATTACGCAAGATTAGAACTAAACAAGGGATAGAAAACAATATAAGA  
 GAAGATTACGCAAGATTAGAACTAAACAAGGGATAGAAAACAATATAAGA  
 GAAGATTACGCAAGATTAGAACTAAACAAGGGATAGAAAACAATATAAGA  
 GAAGATTACGCAAGATTAGAACTAAACAAGGGATAGAAAACAATATAAGA  
 GAAGATTACGCAAGATTAGAACTAAACAAGGGATAGAAAACAATATAAGA

---

2482 2487 2492 2497 2502 2507 2512 2517 2522 2527

| | | | | | | | | |  
 GAAAGAATGAAATGGAATAGATTATTTTGAAAAAATATTTATTT  
 GAGAGAATGAAATGGAACTAGATTCTTTGAAACACTATTTCTTT  
 CAAAGAATGAAATGGAATAGATTCTTTGAAAATTATATTCTTT

---

GAAATAATGAAATGGAATATATTCTTTGAAAAACTATTTCTTT  
 GAAAGAATGAAATGGAATAGATTCTTTGAAAAAATATTTCTTT  
 GAAAGAATGAAATGGAATAGATTCTTTGAAAAAATATTTCTTT  
 GAAAGAATGAAATGGAATAGATTCTTTGAAAAACTATTTCTTT  
 GAAAGAATGAAATGGAATAGATTCTTTGAAAAAATATTTCTTT  
 GAAAGAATGAAATGGAATAGATTCTTTGAAAAAATATTTCTTT  
 GAAAGAATGAAATGGAATAGATTCTTTGAAAAAATATTTCTTT

---

GAAAGAATGAAATGGAATAGATTCTTTGAAAAAATATTTCTTT

*Tolumnia pulchella*  
*Erycina echinata*  
*Erycina pusilla*  
*Rhynchosete aptera*  
*Rhynchosete beloglossa*  
*Rhynchosete biconiensis*  
*Rhynchosete candidula*  
*Rhynchosete cervantesii*  
*Rhynchosete cordata*  
*Rhynchosete ehrenbergii*  
*Rhynchosete galeottiana*  
*Rhynchosete hortensiae*  
*Rhynchosete londesboroughiana*

GAAAGAATGAAATGGAATAGATTCTTTGAAAAAATATTTCTTT

<i>Rhynchosetele</i>	<i>maculata</i>	GAAAGAATGAAATGGAATAGATTCTTTGAAAAAATATTTCTTT
<i>Rhynchosetele</i>	<i>madrensis</i>	GAAAGAATGAAATGGAATAGATTCTTTGAAAAAATATTTCTTT
<i>Rhynchosetele</i>	<i>majalis</i>	GAAAGAATGAAATGGAATAGATTCTTTGAAAAAATATTTCTTT
<i>Rhynchosetele</i>	<i>pygmaea</i>	GAAAGTATGAAATGGAATAGATTCTTTGAAAAACTATTTCTTT
<i>Rhynchosetele</i>	<i>rossii</i>	GAAAGAATGAAATGGAATAGATTCTTTGAAAAAATATTTCTTT
<i>Rhynchosetele</i>	<i>stellata</i>	GAAAGAATGAAATGGAATAGATTCTTTGAAAAGATATTTCTTT
<i>Rhynchosetele</i>	<i>uros Skinneri</i>	GAAAGAATGAAATGGAATAGATTCTTTGAAAAAATATTTCTTT
<i>Tolumnia pulchella</i>		2531 2536 2541 2546 2551 2556 2561 2566 2571 2576
<i>Erycina echinata</i>		
<i>Erycina pusilla</i>		TCAACTACGATGGGCTGATCCCTTGATAATAAACTAATGAAAAATATC
<i>Rhynchosetele aptera</i>		TCAACTAAGATGGGCTTATCCCTTGATAAGAAACTAATGAAAAATATC
<i>Rhynchosetele beloglossa</i>		TCAACTCAGATGGGCTGATCCCTTGATAAGAAACTAATGAAAAATATC
<i>Rhynchosetele bictoniensis</i>		 ----- TCAACTAAGATGGGCTGATCCCTGATAATAAACTAATGAAAAATATA
<i>Rhynchosetele candidula</i>		TCAACTAAGATGGGCTAATCCCTGATTAATAAACTAATGAAAAATATA
<i>Rhynchosetele cervantesii</i>		TCAACTAAGATGGGCTAATCCCTGATTAAGAAACTAATGAAAAATATA
<i>Rhynchosetele cordata</i>		TCAACTAAGATGGGCTAATACCTGATAATAAACTAATGAGAAATATA
<i>Rhynchosetele ehrenbergii</i>		TCAACTAAGATGGGCTAATCCCTGATAATAAACTAATGAAAAATATA
<i>Rhynchosetele galeottiana</i>		TCAACTAAGATGGGCTAATCCCTGATAATAAACTAATGAAAAATATA
<i>Rhynchosetele hortensiae</i>		 ----- TCAACTAAGATGGGCTGATCCCTGATAATAAACTAATGAAAAATATA
<i>Rhynchosetele londesboroughiana</i>		TCAACTAAGATGGGCTAATTCCCTGATAATAAACTAATGAAAAATATA
<i>Rhynchosetele maculata</i>		TCAACTAAGATGGGCTAATCCCTGATAATAAACTAATGAAAAATATA
<i>Rhynchosetele madrensis</i>		TCAACTAAGATGGGCTAATCCCTGATAATAAACTAATGAAAAATATA
<i>Rhynchosetele majalis</i>		TCAACTAAGATGGGATGATTCCCTGATAATAAACTAATGAAAAATATA
<i>Rhynchosetele pygmaea</i>		TCAAATAAGATGGGCTGATTCCCTGATAATAAAATAATGAAAAATATA
<i>Rhynchosetele rossii</i>		TCAACTAAGATGGGCTAATCCCTGATAATAAACTAATGAAAAATATA
<i>Rhynchosetele stellata</i>		TCAACTAAGATGGGCTGATTCCCTGATAAGAAACTAATGAAAAATATA
<i>Rhynchosetele uros Skinneri</i>		TCAACTAAGATGGGCTGATTCCCTGATAATAAACTAATGAAAAATATA
<i>Tolumnia pulchella</i>		2580 2585 2590 2595 2600 2605 2610 2615 2620 2625
<i>Erycina echinata</i>		
<i>Erycina pusilla</i>		AGGATATATTGTCTCCTACTTAGACTTCAAAATCCAAAGGAAATTGCTA
<i>Rhynchosetele aptera</i>		AGGGTCTATTGTCTCCTACTTAGACTTCATACTCAGACTTCTAAATCCAAAGGAAATTGCTA

<i>Rhynchostele beloglossa</i>	AGGGTATATTGTCTCCTACTTAGCTCAAAGGACATTGCTA
<i>Rhynchostele biconiensis</i>	AGGGTATATTGTCTCCTACTTAGCTAAATCCAAAGGAAATTGCTA
<i>Rhynchostele candidula</i>	AGGGTATATTGTCTCCTACTTAGCTAAATCCAAAGGACATTGCTA
<i>Rhynchostele cervantesii</i>	AGGGTATATTGTCTCCTACTTAGCTAAATCCAAAGGACATTGCTA
<i>Rhynchostele cordata</i>	AGGGTATATTGTCTCCTACTTAGCTCAAATCCAAAGGACATTGCTA
<i>Rhynchostele ehrenbergii</i>	AGGGTATATTGTCTCCTACTTAGACTTCTAAATCCAAAGGACATTGCTA
<i>Rhynchostele galeottiana</i>	AGGGTATATTGTCTCCTACTTAGACTTCTAAATCCAAAGGACATTGCTA
<i>Rhynchostele hortensiae</i>	-----
<i>Rhynchostele londesboroughiana</i>	AGGGTATATTGTCTCCTACTTAGACTTCTAAATCCAAAGGAAATTGCTA
<i>Rhynchostele maculata</i>	AGGATATATTGTTCTACTTAGACTTCTAAATCCAAAGGACATTGCTA
<i>Rhynchostele madrensis</i>	AGGATATATTGTCTCCTACTTAGACTTCTAAATCCAAAGGACATTGCTA
<i>Rhynchostele majalis</i>	AGGGTATATTGTCTCCTACTTAGACTTCTAAATCCAAAGGACATTGCTA
<i>Rhynchostele pygmaea</i>	AGGATATATTGTCTCCTACTTAGACTTCTAAATCCAAAGGACATTGCTA
<i>Rhynchostele rossii</i>	AGGGTATATTGTCTCCTACTTAGACTTCTAAATCCAAAGGACATTGCTA
<i>Rhynchostele stellata</i>	AGGATATATTGTCTCCTACTTAGAATTCTAAATCCAAAGGACATTGCTA
<i>Rhynchostele uroskinneri</i>	AGGGTATATTGTCTCCTACTTAGACTTCTAAATCCAAAGGAAATTGCTA
2629 2634 2639 2644 2649 2654 2659 2664 2669 2674	
<i>Tolumnia pulchella</i>	
<i>Erycina echinata</i>	TATCTTCGATTCAAAGAGATGAAATAATCTAGATGAAATGCTGATTCA
<i>Erycina pusilla</i>	TATCTTCGATTCAAAGAGATGAAATCAATCTAGATGAAATGCTGATTCA
<i>Rhynchostele aptera</i>	TATCTTCGATTCAAAGAGATGAAATCAATCTAGATGAAATGCTGATTCA
<i>Rhynchostele beloglossa</i>	TATCTTCGATTCAAAGAGATGAAATAAATCTAGATGAAATGCTGATTCA
<i>Rhynchostele biconiensis</i>	TATCTTCGATTCAAAGAGAAGAAATAAATCTAGATGAAATGCTGATTCA
<i>Rhynchostele candidula</i>	TATCTTCGATTCAAAGAGATGAAATAAATCTAGATGAAATGCTGATTCA
<i>Rhynchostele cervantesii</i>	TATCTTCGATTCAAAGAGATGAAATAAATCTAGATGAAATGCTGATTCA
<i>Rhynchostele cordata</i>	TATCTTCGATTCAAAGAGATGAAATAAATCTAGATGAAATGTTGATTCA
<i>Rhynchostele ehrenbergii</i>	TATCTTCGATTCAAAGAGATGAAATAAATCTAGATGAAATGTTGATTCA
<i>Rhynchostele galeottiana</i>	TATCTTCGATTCAAAGAGATGAAATAAATCTAGATGAAATGCTGATTCA
<i>Rhynchostele hortensiae</i>	-----
<i>Rhynchostele londesboroughiana</i>	TATCTTCGATTCAAAGAGATGAAATCAATCTAGATGAAATGCTGATTCA
<i>Rhynchostele maculata</i>	TATCTTCGATTCAAAGAGATGAAATAAATCTAGATGAAATGTTGATTCA
<i>Rhynchostele madrensis</i>	TATCTTCGATTCAAAGAGATGAAATAAATCTAGATGAAATGTTGATTCA
<i>Rhynchostele majalis</i>	TATCTTCGATTCAAAGAGATGAAATCAATCTAGATGAAATGATGATTCA
<i>Rhynchostele pygmaea</i>	TATCTTCGATTCAAAGAAATTGATCTAGATAAAATGCTGATTCA
<i>Rhynchostele rossii</i>	TATCTTCGATTCAAAGAGATGAAATAAATCTAGATGAAATGTTGATTCA

*Rhynchosetele stellata*  
*Rhynchosetele uroskinneri*  
  
*Tolumnia pulchella*  
*Erycina echinata*  
*Erycina pusilla*  
*Rhynchosetele aptera*  
*Rhynchosetele beloglossa*  
*Rhynchosetele biconiensis*  
*Rhynchosetele candidula*  
*Rhynchosetele cervantesii*  
*Rhynchosetele cordata*  
*Rhynchosetele ehrenbergii*  
*Rhynchosetele galeottiana*  
*Rhynchosetele hortensiae*  
*Rhynchosetele londesboroughiana*  
*Rhynchosetele maculata*  
*Rhynchosetele madrensis*  
*Rhynchosetele majalis*  
*Rhynchosetele pygmaea*  
*Rhynchosetele rossii*  
*Rhynchosetele stellata*  
*Rhynchosetele uroskinneri*  
  
*Tolumnia pulchella*  
*Erycina echinata*  
*Erycina pusilla*  
*Rhynchosetele aptera*  
*Rhynchosetele beloglossa*  
*Rhynchosetele biconiensis*  
*Rhynchosetele candidula*  
*Rhynchosetele cervantesii*  
*Rhynchosetele cordata*

TATCTTCGATTGAAAGAAATGAAATCGATCTAGATAAAATGCTGATTCA  
TATCTTCGATTCAAAGAGAAGAAATAATCTAGATGAAATGCTGATTCA  
  
2678 2683 2688 2693 2698 2703 2708 2713 2718 2723  
| | | | | | | | | | |  
AAAGGACCTAGTTATTGCAGAATTAATAAGAAAGGGATTTTTATTATT  
AAAGGACCTAGTTCTGGAGAATTAATAAGAAAGGGATTTTTATTATT  
AAAGGATCTAGTTCTGGAGAATTAATAAGAAAAGGAATTTTTATTATT  
-----  
AAAGGACCTAGTTCTGCAGAATTAATAAGAAAGGGATTTTTATTATT  
AAAGGACCTAGTTCTGCAGAATTAATAAGAAAGGGATTTTTATTATT  
AAAGGACCTAGTTCTGCAGAATAATAAGAAAGGGATTTTTATTATT  
AAAGGACCTAGTTCTGCAGAATAATAAGAAAGGGATTTTTATTATT  
AAAGGACCTAGTTCTGCAGAATAATAAGAAAGGGATTTTTATTATT  
-----  
AAAGGACCTAGTTCTGCAGAATTAATAAGAAAGGGATTTTTATTATT  
AAAGGACCTAGTTCTGCAGAATAATAAGAAAGGGATTTTTATTATT  
AAAGGACCTAGTTCTGCAGAATAATAAGAAAGGGATTTTTATTATT  
AAAGGACCTAGTTCTGCAGAATTAATAAGAAAGGGATTTTTATTATT  
AAAGGACCTAGTTCTGCAGAATTAATAAGAAAGGGATTTTTATTATT  
-----  
AAAGGACCTAGTTCTGCAGAATTAATAAGAAAGGGATTTTTATTATT  
AAAGGACCTAGTTCTGCAGAATAATAAGAAAGGGATTTTTATTATT  
AAAGGACCTAGTTCTGCAGAATAATAAGAAAGGGATTTTTATTATT  
AAAGGACCTAGTTCTGCAGAATTAATAAGAAAGGGATTTTTATTATT  
AAAGGACCTAGTTCTGCAGAATTAATAAGAAAGGGATTTTTATTATT  
AAGGGACCTAGTTCTGCAGAATTAATAAGAAAGGGATTTTTATTATT  
  
2727 2732 2737 2742 2747 2752 2757 2762 2767 2772  
| | | | | | | | | |  
GAACCAATTATCTATCTATACGAAGGGACGGAAATCTATTCTATATC  
GAACCAATTATCTATTATACGAAGGGGTGTAAATCTATTCTATATC  
GAACCAATTATCTATCTATACAAAAGGACGGAAATCGATTCTATATC  
-----  
GAACCAATTATCTATCTATACGAAGGGACGGAAATATATTCTATATC  
GAACCAATTATCTATCTATACGAAGGGACGGAAATCTATTCTATATC  
GAACCAATTCTCTATCTATACGAAGGGACGGAAATCTATTCTATATC  
GAACCAATTCTCTATCTATACGAAGGGACGGAAATCTATTCTATATC  
GAACCAATTCTCTATCTATACGAAGGGACGGAAATCTATTCTATATC

<i>Rhynchosetele ehrenbergii</i>	GAACCAATTCTCTATCTATACGAAGGGACGGAAAATCTATTCTATATC
<i>Rhynchosetele galeottiana</i>	GAACCAATTCTCTATCTATACGAAGGGACGGAAAATCTATTCTATATC
<i>Rhynchosetele hortensiae</i>	-----
<i>Rhynchosetele londesboroughiana</i>	GAACCAATTCTCTATCTATACGAAGGGACGGAAAATCTATTCTATATC
<i>Rhynchosetele maculata</i>	GAACCAATTCTCTATCTATACGAAGGGACGGAAAATCTATTCTATATC
<i>Rhynchosetele madrensis</i>	GAACCAATTCTCTATCTATACGAAGGGACGGAAAATCTATTCTATATC
<i>Rhynchosetele majalis</i>	GAACCAATTCTCTATCTATACGAAGGGACGGAAAATCTATTCTATATC
<i>Rhynchosetele pygmaea</i>	GAACCAATTATCTATCTATACGAAGGGACGGAAAATCTATTCTATATC
<i>Rhynchosetele rossii</i>	GAACCAATTCTCTATCTATACGAAGGGACGGAAAATCTATTCTATATC
<i>Rhynchosetele stellata</i>	GAACCAATTCTCTATCTATACGAAGGGACGGAAAATCTATTCTATATC
<i>Rhynchosetele uroskinneri</i>	GAACCAATTCTCTATCTATACGAAGGGACGGAAAATCTATTCTATATC
	2776 2781 2786 2791 2796 2801 2806 2811 2816 2821
<i>Tolumnia pulchella</i>	AAACTATGGATATTCATTGGTCGATAATAATAAACAAACAATCA
<i>Erycina echinata</i>	AAACTATGGATATTCATTGGTCATAATAAGAAACACCAAACAAATAA
<i>Erycina pusilla</i>	AAATTATGGATATTCATTGGTCGATAATAATAACACCAAAAAATAA
<i>Rhynchosetele aptera</i>	-----
<i>Rhynchosetele beloglossa</i>	AAACTATGGATATTCATTGGTCGATAATAAGAAACACCAAACAAATAA
<i>Rhynchosetele biconiensis</i>	AAACTATGGATATTCATTGGTCGATAATAAGAAACACCAAACAAATAA
<i>Rhynchosetele candidula</i>	AAACTATGGATATTCATTGGTCGATAATAAGAAACACCAAACAAATAA
<i>Rhynchosetele cervantesii</i>	AAACTATGGATATTCATTGGTCGAGAATAATAACACCAAACAAATAA
<i>Rhynchosetele cordata</i>	AAACTATAGATATTCATTGGTCGATAATAAGAAACACCAAACAAATAA
<i>Rhynchosetele ehrenbergii</i>	AAACTATGGATATTCATTGGTCGATAATAAGAAACACCAAACAAATAA
<i>Rhynchosetele galeottiana</i>	AAACTATGGATATTCATTGGTCGAGAATAAGAAACACCAAACAAATAA
<i>Rhynchosetele hortensiae</i>	-----
<i>Rhynchosetele londesboroughiana</i>	AAACTATGGATATTCATTGGTCGATAATAAGAAACACCAAACAAATAA
<i>Rhynchosetele maculata</i>	AAACTATAGATATTCATTGGTCGATAATAAGAAACACCAAACAAATAA
<i>Rhynchosetele madrensis</i>	AAACTATAGATATTCATTGGTCGATAATAAGAAACACCAAACAAATAA
<i>Rhynchosetele majalis</i>	AAACTATGGATATTCATTGGTCGATAATAAGAAACACCAAACAAATAA
<i>Rhynchosetele pygmaea</i>	AAACTATGGATATTCATTGGTCGATAATAAGAAACACCAAACAAATAA
<i>Rhynchosetele rossii</i>	AAACTATGGATATTCATTGGTCGATAATAAGAAACACCAAACAAATAA
<i>Rhynchosetele stellata</i>	AAACTATGGATATTCATTGGTCGATAATAAGAAACACCAAACAAATAA
<i>Rhynchosetele uroskinneri</i>	AAACTATGGATATTCATTGGTCGATAATAAGAAACACCAAACAAATAA
	2825 2830 2835 2840 2845 2850 2855 2860 2865 2870

<i>Tolumnia pulchella</i>	AAAATACACAAAAAAAGATATATTGAGAAAAGGGGTTGAAAATAC
<i>Erycina echinata</i>	AAAATACACAAAAAAAGATATATTGAGAAAAGGGGTTGAAAATAC
<i>Erycina pusilla</i>	AAAATACACAAAAAA-----
<i>Rhynchosete aptera</i>	-----
<i>Rhynchosete beloglossa</i>	AAAATA -----C
<i>Rhynchosete biconiensis</i>	AAAATACACAAAAAAATATATATTGAGAAAAGGGGTTGAAAATAC
<i>Rhynchosete candidula</i>	AAAATATACAAAAAAAGATATATTGAGAAAAGGGGTTGAAAATAC
<i>Rhynchosete cervantesii</i>	AAAATACACAAAAAAAGATATATTGAGAAAAGGGGATTGAAAAGAC
<i>Rhynchosete cordata</i>	AAAATACACAAAAAAAGATATATTGAGAAAAGGGGTTGAAAATAC
<i>Rhynchosete ehrenbergii</i>	AAAATACACAAAAAAAGATATATTGAGAAAAGGGGTTGAAAATAC
<i>Rhynchosete galeottiana</i>	AAAATACACAAAAAAAGATATATTGAGAAAAGGGGTTGAAAAGAC
<i>Rhynchosete hortensiae</i>	-----
<i>Rhynchosete londesboroughiana</i>	AAAATACACAAAAAAAGATATATTGAGAAAAGGGGTTGAAAATAC
<i>Rhynchosete maculata</i>	AAAATACACAAAAAAAGATATATTGAGAAAAGGGGTTGAAAATAC
<i>Rhynchosete madrensis</i>	AAAATACACAAAAAAAGATATATTGAGAAAAGGGGTTGAAAATAC
<i>Rhynchosete majalis</i>	AAAATACACAAAAAAAGATATATTGAGAAAAGGGGTTGAAAATAC
<i>Rhynchosete pygmaea</i>	AAAATACACAAAAAAAGATATATTGAGAAAAGGGGTTGAAAATAC
<i>Rhynchosete rossii</i>	AAAATACACAAAAAAAGATATATTGAGAAAAGGGGTTGAAAATAC
<i>Rhynchosete stellata</i>	AAAATACACAAAAAAAGATATATTGAGAAAAGGGGTTGAAAATAC
<i>Rhynchosete uroskinneri</i>	AAAATACACAAAAAAATATATTGAGAAAAGGGGTTGAAAATAC

<i>Tolumnia pulchella</i>	2874 2879 2884 2889 2894 2899 2904 2909 2914 2919                     ATTGCACGACACAGCAACATATTTTGAGTGGAGACAATAAAAATTATG
<i>Erycina echinata</i>	ATTACACGACACAGCAACATATTTTGAGTGGAGACAATAAGAATTATG -----GATACAACACAGCTTTGAGTGGAGACAATAAAAATTATG
<i>Erycina pusilla</i>	-----
<i>Rhynchosete aptera</i>	ATTACACGACACAGCAACATATTTTGAGTGGAGACAATAAGAATTATG
<i>Rhynchosete beloglossa</i>	ATTACACGACACAGCAACATATTTTGAGTGGAGACAATAATAATTATG
<i>Rhynchosete biconiensis</i>	ATTACACGACACAGCAACATATTTTGAGTGGAGACAATAATAATTATG
<i>Rhynchosete candidula</i>	ATTACACGACACAGCAACATATTTTGAGTGGAGACAATAATAATTATG
<i>Rhynchosete cervantesii</i>	ATTACACGCCACAGCAACATATTTTGAGTGGAGACAATAATAATTATT
<i>Rhynchosete cordata</i>	ATTAAACGATAACAGAACCTATTTTGAGTGGAGACAATAACTAATTATG
<i>Rhynchosete ehrenbergii</i>	ATTACACGACACAGCAACATATTTTGAGTGGAGACAATAATAATTATG
<i>Rhynchosete galeottiana</i>	ATTACACGCCACAGCAACAGATTTTGAGTGGAGACAATAATAATTATT
<i>Rhynchosete hortensiae</i>	-----
<i>Rhynchosete londesboroughiana</i>	ATTACACGACACAGCAACATATTTTGAGTGGAGACAATAATAATTATG
<i>Rhynchosete maculata</i>	ATTACACGACACAGCAACCTATTTTGAGTGGAGACAATAATAATTGTG

<i>Rhynchostele madrensis</i>	ATTACACAACACAGCAACCTATTTGAGTGGAGACAATAATAATTATG
<i>Rhynchostele majalis</i>	ATTACACGACACAGCAACATATTTGAGTGGAGACAATAATAATTATG
<i>Rhynchostele pygmaea</i>	ATTACACGACACAGCAACATATTTGAGTGGAGACAATAATAATTATG
<i>Rhynchostele rossii</i>	ATTACACGACACAGCAACATATTTGAGTGGAGACAATAATAATTATG
<i>Rhynchostele stellata</i>	ATTACACGACACAGCAACATATTTGAGTGGAGACAATAATAATTATG
<i>Rhynchostele uroskinneri</i>	ATTACACGACACAGCAACATATTTGAGTGGAGACAATAATAATTATG
<i>Tolumnia pulchella</i>	2923 2928 2933 2938 2943 2948 2953 2958 2963 2968
<i>Erycina echinata</i>	
<i>Erycina pusilla</i>	ATTTACTTGTCCTGAAAATATTCTATCTCCCAGACGTTGTAGAGAATT
<i>Rhynchostele aptera</i>	ATTCCTTGCTGAAAATATTCTATCTCCCAGACGTCGTAGAGAATT
<i>Rhynchostele beloglossa</i>	ATTTACTTGCTGAAAATATTCTATCTCCCAGACGTCGTAGAGAATT
<i>Rhynchostele biconiensis</i>	-----
<i>Rhynchostele candidula</i>	ATTTACTTGCTGAAAATATTCTATCTCCCAGACGTCGTAGAGAATT
<i>Rhynchostele cervantesii</i>	ATTTAATTGTTGCTGAAAATATTCTATCTCCCAGACGTCGTAGAGAATT
<i>Rhynchostele cordata</i>	ATTTACTTGCTGAAAATATTCTATCTCCCAGACGTCGTAGAGAATT
<i>Rhynchostele ehrenbergii</i>	ATTTACTTGCTGAAAATATTCTATCTCCCAGACGTCGTAGAGAATT
<i>Rhynchostele galeottiana</i>	ATTTAATTGTTGCTGAAAATATTCTATCTCCCAGACGTCGTAGAGAATT
<i>Rhynchostele hortensiae</i>	-----
<i>Rhynchostele londesboroughiana</i>	ATTTACTTGCTGAAAATCTCTATCTCCCAGACGTCGTAGAGAATT
<i>Rhynchostele maculata</i>	ATTTACTTGCTGAAGATATTCTATCTCCCAGACGTCGTAGAGAATT
<i>Rhynchostele madrensis</i>	ATTTACTTGCTGAAAATATTCTATCTCCCAGACGTCGTAGAGAATT
<i>Rhynchostele majalis</i>	ATTTACTTGCTGAAAATATTCTATCTCCCAGACGTCGTAGAGAATT
<i>Rhynchostele pygmaea</i>	ATTTACTTGCTGAAAATATTCTATCTCCCAGACGTCGTAGAGAATT
<i>Rhynchostele rossii</i>	ATTTACTTGCTGAAAATATTCTATCTCCCAGACGTCGTAGAGAATT
<i>Rhynchostele stellata</i>	ATTTACTTTGCTGAAAATATTCTATCTCCCAGACGTCGTAGAGAATT
<i>Rhynchostele uroskinneri</i>	ATTTACTTGCTGAAAATATTCTATCTCCCAGACGTCGTAGAGAATT
<i>Tolumnia pulchella</i>	2972 2977 2982 2987 2992 2997 3002 3007 3012 3017
<i>Erycina echinata</i>	
<i>Erycina pusilla</i>	TCGAATTCCAATTGTTCAATTCCAAAATTAAATGTTGTGGATAGA
<i>Rhynchostele aptera</i>	TCGAATTCCAATTGTTAAATTCCAAAATTAAATGTTGTGGATAGA
<i>Rhynchostele beloglossa</i>	TAGAATTCCAATTGTTAAATTGCCAAAATTAAATGTTGTGGATAGA
-----	
	TCGAATCCAATTGTTCAATTCCAAAATTAAATGTTGTGGATAGA

<i>Rhynchostele bictoniensis</i>	TAGAATCCGAATTGTTCAATTCCGAAAATTAAATGTTGTGGATAGA
<i>Rhynchostele candidula</i>	TCGAATCCGAATTGTTCAATTCCCAAATTAAATGTTGTGGATAGA
<i>Rhynchostele cervantesii</i>	TCGAATCCGAATTGTTCAATTCCCAAATTAAATGTTGTGGATAGA
<i>Rhynchostele cordata</i>	TCGAATCCGAATTGTTCAATTCCCAAATTAAATGTTGTGGATAGA
<i>Rhynchostele ehrenbergii</i>	TCGAATCCGAATTGTTCAATTCCCAAATTAAATGTTGTGGATAGA
<i>Rhynchostele galeottiana</i>	TCGAATCCGAATTGTTCAATTCCCAAATTAAATGTTGTGGATAGA
<i>Rhynchostele hortensiae</i>	-----
<i>Rhynchostele londesboroughiana</i>	TCGAATCCGAATTGTTCAATTCCAAAATTAAATGTTGTGGATAGA
<i>Rhynchostele maculata</i>	TCGAATCCGAATTGTTCAATTCCAAAATTAAATGTTGTGGATAGA
<i>Rhynchostele madrensis</i>	TCGAATCCGAATTGTTCAATTCCAAAATTCTTAATGTTGTGGATAGA
<i>Rhynchostele majalis</i>	TCGAATCCGAATTGTTCAATTCCAAAATTAAATGTTGTGGATATA
<i>Rhynchostele pygmaea</i>	TCGAATCCGAATTGTTCAATTCCAAAATTAAATGTTGTGGATAGA
<i>Rhynchostele rossii</i>	TCGAATCCGAATTGTTCAATTCCAAAATTAAATGTTGTGGATAGA
<i>Rhynchostele stellata</i>	TCGAATCCGAATTGTTCAATTCCAAAATTAAATGTTGTGGATAGA
<i>Rhynchostele uroskinneri</i>	TAGAATCCGAATTGTTCAATTCCGAAAATTAAATGTTGTGGATAGA
<i>Tolumnia pulchella</i>	3021 3026 3031 3036 3041 3046 3051 3056 3061 3066
<i>Erycina echinata</i>	
<i>Erycina pusilla</i>	AATCCAAGATTTGCAATGAAGACAAAATAAGAAAATATGAGAAATT
<i>Rhynchostele aptera</i>	AATCCAAGATTTGCAATGAAGACAAAATAAAAAAATATGAGAAATT
<i>Rhynchostele beloglossa</i>	AATCCAAGATTTGCAATGAAGACAAAATAAAAAAATATGAGAAATT
<i>Rhynchostele bictoniensis</i>	-----
<i>Rhynchostele candidula</i>	AAGCCAAGATTTGCAATGAAGACAAAATAAAAAAATATGATAAATT
<i>Rhynchostele cervantesii</i>	AATCCAAGATTTGCAATGAAGACAAAATAAAAAAATATGAGAAATT
<i>Rhynchostele cordata</i>	AATCCAAGATTTGCAATGAAGACAAAATAAAAAAATATGAGAAATT
<i>Rhynchostele ehrenbergii</i>	AATCCAAGATTTGCAATGAAGACAAAATAAAAAAATATGAGAAATT
<i>Rhynchostele galeottiana</i>	AATCCCAGATTTGCAATGAAGACAAAATAAAAAAATATGAGAAATT
<i>Rhynchostele hortensiae</i>	AATCCAAGATTTGCAATGAAGACAAAATAAAAAAATATGAGAAATT
<i>Rhynchostele londesboroughiana</i>	AATCCAAGATTTGCAATGAAGACAAAATAAAAAAATATGAGAAATT
<i>Rhynchostele maculata</i>	AATCCAAGATTTGCAATGAAGACAAAATAAAAAAATATGAGAAATT
<i>Rhynchostele madrensis</i>	AATCCAAGATTTGCAATGAAGACAAAATAAAAAAATATGAGAAATT
<i>Rhynchostele majalis</i>	AATCCAAGATTTGCAATGAAGACAAAATAAAAAAATATGAGAAATT
<i>Rhynchostele pygmaea</i>	AATCCCAGATTTGCAATGAAGACAAAATAAAAAAATATGAGAAATT
<i>Rhynchostele rossii</i>	AATCCAAGATTTGCAATGAAGACAAAATAAAAAAATATGAGAAATT
<i>Rhynchostele stellata</i>	AATCCAAGATTTGCAATGAAGACAAAATAAAAAAATATGAGAAATT

<i>Rhynchostele uroskinneri</i>	AATCCAAGATTTGCAATGAAGACAAAATAAAAAATATGAGAAATT
	3070 3075 3080 3085 3090 3095 3100 3105 3110 3115
<i>Tolumnia pulchella</i>	TCAATGAACACAAACATCTTAATAAGATAGAAAAGATTTATTAAATT
<i>Erycina echinata</i>	TCAATGAGCACAAACATATTAATAAGATAGAAAAGAGTTGATTAAATT
<i>Erycina pusilla</i>	TCAATGAGCACAAACATATTAATAAGATAGAAAAGATTTATTAAATT
<i>Rhynchostele aptera</i>	-----
<i>Rhynchostele beloglossa</i>	TCAATGAGCACAAACATATTAATAAGATAGAAAAGATTTATTAAATT
<i>Rhynchostele bicionensis</i>	TCAATGAGCACAAACATATTAATAAGATAGAAAAGATTTATTAAATT
<i>Rhynchostele candidula</i>	TCAATGAGCACAAACATATTAATAAGATAGAAAAGATTTATTAAATT
<i>Rhynchostele cervantesii</i>	TCAATGAGCACAAACATATTAATAAGATAGAAAAGATTTATTAAATT
<i>Rhynchostele cordata</i>	TCAATGAGCACAAACATATTAATAAGATAGAAAAGATTTATTAAATT
<i>Rhynchostele ehrenbergii</i>	TCAATGAGCACAAACATATTAATAAGATAGAAAAGATTTATTAAATT
<i>Rhynchostele galeottiana</i>	TCAATGAGCACAAACATATTAATAAGATAGAAAAGATTTATTAAATT
<i>Rhynchostele hortensiae</i>	-----
<i>Rhynchostele londesboroughiana</i>	TCAATGAGCACAAACATATTAATAAGATAGAAAAGATTTATTAAATT
<i>Rhynchostele maculata</i>	TCAATGAGCACAAACATATTAATAAGATAGAAAAGATTTATTAAATT
<i>Rhynchostele madrensis</i>	TCAATGAGCACAAACATATTAATAAGATAAAAAGATTTATTAAATT
<i>Rhynchostele majalis</i>	TCAATGAGCACAAACATATTAATAATGATAGAAAAGATTTATTAAATT
<i>Rhynchostele pygmaea</i>	TCAATGAGCACAAAC
	3119 3124 3129 3134
<i>Tolumnia pulchella</i>	CAAATTGTTCTTGCCCC?
<i>Erycina echinata</i>	CAAATTGTTCTTGCCCC?
<i>Erycina pusilla</i>	CAAATTGTTCTTGCCCT?
<i>Rhynchostele aptera</i>	-----
<i>Rhynchostele beloglossa</i>	CAAATTGTTCTTGCCCC?
<i>Rhynchostele bicionensis</i>	AAAATTGTTCTTGCCCC?
<i>Rhynchostele candidula</i>	AAAATTGTTCTTGCCCA?
<i>Rhynchostele cervantesii</i>	CAAATTGTTCTTGCCCT?
<i>Rhynchostele cordata</i>	CAAATTGTTCTTGCCCC?
<i>Rhynchostele ehrenbergii</i>	CAAATTGTTCTTGCCCC?
<i>Rhynchostele galeottiana</i>	CAAATTGTTCTTGCCCC?
<i>Rhynchostele hortensiae</i>	-----
<i>Rhynchostele londesboroughiana</i>	CAAATTGTTCTTGCCCC?

<i>Rhynchostele</i>	<i>maculata</i>	CAAATTGTTCTTGCCCC?
<i>Rhynchostele</i>	<i>madrensis</i>	CAAATTGTTCTTGCCCC?
<i>Rhynchostele</i>	<i>majalis</i>	CAAATTGTTCTTGCCCC?
<i>Rhynchostele</i>	<i>pygmaea</i>	CAAATTGTTCTTGCCCC?
<i>Rhynchostele</i>	<i>rossii</i>	CAAATTGTTCTTGCCCC?
<i>Rhynchostele</i>	<i>stellata</i>	CAAATTGTTCTTGCCCC?
<i>Rhynchostele</i>	<i>uros Skinneri</i>	AAAATTGTTCTTGCCCC?



Casa abierta al tiempo

UNIVERSIDAD AUTÓNOMA METROPOLITANA

## ACTA DE EXAMEN DE GRADO

No. 00230

Matricula: 2173801433

ESCENARIO EVOLUTIVO DE LA MORFOLOGÍA DEL POLINARIO EN EL GÉNERO *RHYNCHOSTELE* (ORCHIDACEAE) A PARTIR DE CARACTERES MORFOLÓGICOS Y MOLECULARES.

En la Ciudad de México, se presentaron a las 11:45 horas del día 13 del mes de septiembre del año 2024 en la Unidad Iztapalapa de la Universidad Autónoma Metropolitana, los suscritos miembros del jurado:

DRA. CLAUDIA BARBOSA MARTINEZ  
DRA. ESTELA SANDOVAL ZAPOTITLA  
DR. EDUARDO ALBERTO PEREZ GARCIA  
M. EN B. ANA TERESA JARAMILLO PEREZ



ASTRID ITZEL MENA PERDOMO  
ALUMNA

REVISÓ

MTRA. ROSALIA SERRANO DE LA PAZ  
DIRECTORA DE SISTEMAS ESCOLARES

Bajo la Presidencia de la primera y con carácter de Secretaria la última, se reunieron para proceder al Examen de Grado cuya denominación aparece al margen, para la obtención del grado de:

MAESTRA EN BIOLOGÍA

DE: ASTRID ITZEL MENA PERDOMO

y de acuerdo con el artículo 78 fracción III del Reglamento de Estudios Superiores de la Universidad Autónoma Metropolitana, los miembros del jurado resolvieron:

*Aprobar*

Acto continuo, la presidenta del jurado comunicó a la interesada el resultado de la evaluación y, en caso aprobatorio, le fue tomada la protesta.

DIRECTOR DE LA DIVISIÓN DE CBS  
*Luis*  
DR. JOSE LUIS GOMEZ OLIVARES

PRESIDENTA

*Claudia Barbosa Itz*  
DRA. CLAUDIA BARBOSA MARTINEZ

VOCAL  
*Estela Sandoval Zapotitla*  
DRA. ESTELA SANDOVAL ZAPOTITLA

VOCAL  
*Eduardo A Perez G.*  
DR. EDUARDO ALBERTO PEREZ GARCIA

SECRETARIA  
*Ana Teresa Jaramillo Perez*  
M. EN B. ANA TERESA JARAMILLO PEREZ